

SKRIPSI

STUDI PERENCANAAN BANGUNAN PELINDUNG PANTAI UNTUK

PENANGANAN ABRASI PANTAI PA'LALAKKANG

KEC. GALESONG UTARA KAB. TAKALAR



Diajukan Untuk Memenuhi Salah Satu Syarat Guna Memperoleh
Gelar Sarjana Teknik Pengairan Fakultas Teknik
Universitas Muhammadiyah Makassar

Disusun dan Diajukan Oleh:

MUSLIM

105 81 11012 17

ZULFIKAR

105 81 11092 17

PROGRAM STUDI TEKNIK PENGAIRAN

FAKULTAS TEKNIK

UNIVERSITAS MUHAMMADIYAH MAKASSAR

2022



بِسْمِ اللَّهِ الرَّحْمَنِ الرَّحِيمِ

PENGESAHAN

Skripsi atas nama Muslim dengan nomor induk Mahasiswa 105 81 11012 17 dan Zulfikar dengan nomor induk mahasiswa 105 81 11092 17, dinyatakan diterima dan disahkan oleh Panitia Ujian Tugas Akhir/Skripsi sesuai dengan Surat Keputusan Dekan Fakultas Teknik Universitas Muhammadiyah Makassar Nomor : 694/05/A.4-II/VIII/44/2022, sebagai salah satu syarat guna memperoleh gelar Sarjana Teknik pada Program Studi Teknik Pengairan Jurusan Teknik Sipil Fakultas Teknik Universitas Muhammadiyah Makassar pada hari Selasa tanggal 30 Agustus 2022.

Panitia Ujian:

Makassar, 03 Safar 1444 H
30 Agustus 2022 M

1. Pengawas Umum:

a. Rektor Universitas Muhammadiyah Makassar

Prof. Dr. H. Ambo Asse, M.Ag

b. Dekan Fakultas Teknik Universitas Hasanuddin

Prof. Dr. Eng. Ir. Muhammad Israh Ramli, ST., MT

2. Penguji:

a. Ketua : Ir. Mufi. Syafa'at S. Kuba, ST., MT

b. Sekretaris : Dr. Fitriyah Arief Warigsa, ST., MT

3. Anggota: 1. Dr. Ir. Muh. Yunus Ali, ST., MT., IPM

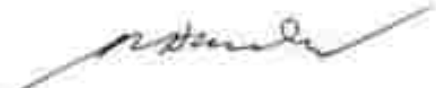
2. Amrullah Mansida, ST., MT., IPM

3. Kasmawati, ST., MT

Mengetahui:

Pembimbing

Pembimbing II


Dr. Ir. H. Riswal K, ST., MT., IPM


Dr. Ir. Andi Makbul Syamsuri, ST., MT., IPM



Dekan Fakultas Teknik


Dr. Hj. Nurnawaty, ST., MT., IPM

NBM. 796 108



UNIVERSITAS MUHAMMADIYAH MAKASSAR

FAKULTAS TEKNIK

GEDUNG MENARA IQRA LT. 3

Jl. Sultan Alauddin No. 259 Telp. (0411) 866 972 Fax (0411) 865 588 Makassar 90221

Website : www.unismuh.ac.id, e-mail : unismuh@gmail.com

Website : <http://teknik.unismuh.makassar.ac.id>

بِسْمِ اللَّهِ الرَّحْمَنِ الرَّحِيمِ

HALAMAN PERSETUJUAN

Tugas akhir ini di ajukan untuk memenuhi syarat ujian guna memperoleh gelar Sarjana Teknik (ST) Program Studi Teknik Pengairan Jurusan Teknik Sipil Fakultas Teknik Universitas Muhammadiyah Makassar.

Judul Skripsi : **STUDI PERENCANAAN BANGUNAN PELINDUNG PANTAI UNTUK PENANGANAN ABRASI PANTAI PA'LALAKKANG KEC. GALESONG UTARA KAB. TAKALAR**

Nama : MUSLIM

ZULFIKAR

No. Stambuk : 105 81 11012 17

105 81 11092 17

Makassar, 31 Agustus 2022

Telah Diperiksa dan Disetujui

Orang-orang Bertanggung

Pembimbing I

Pembimbing II

Dr. Ir. H. Riswal K, ST., MT.,IPM

Dr. Ir. Andi Makbul Syamsuri, ST.,MT.,IPM

Mengetahui,

Ketua Program Studi Teknik Pengairan

Dr. Ir. M. Agusalim, S.T., M.T

NBM : 947 993

STUDI PERENCANAAN BANGUNAN PELINDUNG PANTAI UNTUK PENANGANAN ABRASI PANTAI PA'LALAKKANG KEC. GALESONG UTARA KAB. TAKALAR

Muslim¹ | Zulfikar² | Riswal, K³ | Andi Makbul Syamsuri⁴

^{1,2,3,4} Teknik Pengairan, Fakultas Teknik, Universitas Muhammadiyah Makassar, Indonesia
Email : zulfikar152@u.umh.ac.id

Abstrak

Indonesia sebagai Negara kepulauan yang memiliki pantai terpanjang di dunia yang membutuhkan banyak pemecah gelombang (termasuk dan sea wall) bukan saja melindungi pantai dari hempasan gelombang yang mengancam berbagai kawasan di sekitarnya tetapi juga dapat terjadinya erosi di daerah pantai. Banyak kasus pembangunan di pantai yang tidak hanya mengakibatkan masalah, tetapi bahkan justru menimbulkan masalah lain di sekitarnya. Tidak sedikit ditemukan struktur pemukiman pantai seperti tembok laut (seawall) dan revetment yang baru dibangun tetapi sudah mengalami kerusakan keruntuhan akibat erosi pada kaki bangunan dan erosi dasar bangunan oleh adanya limpasan gelombang ke daratan. Pantai Pa'lalakkang merupakan salah satu daerah pantai yang berada di kabupaten Takalar, wilayah pantai Pa'lalakkang dimanfaatkan untuk aktivitas manusia sebagai lokasi pemukiman dan daerah nelayan. Permasalahan yang terjadi pada pantai Pa'lalakkang yaitu berupa mundurnya garis pantai akibat terjadinya gelombang, terjadinya proses transport sedimen, perubahan iklim global dan juga terjadinya suatu kejadian ekstrem misalnya angin kencang yang dapat menimbulkan kerusakan sepanjang garis pantai, kerusakan akibat kegiatan manusia seperti pembangunan pemukiman pantai, pembangunan bangunan yang menjorok ke arah laut dan pemukiman permukiman lahan yang dapat mengakibatkan rusaknya pemukiman penduduk yang berada di sepanjang pantai Pa'lalakkang. Untuk melindungi pantai dari kerusakan akibat abrasi diperlukan adanya penelitian yang berkaitan dengan bangunan pelindung pantai. Penelitian ini bertujuan mendesain dimensi bangunan pelindung pantai Sea wall dan menganalisis tipe bangunan pelindung pantai Sea wall untuk penanganan abrasi pantai Pa'lalakkang.

Kata Kunci : Abrasi, Pantai, Pa'lalakkang, Pantai, Seawall

Abstract

Indonesia as an archipelagic country which has the longest beach in the world which requires many breakwaters (including groynes and sea walls) not only protects the coast from the waves that threaten various surrounding areas but also prevents scouring in the coastal area. Many cases of development on the coast that are not environmentally friendly not only solve the problem, but even create other problems in the vicinity. Not a few found coastal protection structures such as seawalls and revetments which have been newly built but have been damaged/collapsed due to scouring at the foot of the building or erosion of the base of the building by runoff to the mainland. Pa'lalakkang Beach is one of the coastal areas in Takalar district, the Pa'lalakkang beach area is used for human activities as a residential area and fishing area. The problems that occur on the Pa'lalakkang beach are in the form of the retreat of the coastline due to the brunt of the waves, the occurrence of sediment transport processes, global climate change and also the force of extreme events such as strong winds that can cause damage along the coastline, damage due to human activities such as building in coastal waters, the construction of buildings that protrude towards the sea and land subsidence which can cause damage to residential areas along the Pa'lalakkang coast. To protect the coast from damage caused by abrasion, research related to coastal protection buildings is needed. This study aims to design the dimensions of the Sea wall coastal protection building and analyze the type of sea wall protective building for handling Pa'lalakkang coastal abrasion.

Keywords : Abrasion, Beach, Pa'lalakkang, Wave, Sea wall

KATA PENGANTAR

بِسْمِ اللَّهِ الرَّحْمَنِ الرَّحِيمِ

Syukur Alhamdulillah penulis panjatkan kehadirat Allah SWT, karena rahmat dan hidayah-Nyalah sehingga dapat menyusun tugas akhir ini, dan dapat kami selesaikan dengan baik.

Tugas akhir ini disusun sebagai salah satu persyaratan akademik yang harus ditempuh dalam rangka menyelesaikan program studi pada Jurusan Sipil Pengukuran Fakultas Teknik Universitas Muhammadiyah Makassar. Adapun judul tugas akhir kami adalah **"Studi Perencanaan Bangunan Pelindung Pantai Untuk Penanganan Abrasi Pantai Pa'bilakkang Kec. Galesong Utara Kab. Takalar"**. Penulis menyadari sepenuhnya bahwa didalam penulisan tugas akhir ini masih terdapat kekurangan-kekurangan, hal ini disebabkan karena penulis sebagai manusia biasa tidak lepas dari kesalahan dan kekurangan baik itu ditinjau dari segi teknis penulisan maupun dari perhitungannya-perhitungannya. Oleh karena itu, penulis menerima dengan sangat ikhlas dengan senang hati segala koreksi serta perbaikan guna penyempurnaan tulisan ini agar kelak dapat bermanfaat.

Tugas akhir ini dapat terwujud berkat adanya bantuan, arahan dan bimbingan dari berbagai pihak. Oleh karena itu, dengan segala ketulusan dan kerendahan hati, kami mengucapkan terimakasih dan penghargaan yang setinggi-tingginya kepada:

1. Prof. Dr. H. Ambo Asse, M.Ag. sebagai Rektor Universitas Muhammadiyah Makassar.

2. Ibu Dr. Ir. Hj. Nurnawaty, ST., MT., IPM. sebagai Dekan Fakultas Teknik Universitas Muhammadiyah Makassar.
3. Bapak Ir. M. Agusalin S.T., M.T. sebagai Ketua Prodi Teknik Pengairan, Bapak Muh Amir Zainuddin S.T., M.T., IPM sebagai sekretaris prodi Teknik pengairan Fakultas Teknik Universitas Muhammadiyah Makassar.
4. Bapak Dr. Ir. H. Riwaj Kemana, ST., MT., IPM selaku Pembimbing I dan Bapak Dr. Ir. Andi Mubdal Syamsuri S.T., M.T., IPM. selaku Pembimbing II, yang banyak meluangkan waktu dalam membimbing kami.
5. Bapak dan Ibu dosen serta para staf pegawai di Fakultas Teknik atas segala waktunya telah mendidik dan melayani penulis selama mengikuti proses belajar mengajar di Universitas Muhammadiyah Makassar.
6. Ayah dan Ibuanda yang tercinta, penulis mengucapkan terimakasih yang sebesar-besarnya atas segala limpahan kasih sayang, do'a serta pengorbanannya terutama dalam bentuk materi untuk menyelesaikan kuliah kami dan rekan-rekan mahasiswa Fakultas Teknik.

Semoga semua pihak tersebut di atas mendapat pahala yang berlipat ganda di sisi Allah SWT dan tugas akhir yang sederhana ini dapat bermanfaat bagi penulis, rekan – rekan, masyarakat serta bangsa dan Negara. Amin. "Bilahi Fii Sabill Haq Fastabiqul Khaerat".

Makassar, Juli 2022

Penulis

DAFTAR ISI

| | |
|-------------------------------------|----------|
| SAMPUL..... | I |
| HALAMAN PERSETUJUAN..... | II |
| ABSTRAK..... | IV |
| KATA PENGANTAR..... | V |
| DAFTAR ISI..... | VII |
| DAFTAR GAMBAR..... | XI |
| DAFTAR PERSAMAAN..... | XIII |
| DAFTAR TABEL..... | XVI |
| BAB I PENDAHULUAN..... | 1 |
| A. Latar belakang..... | 1 |
| B. Rumusan masalah..... | 2 |
| C. Tujuan penelitian..... | 3 |
| D. Manfaat penelitian..... | 3 |
| E. Batasan masalah..... | 3 |
| E. Sistematika penulisan..... | 4 |
| BAB II TINJAUAN PUSTAKA..... | 6 |
| A. Definisi Pantal..... | 6 |
| B. Data Angin..... | 7 |
| C. <i>Fetch</i> | 10 |
| D. Gelombang..... | 11 |

| | | |
|-----|--|----|
| 1). | Gelombang Signifikan..... | 12 |
| 2). | Pemilihan Tinggi Gelombang..... | 13 |
| 3). | Kala Ulang Gelombang Rencana..... | 14 |
| 4). | Peramalan Gelombang..... | 17 |
| 5). | <i>Refraksi</i> Gelombang..... | 18 |
| 6). | Gelombang Rencana..... | 19 |
| 7). | Gelombang Pecah..... | 19 |
| E. | <i>Run up</i> Gelombang..... | 23 |
| F. | <i>Fluktuasi</i> Muka Air Laut..... | 25 |
| a. | Pasang Surut..... | 25 |
| 1. | Metode <i>Abdrals</i> | 26 |
| 2. | Penentuan Jenis Pasang Surut..... | 29 |
| 3. | Elevasi Muka Air Laut Rencana..... | 30 |
| b. | Kenaikan Muka Air Karena Gelombang (<i>Wave Set-Up</i>)..... | 32 |
| c. | Kenaikan Muka Air Karena Angin (<i>Wind Set-Up</i>)..... | 33 |
| d. | Pemanasan Global..... | 34 |
| G. | Elevasi Muka Air Laut Rencana..... | 35 |
| H. | Bangunan Pantai Sisi Miring..... | 36 |
| 1. | Bahan Lapis Pengaman Pantai..... | 36 |
| 2. | Stabilitas Batu Lapis Lindung..... | 37 |
| 3. | Tebal dan Jumlah Batu Lapis Pengaman..... | 39 |
| 4. | Tinggi Bangunan <i>Sea wall</i> | 39 |
| 5. | Lebar Puncak Bangunan Pengaman..... | 40 |

| | | |
|---|--|-----------|
| I. | Kontrol Stabilitas Pengaman Kaki (Toe Protection)..... | 40 |
| J. | Bangunan Pelindung Pantai..... | 42 |
| K. | Penelitian Terdahulu..... | 48 |
| L. | Kerangka Pikir..... | 50 |
| BAB III METODE PENELITIAN..... | | 52 |
| A. | Waktu dan Tempat Pengambilan data..... | 52 |
| B. | Jenis Penelitian Dan Sumber Data..... | 52 |
| C. | Variabel Penelitian..... | 53 |
| D. | Alat Yang Digunakan..... | 54 |
| E. | Metode Pengumpulan Data..... | 54 |
| F. | Teknik Analisa Data..... | 56 |
| G. | Bagan Alur Penelitian..... | 57 |
| BAB IV PEMBAHASAN DAN HASIL..... | | 58 |
| A. | Data Angin..... | 58 |
| B. | <i>Fetch</i> | 59 |
| C. | Pembangkitan Gelombang Oleh Angin..... | 64 |
| D. | Analisis Gelombang..... | 68 |
| 1. | Analisa Gelombang Signifikan..... | 68 |
| 4.4.1. | Peramalan dan Penentuan Tinggi Gelombang Maksimum..... | 72 |
| 4.4.2. | Perhitungan Cepat Rambat Gelombang di Laut Dalam..... | 76 |
| 4.4.3. | <i>Bathimetri</i> | 77 |
| 4.4.4. | Perhitungan Tinggi Gelombang Rencana..... | 81 |
| 4.4.5. | Gelombang Pecah..... | 84 |

| | | |
|-----------------------------|---|------------|
| E. | <i>Fluktuasi Muka Air Laut</i> | 88 |
| 1. | Pasang Surut..... | 88 |
| 2. | Kenaikan Muka Air Akibat Gelombang (<i>Wave Set Up</i>)..... | 99 |
| 3. | Kenaikan Muka Air Akibat Angin (<i>Wind Set Up</i>)..... | 99 |
| 4. | Pemerasan Global..... | 100 |
| F. | Penentuan Tipe Bangunan Perintang Pantai..... | 100 |
| G. | Perhitungan Dimensi Bangunan <i>Sea wall</i> | 102 |
| 1. | Elevasi Muka Air Rencana (DWL)..... | 102 |
| 2. | Penentuan <i>R_{0.10}</i> gelombang..... | 103 |
| 3. | Perhitungan Tinggi Bangunan <i>Sea wall</i> | 104 |
| 4. | Perhitungan Berat Batu Lapis Lindung..... | 104 |
| 5. | Perhitungan Lebar Puncak Bangunan..... | 105 |
| 6. | Perhitungan Tebal Lapisan Dinding Pengaman..... | 105 |
| 7. | Perhitungan Jumlah Lapis Dinding Pengaman..... | 106 |
| 8. | Perhitungan Pengaman Kaki Bangunan (<i>Toe Protection</i>)..... | 106 |
| BAB V | PENUTUP | 111 |
| A. | Kesimpulan..... | 111 |
| B. | Saran..... | 111 |
| DAFTAR PUSTAKA | | 112 |
| LAMPIRAN | | |

DAFTAR GAMBAR

| | |
|--|----|
| Gambar 1. Definisi dan Batasan Pantai | 7 |
| Gambar 2. Distribusi Vertical Kecepatan Angin | 8 |
| Gambar 3. Grafik Hubungan Kecepatan Angin di Laut dan Darat | 9 |
| Gambar 4. <i>Fetch</i> | 11 |
| Gambar 5. Grafik peramalan gelombang signifikan (SPM, 1984) | 12 |
| Gambar 6. Grafik Penentuan Tinggi Gelombang Pecah (H_b) | 21 |
| Gambar 7. Penentuan Kedalaman Gelombang Pecah (d_b) | 22 |
| Gambar 8. Proses Gelombang Pecah | 23 |
| Gambar 9. Run up gelombang | 23 |
| Gambar 10. Tinggi relatif <i>run-up</i> untuk berbagai jenis lapis lindung | 24 |
| Gambar 11. Praktisan kerangka muka air laut akibat pemanasan global | 35 |
| Gambar 12. Elevasi muka air laut rencana | 35 |
| Gambar 13. Pelindung kaki bangunan | 41 |
| Gambar 14. Grafik angka stabilitas untuk fondasi dan pelindung kaki | 42 |
| Gambar 15. Klasifikasi bangunan pelindung pantai | 43 |
| Gambar 16. Contoh bangunan <i>revetment</i> pada pantai | 44 |
| Gambar 17. Contoh tembok laut (<i>curved seawall</i>) pada pantai | 45 |
| Gambar 18. Contoh tanggul laut (<i>sea dike</i>) pada pantai | 45 |
| Gambar 19. Contoh <i>Bulkheads</i> pada pantai | 46 |
| Gambar 20. Contoh <i>Groin</i> pada pantai | 47 |
| Gambar 21. Contoh <i>Jetty</i> pada pantai | 47 |
| Gambar 22. Contoh <i>breakwater</i> pada pantai | 48 |

| | |
|--|-----|
| Gambar 23. Bagan Kerangka Pikir..... | 50 |
| Gambar 24 Lokasi pada Penelitian..... | 52 |
| Gambar 25. Bagan Penelitian..... | 57 |
| Gambar 26. Mawar angin dari tahun 2012 – 2021..... | 59 |
| Gambar 27. Angin yang berpotensi menimbulkan gelombang..... | 60 |
| Gambar 28. Panjang <i>feteh</i> dari arah barat Daya, Barat dan Barat Laut..... | 61 |
| Gambar 29. Grafik hubungan antara kecepatan angin di laut dan di darat..... | 66 |
| Gambar 30. Grafik hubungan antara tinggi gelombang Dengan Periode Gelombang..... | 70 |
| Gambar 31. Mawar gelombang di perairan Pa'Isakkang dari tahun 2012 - 2021..... | 72 |
| Gambar 32. Peta bathimetri..... | 78 |
| Gambar 33. Profil melintang bathimetri daerah pantai Pa'Isakkang..... | 79 |
| Gambar 34. Penentuan sudut datangnya gelombang di pantai Pa'Isakkang..... | 82 |
| Gambar 35. Grafik Penentuan Tinggi Gelombang Pecah (Hb)..... | 85 |
| Gambar 36. Grafik Penentuan kedalaman Gelombang Pecah (Hb)..... | 87 |
| Gambar 37. Grafik elevasi muka air di lokasi penelitian..... | 98 |
| Gambar 38. Prakiraan kenaikan muka air laut akibat pemanasan global..... | 100 |
| Gambar 39. Grafik <i>Run-up</i> Gelombang..... | 103 |
| Gambar 40. Grafik <i>Run-up</i> Gelombang..... | 108 |
| Gambar 41. Bangunan Pelindung Pantai..... | 110 |

DAFTAR PERSAMAAN

| | |
|---|----|
| Persamaan 1. Koreksi Tegangan Angin | 8 |
| Persamaan 2. Koreksi Tegangan Angin di laut dan di Darat | 8 |
| Persamaan 3. Faktor Tegangan Angin | 9 |
| Persamaan 4. Koreksi Durasi Angin | 9 |
| Persamaan 5. Koreksi Durasi Angin | 10 |
| Persamaan 6. Koreksi Durasi Angin | 10 |
| Persamaan 7. Rerata Koreksi Durasi Angin | 10 |
| Persamaan 8. <i>F</i> -test Rerata | 11 |
| Persamaan 9. Tinggi Gelombang Signifikan | 13 |
| Persamaan 10. Periode Gelombang Signifikan | 13 |
| Persamaan 11. Peramalan Gelombang Metode <i>Fisher-Tippett type 1</i> | 14 |
| Persamaan 12. Peramalan Gelombang Metode <i>Fisher-Tippett type 1</i> | 15 |
| Persamaan 13. Peramalan Gelombang Metode <i>Fisher-Tippett type 1</i> | 15 |
| Persamaan 14. Peramalan Gelombang Metode <i>Fisher-Tippett type 1</i> | 15 |
| Persamaan 15. Peramalan Gelombang Metode <i>Fisher-Tippett type 1</i> | 15 |
| Persamaan 16. Peramalan Gelombang Metode <i>Fisher-Tippett type 1</i> | 15 |
| Persamaan 17. Peramalan Gelombang Metode <i>Fisher-Tippett type 1</i> | 16 |
| Persamaan 18. Peramalan Gelombang Metode <i>Fisher-Tippett type 1</i> | 16 |
| Persamaan 19. Peramalan Gelombang Metode <i>Fisher-Tippett type 1</i> | 16 |
| Persamaan 20. Cepat Rambat Gelombang Laut Dangkal | 17 |
| Persamaan 21. Panjang Gelombang Laut Dangkal | 17 |
| Persamaan 22. Cepat Rambat Gelombang Laut Transisi | 17 |

| | |
|--|----|
| Persamaan 23. Panjang Gelombang Laut Transisi..... | 17 |
| Persamaan 24. Cepat Rambat Gelombang Laut Dalam..... | 17 |
| Persamaan 25. Panjang Gelombang Laut Dalam..... | 18 |
| Persamaan 26. Koefisien <i>Refraksi</i> | 18 |
| Persamaan 27. Koefisien <i>Shooting</i> | 18 |
| Persamaan 28. Sudut Arah Derasnya Gelombang..... | 18 |
| Persamaan 29. Tinggi Gelombang di Kedalaman Tertentu..... | 19 |
| Persamaan 30. Tinggi Gelombang di Kedalaman Ekuivalen..... | 20 |
| Persamaan 31. Indeks Tinggi Gelombang Pecah..... | 20 |
| Persamaan 32. Indeks Tinggi Gelombang Pecah..... | 20 |
| Persamaan 33. Indeks Kedalaman Gelombang Pecah..... | 20 |
| Persamaan 34. Indeks Kedalaman Gelombang Pecah..... | 20 |
| Persamaan 35. Perhitungan Kemiringan..... | 21 |
| Persamaan 36. Perhitungan Kemiringan..... | 21 |
| Persamaan 37. Jarak Proses Terjadinya Gelombang Pecah..... | 22 |
| Persamaan 38. <i>Run Up</i> Gelombang..... | 24 |
| Persamaan 39. <i>Run Up</i> Gelombang..... | 24 |
| Persamaan 40. <i>Run Up</i> Gelombang..... | 24 |
| Persamaan 41. <i>Run Up</i> Gelombang..... | 24 |
| Persamaan 42. Bilangan <i>Formzahl</i> | 29 |
| Persamaan 43. Elevasi Muka Air Rencana Pasang Surut..... | 32 |
| Persamaan 44. Elevasi Muka Air Rencana Pasang Surut..... | 32 |
| Persamaan 45. Elevasi Muka Air Rencana Pasang Surut..... | 32 |

| | |
|---|----|
| Persamaan 46. Elevasi Muka Air Rencana Pasang Surut | 32 |
| Persamaan 47. Elevasi Muka Air Rencana Pasang Surut | 32 |
| Persamaan 48. Elevasi Muka Air Rencana Pasang Surut | 32 |
| Persamaan 49. Elevasi Muka Air Rencana Pasang Surut | 32 |
| Persamaan 50. Elevasi Muka Air Rencana Pasang Surut | 32 |
| Persamaan 51. Elevasi Muka Air Rencana Pasang Surut | 32 |
| Persamaan 52. Elevasi Muka Air Rencana Pasang Surut | 32 |
| Persamaan 53. Kenaikan Muka Air Akibat Gelombang | 33 |
| Persamaan 54. Kenaikan Muka Air Akibat Gelombang | 33 |
| Persamaan 55. Kenaikan Muka Air Akibat Gelombang | 33 |
| Persamaan 56. Kenaikan Muka Air Akibat Angin | 34 |
| Persamaan 57. Kenaikan Muka Air Akibat Angin | 34 |
| Persamaan 58. Elevasi Muka Air Rencana | 35 |
| Persamaan 59. Rumus Hudson | 37 |
| Persamaan 60. Rumus Hudson | 37 |
| Persamaan 61. Diameter Batu | 37 |
| Persamaan 62. Tebal Lapis Lindung | 39 |
| Persamaan 63. Jumlah Lapis Batu Dalam Lapis Pelindung | 39 |
| Persamaan 64. Tinggi Bangunan Pelindung Pantai | 39 |
| Persamaan 65. Lebar Puncak Bangunan Pelindung Pantai | 40 |
| Persamaan 66. Kontrol Stabilitas Pengaman Kaki | 41 |
| Persamaan 67. Kontrol Stabilitas Pengaman Kaki | 41 |

DAFTAR TABEL

| | |
|---|----|
| Tabel 1. Pedoman pemilihan jenis Gelombang | 14 |
| Tabel 2. Koefisien Untuk Menghitung Deviasi Standar..... | 16 |
| Tabel 3. Koefisien stabilitas K_D untuk berbagai jenis butir..... | 37 |
| Tabel 4. Koefisien lapis K_A untuk berbagai jenis butir | 38 |
| Tabel 5. Interval kejadian angin berdasarkan arah datangnya di lokasi studi | 58 |
| Tabel 6. Persentasi kejadian angin rata-rata berdasarkan interval kecepatan | 58 |
| Tabel 7. Perhitungan <i>fetch</i> efektif arah utara | 62 |
| Tabel 8. Perhitungan <i>fetch</i> efektif arah barat daya | 62 |
| Tabel 9. Perhitungan <i>fetch</i> efektif arah Barat | 63 |
| Tabel 10. Perhitungan <i>fetch</i> efektif arah Barat Laut | 63 |
| Tabel 11. Data <i>fetch</i> di lokasi studi | 64 |
| Tabel 12. Perhitungan Koreksi Tegangan Angin Tahun 2012 Pantai Pa'lalakkang | 67 |
| Tabel 13. Perhitungan Gelombang Signifikan Tahun 2012 Pantai Pa'lalakkang | 69 |
| Tabel 14. Tinggi dan periode gelombang signifikan maksimum tahunan | 70 |
| Tabel 15. Persentasi kejadian tinggi gelombang dan periode gelombang berdasarkan arah datangnya di lokasi studi | 71 |
| Tabel 16. Perhitungan Tinggi Gellombang Maksimum Tahunan Dengan Metode <i>Fisher-tippett type 1</i> | 73 |
| Tabel 17. Hasil Perhitungan Dengan Periode Ulang tertentu | 76 |
| Tabel 18. Hasil analisis kurtosis | 80 |
| Tabel 19. Kategori kemiringan lereng | 81 |
| Tabel 20. Data pasang surut 15 hari interval 1 jam | 89 |
| Tabel 21. Penyusunan Hasil Perhitungan Dari Skema 2 | 90 |

| | |
|---|-----|
| Tabel 22. Penyusunan hasil perhitungan dari skema 3..... | 91 |
| Tabel 23. Penyusunan hasil perhitungan harga X dan Y..... | 92 |
| Tabel 24. Penyusunan hasil perhitungan besaran X dan Y dari konstanta-konstanta pasut untuk 15 piantan yang diperoleh dari Skema 5 dan 6..... | 93 |
| Tabel 25. Hasil Skema VII..... | 94 |
| Tabel 26. Skema VIII..... | 94 |
| Tabel 27. Tabel hasil matisia konstanta harmonie pasang surut..... | 95 |
| Tabel 28. Tabel pasang surut lokasi pantai Pa'halakkang..... | 99 |
| Tabel 29. Tipe dan Fungsi Struktur Pengaman Pantai..... | 101 |
| Tabel 30. Detail desain <i>Sea wall</i> | 109 |

BAB I PENDAHULUAN

A. Latar belakang

Indonesia negara kepulauan yang memiliki pantai terpanjang di dunia yang memerlukan banyak pemecah gelombang (termasuk *Groin* dan *sea wall*) bukan saja melindungi pantai dari hempasan gelombang yang mengancam berbagai kawasan di sekitarnya tetapi juga mencegah terjadinya gerusan di jangkai pantai. Banyak kasus pembangunan di pantai yang tidak tahan longkang yang tidak hanya gagal untuk memecahkan masalah, tetapi bahkan hasilnya menimbulkan masalah lain di sekitarnya. Tidak sedikit ditemukan struktur pertahanan pantai seperti tembok laut (*seawall*) dan *revetment* yang baru dibangun tetapi telah mengalami kerusakan/keruntulan akibat gerusan pada kaki bangunan atau erosi dasar bangunan oleh adanya hempasan gelombang ke daratan (Anli Maltul Syarisuri 2019).

Abrasi pantai dapat terjadi sebagai akibat serangan gelombang atau akibat dari aktivitas manusia seperti penanaman mangrove, pemambangan karang pantai, pembangunan pelabuhan atau pembangunan pantai lainnya, perluasan areal tambak hingga ke tepi pantai tanpa memandang batas wilayah pantai. Penyebab terjadinya abrasi pantai yaitu pengikisan di daerah pantai akibat gelombang dan arus laut yang sifatnya destruktif atau merusak. Sehingga abrasi dapat mengakibatkan rusaknya infrastruktur pemukiman penduduk disekitar pantai dan mundurnya garis pantai.

Pantai Pa'lalakkang merupakan salah satu daerah pantai yang berada di kabupaten Takalar, wilayah sekitaran pantai Pa'lalakkang dimanfaatkan untuk aktifitas manusia sebagai kawasan pemukiman dan daerah nelayan.

Berdasarkan pada hasil tinjauan yang telah dilakukan bersama masyarakat setempat, maka dapat diketahui bahwa pokok permasalahan yang terjadi pada pantai Pa'lalakkang yaitu berupa mundurnya garis pantai akibat terjangan gelombang, terjadinya proses transportasi sedimen, perubahan iklim global dan juga terjadinya suatu kejadian ekstrem seperti misalnya angin kencang yang dapat menimbulkan kerusakan disepanjang garis pantai, kerusakan akibat kegiatan manusia seperti penambangan pasir dipantai, pembangunan bangunan yang menjorok ke arah laut dan penurunan permukaan tanah yang dapat mengakibatkan rusaknya permukiman penduduk yang berada di sepanjang pantai Pa'lalakkang. Untuk melindungi pantai dari kerusakan yang diakibatkan oleh abrasi diperlukan adanya penelitian yang berkaitan dengan bangunan pelindung pantai. Bangunan pelindung pantai seperti *breakwater*, *Jetty*, *revetment* dan *groin* adalah infrastruktur yang dibangun di garis pantai yang berhimpit sebagai pelindung pantai, untuk mengurangi besarnya gelombang yang samudra di daerah pantai.

Sehubungan dengan pokok permasalahan pantai yang terjadi diatas maka penulis terkesan untuk mengangkat tugas akhir dengan judul "**Studi Perencanaan Bangunan Pantai dalam Penanganan Abrasi Pantai Pa'lalakkang**"

B. Rumusan masalah

1. Bagaimana dimensi bangunan pelindung pantai untuk penanganan abrasi pantai Pa'lalakkang ?
2. Bagaimana menganalisis tipe bangunan pelindung pantai untuk penanganan abrasi pantai Pa'lalakkang ?

C. Tujuan penelitian

Terkait dengan rumusan masalah diatas, maka tujuan dalam penelitian ini adalah sebagai berikut:

1. Untuk mendesain dimensi bangunan pelindung pantai *Sea wall* untuk penanganan abrasi pantai Pa'lalakkang.
2. Untuk menganalisis tipe bangunan pelindung pantai *Sea wall* untuk penanganan abrasi pantai Pa'lalakkang

D. Manfaat penelitian

Berdasarkan tujuan penelitian maka manfaat penelitian yang dapat diperoleh dari penelitian ini adalah sebagai berikut:

1. Memberikan pengetahuan tentang teknik pantai khususnya dalam bidang perencanaan bangunan pantai.
2. Memberikan pengetahuan mengenai pasang surut dan muka air rencana dalam menentukan elevasi bangunan pelindung pantai yang sesuai dengan pokok permasalahan yang terjadi di lokasi penelitian.
3. Memperoleh pemahaman dan penjelasan bagi peneliti, khususnya dalam mengembangkan penelitian yang berkaitan dengan perencanaan bangunan pelindung pantai.

E. Batasan masalah

Agar penelitian ini lebih fokus dan terarah, maka diperlukan adanya pembatasan masalah sebagai berikut:

1. Penelitian ini hanya berfokus pada analisis perencanaan dimensi bangunan pelindung pantai dan elevasi muka air rencana untuk penanganan abrasi dengan menggunakan data primer dan data sekunder.
2. Parameter fisik yang tidak terukur diumumkan berdasarkan literatur yang ada.
3. Panjang garis pantai yang akan dilakukan sebagai lokasi penelitian berjarak sekitar 500 meter

F. Sistematika penulisan

Sistematika penulisan disusun agar sebuah metode atau urutan dalam menyelesaikan sebuah penelitian tetap tersusun secara struktural pada tujuan yang ingin dicapai. Sistematika penulisan yang ditulis dalam penelitian ini adalah sebagai berikut:

Bab I Pendahuluan; Bagian ini memuat landasan masalah permasalahan, rencana masalah, sasaran penelitian, manfaat penelitian, hambatan penelitian dan sistematika penyusunan. Bagian ini menggambarkan hal-hal yang diperhatikan, menjelaskan alasan dan arti penting hasil eksplorasi untuk kemajuan daerah yang terkena dampak abrasi/erosi pantai, permasalahannya sebagai batas yang direkam dalam bentuk hard copy, serta sistematika dan keterkaitan pengenalan untuk setiap bagian.

Bab II Tinjauan Pustaka; Pada bagian ini, memberikan garis besar atau menggambarkan berbagai karya tulis yang berhubungan dengan penelitian/percakapan, dan menggambarkan hipotesis yang berhubungan dengan penelitian untuk memberikan gambaran yang akan digunakan dalam menyusun dan menyelidiki masalah.

Bab III Metode Penelitian: Pada bagian ini menjelaskan tentang luasnya pemeriksaan, gambaran umum eksplorasi, tahapan-tahapan pemeriksaan dan diagram alur pemeriksaan

Bab IV Pembahasan : Bab ini berisikan tentang uraian dari pekerjaan yang telah dilaksanakan, termasuk kendala-kendala yang terjadi dalam proses pelaksanaan pekerjaan, baik kendala teknis maupun non-teknis serta pembahasan hasil dari pengolahan data.

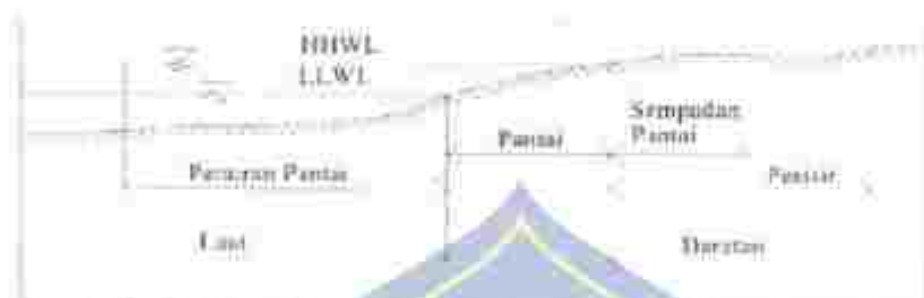
Bab V Kesimpulan Dan Saran : Bab ini merupakan kesimpulan yang diperoleh dari pelaksanaan pekerjaan dan saran yang dapat menjadi sebuah acuan kedepan agar lebih baik.



BAB II TINJAUAN PUSTAKA

A. Definisi Pantai

Di Indonesia, terdapat dua pembahasan tentang pantai yang sering keliru digunakan, yaitu pesisir (*coast*) dan pantai (*shore*). Pesisir ialah wilayah daratan di tepi lautan yang masih dipengaruhi oleh lautan, misalnya pasang surut air laut, angin yang berhembus dilaut dan perombesan air laut, sedangkan pantai adalah wilayah yang berada di tepi periran dan sungai dipengaruhi oleh air pasang surut yang tertinggi dan terendah (Bambang Triatmodjo, 2011). Wilayah daratan adalah wilayah yang berada di atas dan dibawah suatu permukaan tanah yang dimulai dari batas garis aliran yang paling tinggi. Wilayah laut adalah wilayah berada di atas dan dibawah permukaan laut yang mulai dari sisi laut pada garis surut paling rendah, termasuk dasar laut dan sebagian bumi di bawahnya. Garis pantai merupakan garis batas antara air, darat dan laut yang posisinya tidak tetap dan dapat bergerak yang ditunjukkan oleh pasang surut dan disintegrasi tepi laut yang terjadi. Sempadan pantai merupakan kawasan tertentu di sepanjang pantai yang memiliki keuntungan signifikan untuk menjaga dan mempertahankan kelestarian fungsi pantai. Kriteria sempadan pantai tersebut berupa suatu wilayah yang terletak pada sepanjang tepian pantai yang dimana bentuk dan lebarnya sesuai dengan keadaan pada sisi pantai dan berada kurang lebih sekitar 100 meter dari titik air pasang yang paling tinggi ke arah daratan.

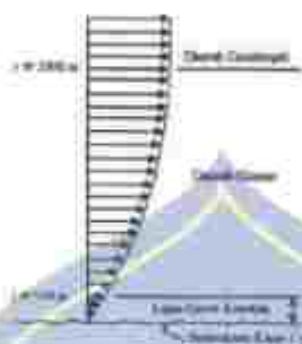


Gambar 1. Definisi dan Batasan Pantai (Sumber : Bambang Triatmodjo, 2011)

B. Data Angin

Distribusi kecepatan angin yang terjadi di lautan terbagi atas tiga daerah sesuai dengan elevasinya, daerah tersebut adalah daerah geostropik, daerah ekman dan daerah tegangan konstan. Daerah geostropik adalah daerah yang berada di atas elevasi 500 m, pada daerah ini kecepatan angin adalah konstan. Di bawah elevasi tersebut terdapat dua daerah yaitu daerah Ekman yaitu daerah yang berada pada elevasi 100 m sampai 500 m dan daerah tegangan konstan yang utamanya daerah tersebut berada pada elevasi 10 sampai 100 m, di kedua daerah ini kecepatan dan arah angin berubah-ubah sesuai dengan tingkat elevasinya, ini disebabkan karena adanya gesekan dengan permukaan laut dan adanya perbedaan temperatur antara air dan udara.

Informasi angin yang digunakan untuk pengukuran gelombang adalah informasi permukaan laut yang terletak di daerah pembangkit. Informasi tersebut dapat berupa perkiraan langsung tingkat terpaut atau perkiraan darat di dekat daerah yang ditentukan, kemudian diubah/dikonversi menjadi data angin. Kecepatan angin dapat diperkirakan dengan anemometer, dan biasanya dinyatakan dalam bentuk knot.



Gambar 2. Distribusi Vertikal Kecepatan Angin (Sumber : Bambang Iriantodjo, 1999)

Untuk keperluan peramalan gelombang, kecepatan angin biasanya digunakan pada ketinggian 10 m dan jika kecepatan tidak dipericintikan pada ketinggian itu, kecepatan angin harus dikoreksi menggunakan rumus:

$$U_{10m} = U_{10} \left(\frac{10}{y} \right)^{0,16} \quad (1)$$

Dengan :

U_{10} : Kecepatan angin pada ketinggian 10 meter,

y : Elevasi terhadap permukaan air.

Jika data yang dimiliki adalah data pengukuran yang dilakukan di darat, maka perlu dilakukan koreksi untuk mendapatkan nilai kecepatan angin di laut.

Hubungan antara angin di atas laut dan angin di daratan terdekat dilambangkan dengan $R_L = U_w/U_L$. Apabila data kecepatan angin pada suatu perairan memerlukan penyesuaian atau koreksi terhadap elevasi permukaan, maka digunakan persamaan:

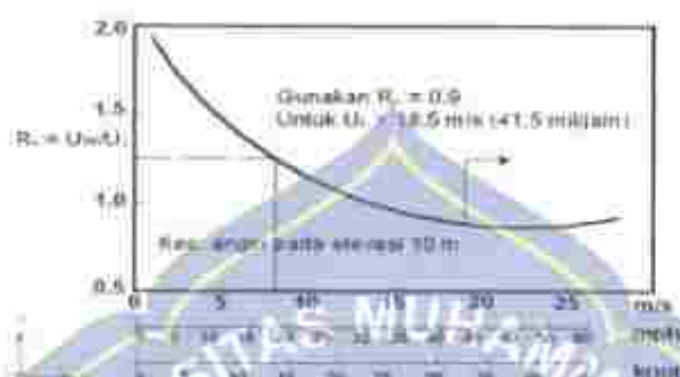
$$U = R_T \times R_L \times U(10) \quad (2)$$

Dengan :

R_T = Koefisien stabilitas perbedaan temperatur antara udara dan laut

R_L = Kecepatan koreksi antara kecepatan angin di laut dan darat

$U(10)$ = Kecepatan angin dengan ketinggian 10 meter



Gambar 3. Grafik Hubungan Kecepatan Angin di Laut dan Deras (Sumber: Bambang Triatmodjo, 2011)

Grafik pembangkit gelombang menpandung variabel U_A , yaitu faktor tegangan angin yang dihitung dari kecepatan angin. Setelah dilakukan konversi kecepatan angin, kecepatan angin dikonversikan pada faktor tegangan angin dengan menggunakan rumus berikut:

$$U_A = 0,71 U_W^{1,23} \quad (3)$$

Dimana :

U_A : Faktor tegangan angin yang dihitung dari kecepatan angin.

U_W : kecepatan angin di laut dengan satuan *m/d*.

Untuk mencari waktu yang diperlukan untuk melintasi jarak 1 mil dengan rumus berikut :

$$t = 1609/U_i \quad (4)$$

Dimana:

t : Waktu yang diperlukan untuk melintasi jarak 1 mil (dt)

U_i : Kecepatan angin (m/dt)

Kemudian mencari nilai $U_i/3600$ dengan rumus (Anonim, 1984):

a. Untuk $1 \text{ dt} < t < 3600 \text{ dt}$

$$\frac{U_x}{U_{3600}} = 1,277 + 0,296 \tanh \left\{ 0,9 \log_{10} \frac{4x}{z} \right\} \dots \dots \dots (5)$$

b. Untuk $3600 \text{ dt} < t < 360.000 \text{ dt}$

$$\frac{U_x}{U_{3600}} = 0,15 \log_{10} t + 1,5334 \dots \dots \dots (6)$$

Mencari kecepatan rata-rata dalam satu jam dengan rumus:

$$U_{t-3600} = \frac{U_x}{\left(\frac{U_x}{U_{3600}} \right)} \dots \dots \dots (7)$$

Dengan :

U_x = kecepatan angin untuk melintasi jarak x mil (m/dt)

U_{3600} = kecepatan angin dalam 1 jam (m/dt)

U_t = kecepatan angin rata-rata dalam 1 jam (m/dt)

C. Fetch

Tinggi dan periode gelombang yang dibandingkan dipengaruhi oleh angin yang meliputi kecepatan angin U , lama hembusan angin D , arah angin dan *fetch* F . Menurut (Bambang Triatmodjo, 2011) di dalam mengamati di suatu pembangkitan gelombang di daerah laut, *fetch* maka dapat dibatasi oleh bentuk daratan yang mengelilingi laut. Dalam suatu wilayah pembentukan gelombang, gelombang bukan hanya bisa dihasilkan dengan arah yang sama dengan arah angin, tetapi juga bisa dibangkitkan pada titik yang berbeda dari arah angin. panjang *fetch* adalah keseluruhan panjang lautan yang dibatasi oleh daerah daratan pada kedua sisi ujungnya. Pengukuran garis *fetch* di tarik hingga menyentuh daratan terdekat. Jika panjang *fetch* efektif $> 200 \text{ km}$ maka panjang *fetch* efektif digunakan adalah 200 km disebabkan kecepatan angin konsisten hanya sejauh $\leq 200 \text{ km}$.

Fetch rerata efektif diberikan oleh persamaan berikut:

$$F_{eff} = \frac{\sum X_i \cos \alpha}{\sum \cos \alpha} \quad (8)$$

Dengan :

F_{eff} : *Fetch* rerata efektif

α : Deviasi di kedua sisi dari arah hembusan angin, dengan cara menambahkan 6° sampai sudut 42° pada kedua sisi dari arah angin.

X_i : Panjang segmen *fetch* yang diukur mulai pada titik observasi gelombang panting sampai ujung akhir *fetch*



Gambar 4. *Fetch* (Sumber Bambang Triatmodjo, 2011)

D. Gelombang

Gelombang ialah suatu faktor yang penting di dalam suatu perencanaan pelabuhan, rekayasa pantai dan bangunan lepas pantai. Gelombang dilaut bisa dibangkitkan oleh angin, gaya tarik matahari dan bulan, letusan gunung merapi atau gempa di laut, kapal bergerak dan sebagainya. Gelombang-gelombang ini dapat menimbulkan pengaruh pada bangunan pantai maupun lepas pantai. Selain itu gelombang juga dapat menimbulkan pola arus dan terjadi sedimentasi di wilayah pantai. (Suntoyo & dkk, 2014)

Gelombang laut dapat dipisahkan menjadi beberapa jenis berdasarkan pada cara pembangkitnya. Gekombang yang dimaksud adalah gelombang angin yang dibangkitkan karena adanya sebuah hembusan angin yang terjadi di atas permukaan laut, gelombang pasang surut yang dibangkitkan oleh suatu gaya tarik bulan dan matahari terhadap bumi, gelombang tsunami yang terjadi karena adanya sebuah letusan gunung berapi atau gempa bumi, gelombang yang terjadi karena kapal yang bergetak dan sebagainya.

1). Gelombang Signifikan

Berdasarkan pada kecepatan angin, lama hembus angin dan arah seperti yang telah dibicarakan di depan, dilakukan peramalan gelombang signifikan dengan grafik pada gambar 5.



Gambar 5. Grafik peramalan gelombang signifikan (SPM, 1984) (Sumber: Bambang Triatmodjo, 1999)

Dalam menentukan tinggi gelombang signifikan (H_s) dan periode gelombang signifikan (T_s), digunakan analisis spektrum gelombang JONSWAP (*Shore Protection Manual, 1984*) yang diturunkan berdasarkan kondisi FDS (*Fully Developed Sea*). Dengan menentukan kecepatan angin rata-rata di atas permukaan laut, untuk menentukan tinggi gelombang signifikan dan periode gelombang signifikan, dapat digunakan rumus sebagai berikut:

$$H_s = \frac{0,0016 \times \sqrt{\frac{H_{eff}}{U_A^2}} \times U_A^2}{g} \quad (9)$$

$$T_s = \frac{0,2857 \times \left(\frac{H_{eff}}{U_A^2}\right)^{\frac{1}{2}} \times U_A}{g} \quad (10)$$

Dengan:

H_s : Tinggi gelombang signifikan (m)

T_s : Periode gelombang signifikan (d)

g : Percepatan gravitasi bumi ($9,81 \text{ m/dt}^2$)

F_{eff} : Panjang fetch efektif (m)

U_A : Kecepatan angin terkoreksi (m/dt)

2). Pemilihan Tinggi Gelombang

Pemilihan kondisi gelombang untuk analisis stabilitas bangunan pantai perlu memperhatikan apakah bangunan tersebut mengalami serangan gelombang pecah, tidak pecah atau telah pecah dan bentuk serta prioritas bangunan pantai. Apabila karakteristik gelombang telah ditentukan, langkah berikutnya adalah menentukan tinggi gelombang pada lokasi bangunan dipengaruhi atau dibatasi kedalaman air.

Tinggi gelombang tergantung pada jenis konstruksi yang akan dibangun. Di bawah ini diberikan pedoman untuk menentukan tinggi gelombang rencana untuk beberapa keperluan:

1. Konstruksi kaku (*Fixed Rigid Structure*)

Misalnya : menara bor lepas pantai. Tinggi gelombang rencana yang dipakai adalah H maksimum

2. Konstruksi fleksibel (*Flexible Structure*)

Misalnya : rubber mound *breakwater*, *sea wall*. Tinggi gelombang rencana yang dipakai adalah H signifikan

3. Konstruksi semi kaku (*Semi Rigid Structure*)

Misalnya : Dinding pantai (*seawall*). Tinggi gelombang rencana yang dipakai adalah H_{10}

3). Kala Ulang Gelombang Rencana

Penentuan kala gelombang biasanya didasarkan pada jenis konstruksi yang akan dibangun dan nilai daerah yang dilindungi. Makin tinggi nilai daerah yang diamankan, makin besar pula kala ulang gelombang rencana yang dipilih. Sebagai pedoman kala ulang gelombang rencana dapat dilihat pada tabel 2.1 dibawah ini

Tabel 1. Pedoman pemilihan jenis Gelombang

| No | Jenis Rangunan | Jenis Gelombang |
|----|--|-----------------------|
| 1 | Konstruksi Fleksibel (<i>Flexible Structure</i>) | H_s |
| 2 | Konstruksi Semi Kaku (<i>Semi Rigid Structure</i>) | $H_{0.5}$ - H_{10} |
| 3 | Konstruksi Kaku (<i>Fixed Rigid Structure</i>) | $H_{0.2}$ - H_{max} |

(Sumber : Herawati, 11, 2020)

Untuk menentukan kala ulang pada gelombang rencana dipergunakan analisa harga-harga ekstrim tinggi gelombang, biasanya diambil satu gelombang tertinggi setiap tahunnya. Salah satu cara untuk menentukan analisa data tersebut dapat digunakan Metode distribusi *Fisher-tippett type I* sebagai berikut :

- Distribusi *Fisher-tippett type I*

$$P(H_s \leq H_m) = 1 - \frac{m-0.44}{N_T+0.12} \quad (11)$$

Dengan :

$P(H_s \leq H_m)$: Probabilitas dari tinggi gelombang representatif ke m yang tidak dilampaui.

- H_{sm} : Tinggi gelombang urutan ke m ,
 m : Nomor urut tinggi gelombang signifikan,
 NT : Jumlah kejadian gelombang selama pencatatan

- Periode ulang

Untuk tinggi gelombang signifikan dari berbagai periode ulang dihitung dengan distribusi probabilitas dengan rumus berikut ini:

$$H_{sm} = Ay + B \quad (12)$$

Untuk nilai A dan B diberikan persamaan:

$$\hat{A} = \frac{n \sum H_{sm} y_m - \sum H_{sm} \sum y_m}{n \sum y_m^2 - (\sum y_m)^2} \quad (13)$$

$$\hat{B} = H_{sm \text{ rata-rata}} - A \cdot y_{\text{rata-rata}} \quad (14)$$

Dimana nilai y_m dan y_r diberikan dalam bentuk persamaan sebagai berikut:

$$y_m = -\ln[-\ln n / (n - (Lr \leq H_{sm}))] \quad (15)$$

$$y_r = -\ln \left[-\ln \left(1 - \frac{1}{Lr} \right) \right] \quad (16)$$

Dengan :

- H_{sm} : Tinggi gelombang periode Tr ,
 Tr : Periode ulang (tahun),
 K : Periode data (tahun),
 L : rerata jumlah kejadian per tahun.

- Interval keyakinan

Perkiraan interval keyakinan adalah penting dalam analisa gelombang ekstrim. Batas keyakinan sangat berpengaruh oleh penyebaran data, sehingga nilainya tergantung pada standar deviasi. Deviasi standar yang dinormalkan dihitung dengan persamaan berikut :

$$\sigma_{nr} = \frac{1}{\sqrt{N}} (1 + a(yr - c + \varepsilon \ln v)^2)^{1/2} \dots\dots\dots (17)$$

Dengan :

σ_{nr} : standar deviasi yang dinormalkan dari tinggi gelombang signifikan dengan periode ulang T_r ,

N : Jumlah data tinggi gelombang signifikan,

$$v = \frac{N}{N-1}$$

$$a = \alpha_1 e^{25v^{1.5}} + \alpha_2 \sqrt{Nv}$$

Untuk nilai α_1 , α_2 , & k dapat dilihat pada tabel koefisien berikut:

Tabel 2. Koefisien Untuk Menghitung Deviasi Standar

| Distribusi | α_1 | α_2 | k | c | ε |
|-----------------------|------------|------------|-------|-----|---------------|
| Fisher-Tippett Type I | 0,64 | 2 | 0,93 | 0 | 1,25 |
| Weibull (k = 0,75) | 1,05 | 11,4 | -0,63 | 0 | 1,15 |
| Weibull (k = 1,0) | 1,92 | 11,4 | 0 | 0,3 | 0,9 |
| Weibull (k = 1,4) | 2,05 | 11,4 | 0,63 | 0,4 | 0,72 |
| Weibull (k = 2,0) | 2,24 | 11,4 | 1,33 | 0,5 | 0,54 |

(Sumber : Bambang Kurniasa (2011))

Berdasarkan absinal dari deviasi standar dari tinggi gelombang signifikan dihitung dengan rumus:

$$\sigma_r = \sigma_{nr} \times \sigma_{Hs} \dots\dots\dots (18)$$

Dengan :

σ_r : Kesalahan standar deviasi dari tinggi gelombang signifikan dengan periode T_r ,

σ_{Hs} : Deviasi standar dari tinggi gelombang signifikan.

Dimana nilai y_m dan y , diberikan dalam bentuk persamaan sebagai berikut:

$$\sigma_{Hs} = \left[\frac{1}{N-1} \sum_{i=1}^N (H_{sm} - \bar{H}_{sm})^2 \right]^{1/2} \dots\dots\dots (19)$$

Dengan :

σH_s : Deviasi standar dari tinggi gelombang signifikan,

N : Jumlah data tinggi gelombang signifikan,

H_{sm} : Tinggi gelombang urutan ke m ,

\bar{H}_{sm} : Rerata tinggi gelombang.

4). Perumalan Gelombang

Berdasarkan kedalaman relatif, yaitu perbandingan kedalaman air (d) dan panjang gelombang L , (d/L), gelombang dapat diklasifikasikan menjadi tiga macam (Bambang Triatmodjo 1999) yaitu :

- Gelombang laut dangkal jika $d/L \leq 1/20$
- Gelombang laut transisi jika $1/20 < d/L < 1/2$
- Gelombang laut dalam jika $d/L > 1/2$

Klasifikasi ini digunakan untuk menyederhanakan rumus-rumus gelombang.

Sehingga untuk menentukan panjang dan cepat rambat gelombang di laut memakai persamaan :

1. Apabila kedalaman relatif $d/L < 1/20$, sehingga menjadi :

$$C = \sqrt{gd} \dots \dots \dots (20)$$

$$L = \sqrt{gd} T \dots \dots \dots (21)$$

2. Apabila kedalaman relatif $1/20 < d/L < 1/2$, sehingga menjadi :

$$C = \frac{gT}{2\pi} \tanh \frac{2\pi d}{L} \dots \dots \dots (22)$$

$$L = \frac{gT^2}{2\pi} \tanh \frac{2\pi d}{L} \dots \dots \dots (23)$$

3. Apabila kedalaman relatif $d/L \geq 0,5$, sehingga menjadi :

$$C_0 = \frac{gT}{2\pi} 1,56 T \dots \dots \dots (24)$$

$$L_0 = \frac{gT^2}{2\pi} 1,56 \cdot T^2 \dots\dots\dots (25)$$

Dengan :

L_0 : Panjang gelombang di laut dalam (m)

T : Periode gelombang (dt)

g : Percepatan gravitasi ($9,8 \text{ m/d}^2$)

C_0 : Cepat rambat gelombang (m/dt)

5). Refraksi Gelombang

Refraksi gelombang adalah pembelokan arah gelombang yang menyesuaikan kontur kedalaman yang disebabkan oleh perubahan kecepatan rambat gelombang. *Refraksi* dapat menentukan tinggi gelombang di suatu tempat berdasarkan karakteristik gelombang datang. *Refraksi gelombang* terjadi karena adanya pengaruh perubahan kedalaman di laut (Bambang Triatmodjo, 1990).

$$K_r = \sqrt{\frac{\cos \alpha_s}{\cos \alpha_d}} \dots\dots\dots (26)$$

$$K_s = \sqrt{\frac{n_0 L_0}{n_1}} \dots\dots\dots (27)$$

Dimana pada hukum Snell berlaku apabila ditinjau gelombang di laut dalam dan di suatu titik yang ditinjau yaitu:

$$\sin \alpha = \left(\frac{c}{c_0}\right) \sin \alpha_0 \dots\dots\dots (28)$$

Dengan :

K_r : Koefisien *refraksi*.

K_s : Koefisien *shoaling*

L : Panjang gelombang

- L_0 : Panjang gelombang di laut dalam
 α_0 : Sudut antara garis puncak gelombang dengan kontur dasar dimana gelombang melintas.
 α : Sudut yang sama yang diukur dari garis puncak gelombang melintasi kontur dasar berikutnya.
 C : Kecepatan rambat gelombang.
 C_0 : Kecepatan rambat gelombang di laut dalam.

6). Gelombang Rencana

Tinggi gelombang di laut terjadi akibat pengaruh *refraksi* gelombang diberikan oleh rumus berikut:

$$H_0 = K_s \cdot K_r \cdot H_t \quad (29)$$

Dengan :

H_0 : Tinggi gelombang di kedalaman tertentu.

K_s : Koefisien shoaling (pendangkalan).

K_r : Koefisien *Refraksi*.

H_t : Tinggi gelombang laut dalam.

7). Gelombang Pecah

Gelombang yang menjalar dari laut dalam menuju pantai mengalami perubahan bentuk karena adanya pengaruh perubahan kedalaman laut. Pengaruh kedalaman laut mulai terasa pada kedalaman lebih kecil dari setengah kali panjang gelombang. Profil gelombang di laut dalam adalah sinusoidal. Semakin menuju ke perairan yang lebih dangkal puncak gelombang semakin tajam dan lembah

gelombang semakin datar. Selain itu, kecepatan dan panjang gelombang berkurang secara berangsur-angsur sementara tinggi gelombang bertambah.

Apabila gelombang bergerak menuju laut dangkal, kemiringan batas tersebut tergantung pada kedalaman relative d/L dan kemiringan dasar laut m . Gelombang dari laut dalam yang bergerak menuju pantai akan bertambah kemiringannya sampai akhirnya tidak stabil dan pecah pada kedalaman tertentu yang disebut dengan kedalaman gelombang pecah db . Tinggi gelombang laut dalam ekuivalen diberi notasi $H'o$ dan tinggi gelombang pecah diberi notasi H_b . Munk (1949, dalam CERC, 1984) memberikan rumus untuk menentukan tinggi dan kedalaman gelombang pecah berikut ini. (Bambang Triatmodjo, 1999):

$$H'o = K_r H_b \quad (30)$$

$$\frac{H'o}{gT^2} \quad (31)$$

$$\frac{H_b}{H'o} = \frac{1}{3.33 (H'o/L_o)^{0.5}} \quad (32)$$

Parameter $H_b/H'o$ disebut dengan indeks tinggi gelombang pecah. Gambar 6 menunjukkan hubungan antara $H_b/H'o$ dan $H'o/L_o$ untuk berbagai kemiringan dasar laut. Gambar 7 menunjukkan hubungan antara db/H_b dan H_b/gT^2 untuk berbagai kemiringan dasar. Grafik yang diberikan pada Gambar 7 dapat dituliskan dalam rumus sebagai berikut:

$$\frac{H_b}{gT^2} \quad (33)$$

$$\frac{d_b}{H_b} = \frac{t}{b - \left(a - \frac{H_b}{gT^2} \right)} \quad (34)$$

Dimana a dan b merupakan fungsi kemiringan pantai m dan diberikan oleh

persamaan berikut (Bambang Triatmodjo, 1999):

$$a = 43,75 (1 - e^{-0,0001 m}) \quad (35)$$

$$b = \frac{1,56}{(1 + e^{-0,0001 m})} \quad (36)$$

Dengan :

H_b : Tinggi gelombang pecah

$H'o$: Tinggi gelombang laut dalam ekuivalen

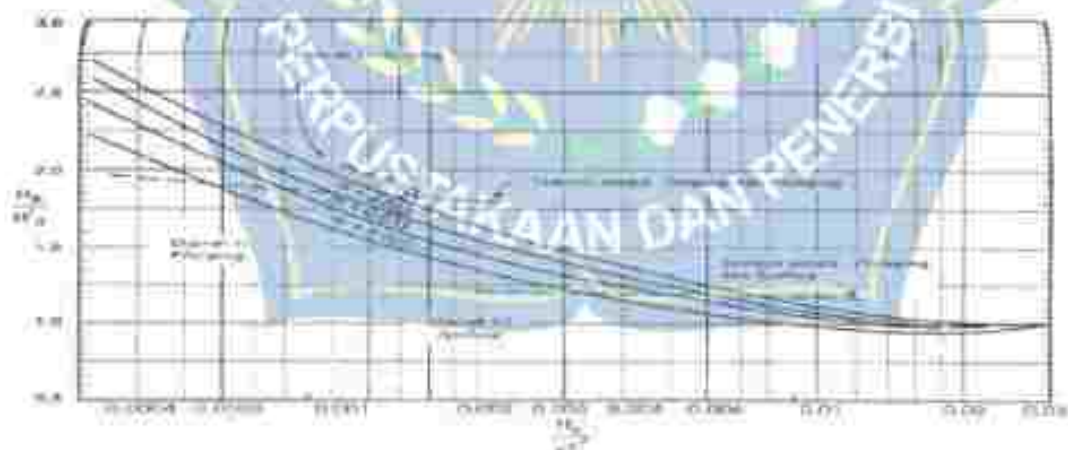
L_o : Panjang gelombang di laut dalam

db : Kedalaman air pada saat gelombang pecah

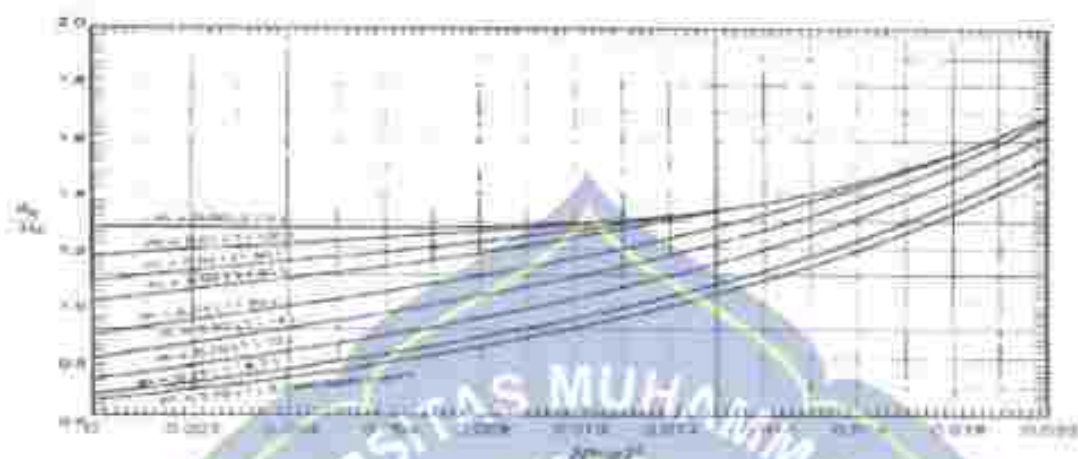
m : Kemiringan dasar laut

g : Percepatan gravitasi

T : Periode gelombang



Gambar 6. Grafik Penentuan Tinggi Gelombang Pecah (H_b) (Sumber : Bambang Triatmodjo, 1999)



Gambar 7. Penentuan Kedalaman Gelombang Pecah (H_b) (Sumber : Bambang Triatmodjo, 1999)

Gelombang yang merambat dari laut dalam menuju pantai mengalami perubahan bentuk dan puncak gelombang semakin tajam sampai akhirnya pecah pada suatu kedalaman tertentu. Proses gelombang pecah, yaitu sejak gelombang mulai tidak stabil sampai pecah sepenuhnya terbentuk pada suatu jarak x_p . Galvin (1969, dalam CERC 1984) memberikan hubungan antara jarak yang ditempuh selama proses gelombang pecah (x_p) dan tinggi gelombang saat mulai pecah (H_b), yaitu sebagai berikut :

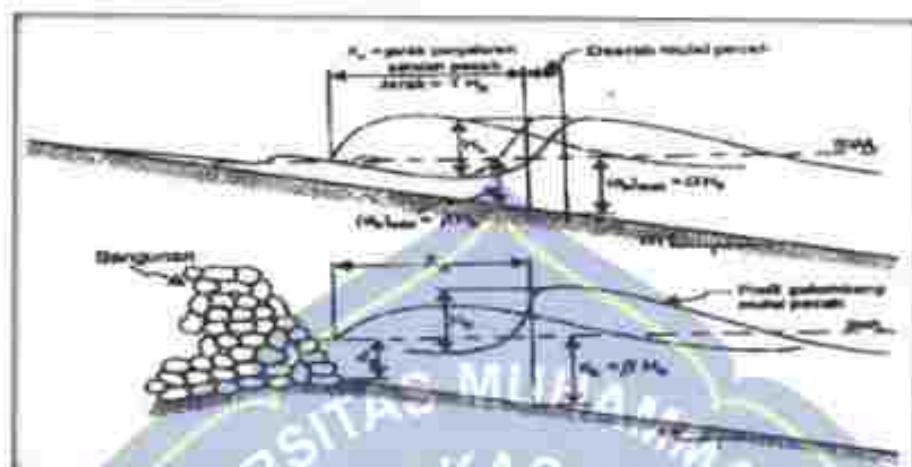
$$x_p = \tau_p H_b \quad (37)$$

Dengan :

x_p : Jarak yang ditempuh selama gelombang pecah

H_b : Tinggi gelombang pecah

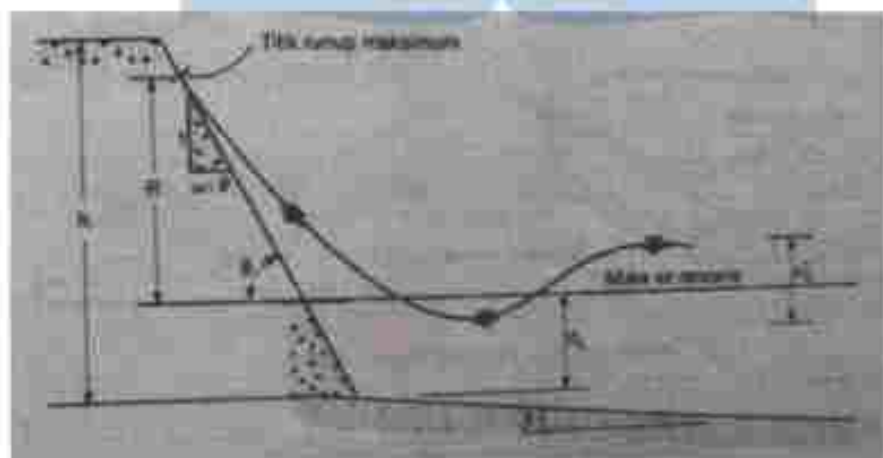
τ_p : 4,0 m sampai 9,25 m



Gambar 8. Proses Gelombang Refleksi (Sumber : Bambang Triatmodjo, 1999)

E. *Run up* Gelombang

Pada waktu gelombang menghantam suatu bangunan, gelombang tersebut akan naik (*run up*) pada permukaan bangunan. Elevasi (tinggi) bangunan yang direncanakan tergantung pada *run up* dan impesi yang diijinkan. *Run up* bergantung pada besinya dan kekakuan bangunan, kedalaman air pada kaki bangunan, kemiringan darat laut di depan bangunan dan karakteristik gelombang. Karena banyaknya variabel yang berpengaruh maka besarnya *run up* sangat sulit ditentukan secara analitis.



Gambar 9. *Run up* gelombang (Sumber : Bambang Triatmodjo, 1999)

Berbagai penelitian tentang *run up* gelombang telah dilakukan di laboratorium. Hasil penelitian tersebut berupa grafik-grafik yang dapat menentukan tingginya suatu *run up*. Rumus yang dapat digunakan untuk menentukan *run up* adalah sebagai berikut :

$$I_r = \frac{10\theta}{\sqrt{\frac{L_o}{L}}} \quad (38)$$

$$\frac{R_u}{H} = I_r \quad (\text{Untuk } I_r < 2,5) \quad (39)$$

$$\frac{R_u}{H} = 0,3 I_r + 4,275 \quad (\text{Untuk } 4,25 > I_r > 2,5) \quad (40)$$

$$\frac{R_u}{H} = 2 \quad (\text{Untuk } I_r > 4,25) \quad (41)$$

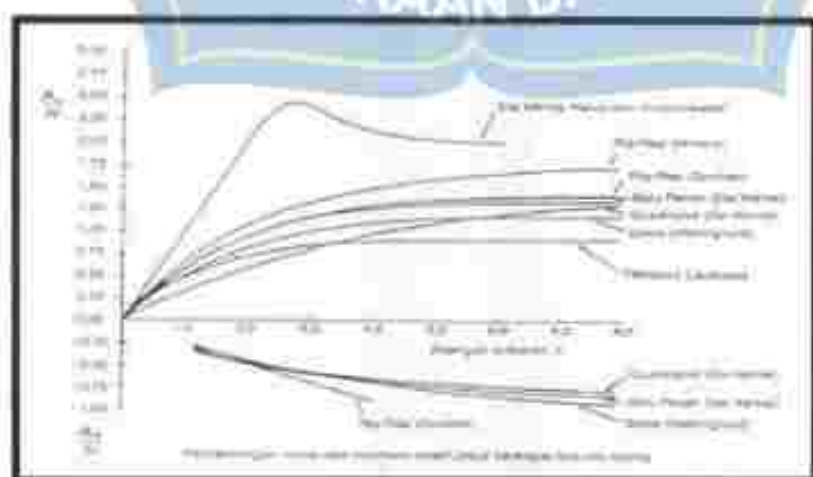
Dengan :

I_r : Bilangan Iribaham.

θ : Sudut kemiringan sisi bangunan.

H: Tinggi gelombang di lokasi bangunan.

L_o : Panjang gelombang di luar dalam.



Gambar 10. Tinggi relatif *run-up* untuk berbagai jenis lapis lindung (Sumber: Bambang Friatmodjo, 1999)

F. Fluktuasi Muka Air Laut

Elevasi muka air laut merupakan parameter yang sangat penting di dalam perencanaan bangunan pantai. Muka air laut berfluktuasi dengan periode yang lebih besar dari periode gelombang angin. Fluktuasi muka air laut dapat disebabkan oleh *wave set-up* (kenaikan muka air karena gelombang), *wind set-up* (kenaikan muka air karena angin), tsunami, *storm surge* (gelombang badai), pelepasan global dan pasang surut.

a. Pasang Surut

Pasang surut adalah fluktuasi muka air laut karena adanya gaya tarik benda-benda langit, terutama matahari dan bulan terhadap massa air laut di bumi. Elevasi muka air tertinggi (pasang) dan muka air terendah (surut) sangat penting untuk perencanaan bangunan pantai (Rumbung Triatmodjo, 1999).

Secara umum pasang surut di berbagai daerah dapat dibedakan dalam empat tipe, yaitu pasang surut harian tunggal (*diurnal tide*), pasang surut harian ganda (*semidiurnal tide*), pasang surut campuran condong ke harian ganda (*mixed tide prevailing semidiurnal*), dan pasang surut campuran condong ke harian tunggal (*mixed tide prevailing diurnal*).

Berikut penjelasan mengenai tipe pasang surut :

1. Pasang surut harian ganda (*semi diurnal tide*), adalah pasang surut yang apabila dalam satu hari terjadi dua kali air pasang dan dua kali air surut dengan tinggi yang hampir sama dan pasang surut terjadi secara berurutan secara teratur. Periode pasang surut rata-rata adalah 12 jam 24 menit.

2. Pasang surut harian tunggal (*diurnal tide*), adalah pasang surut yang apabila dalam satu hari terjadi satu kali air pasang dan satu kali air surut. periode pasang surut adalah 24 jam 50 menit.
3. Pasang surut campuran condong ke harian ganda (*mixed tide prevailing semidiurnal*), adalah pasang surut yang apabila dalam satu hari terjadi dua kali air pasang dan dua kali air surut, tetapi tinggi dan periodenya berbeda.
4. Pasang surut condong ke harian tunggal (*mixed tide prevailing diurnal*), pasang surut tipe ini dalam satu hari terjadi satu kali pasang dan satu kali air surut, tetapi kadang-kadang untuk sementara waktu terjadi dua kali pasang dan dua kali surut dengan tinggi dan periode yang sangat berbeda.

1. Metode Admiralty

Admiralty adalah metode yang digunakan untuk menghitung konstanta harmonik pasang surut dari pengamatan pasang surut muka air laut tiap jam selama 15 piaman atau 15 hari pengamatan dan 29 piaman atau 30 hari pengamatan. Metode Admiralty merupakan metode perhitungan pasang surut untuk menghasilkan dua konstanta harmonik yaitu berupa amplitudo dan kecepatan sudut. Metode Admiralty dikembangkan oleh A.T. Doodson, Direktur *Tidal Institute* di Liverpool dan digunakan untuk keperluan kantor hidrografi Inggris, yaitu British Admiralty. Doodson mengembangkan sistematika pengolahan data pengamatan pasang surut dengan bantuan skema dan tabel-tabel perkalian.

Analisis konstanta harmonik pasang surut metode Admiralty telah lama digunakan dan dikenal luas semenjak berkembangnya analisis harmonik oleh Doodson pada tahun 1921. Kelebihan utama metode ini yaitu dapat menganalisis

data pasang surut jangka waktu pendek yaitu 15 piamtan dan 29 piamtan. Adapun perhitungan yang telah dikembangkan Doodson untuk jangka pendek diperlukan tabel-tabel untuk mempermudah perhitungan. Adapaun kelemahan dari metode Admiralty ini hanya digunakan untuk pengolahan data berjangka waktu pendek dan hasil perhitungan yang dihasilkan relatif sedikit yaitu hanya menghasilkan 9 komponen pasang surut utama. Namun pealatan metode Admiralty saat ini dapat dilakukan dengan bantuan komputer dimana masalah tabel yang semula terbatas menjadi terpenuhi.

Adapun tahapan-tahapan perhitungan sebagai berikut:

a). Skema I

Data pengamatan yang diukur disusun menurut skema I. Dari skema tersebut ditentukanlah waktu pertengahan pengamatan dan standar waktu yang ditentukan dihitung terhadap GMT. Tentukanlah bacaan tertinggi dan bacaan terendah. Untuk bacaan tertinggi menunjukkan kedudukan tertinggi dan bacaan terendah menunjukkan kedudukan air terendah. Data yang akan diolah dikonversikan dahulu satuannya dari meter (m) ke centimeter (cm).

b). Skema II

Pengisian tiap kolom-kolom pada skema II dibantu dengan bantuan konstanta pengali yang telah ditetapkan yaitu dengan mengalikan nilai pengamatan dengan harga konstanta pengali tersebut untuk setiap hari pengamatan. Karena pengali dalam daftar hanya berisi bilangan 1 dan -1 kecuali untuk X4 ada bilangan 0 yang dimasukkan dalam perkalian, maka lakukan perhitungan dengan menjumlahkan bilangan yang harus dikalikan dengan 1 dan diisikan pada kolom yang bertanda (+)

di bawah kolom $X_1, Y_1, X_2, Y_2, X_4,$ dan Y_4 . Lakukan hal yang sama untuk pengali -1 dan isikan ke kolom di bawah tanda $(-)$.

c). Skema III

Setiap kolom pada kolom-kolom skema-III merupakan penjumlahan dari perhitungan pada kolom-kolom skema II. Pengisian kolom $X_0, X_1, Y_1, X_2, Y_2, X_4$ dalam setiap hari pengamatan. Kolom X_0 berisi perminggu mendatar dari hitungan X_1 pada kelompok hitungan 2 tanpa memperhatikan tanda $(+)$ dan $(-)$. Kolom X_1, Y_1, X_2, Y_2, X_4 dan Y_4 merupakan penjumlahan mendatar X_1, Y_1, X_2, Y_2, X_4 dan Y_4 pada kelompok hitungan 2 dengan memperhatikan tanda $(+)$ dan $(-)$ harus di tambah dengan besaran B (B kelipatan 100).

d). Skema IV

Pengisian seluruh kolom-kolom pada skema IV merupakan penjumlahan dari hasil perhitungan skema III dibantu dengan konstanta pengali yang telah ditetapkan. Arti indeks pada skema IV

1. Indeks 00 untuk X berarti X_{00}, X_0 pada skema III dan indeks 0 pada tabel konstanta pengali.
2. Indeks 00 untuk Y berarti Y_{00}, Y_0 pada skema III dan indeks 0 pada tabel konstanta pengali.

e). Skema V dan VI

Untuk menyusun skema V yaitu pengurangan dari nilai X (jumlah) dan Y (jumlah) pada skema IV dan dibantu dengan konstanta pengali yang telah ditetapkan. Begitu pula untuk mengisi kolom dan baris pada skema VI yaitu penjumlahan dari nilai X (jumlah) dan Y (jumlah) pada skema IV dan dibantu

dengan konstanta pengali yang telah ditetapkan. Penyusunan skema V dan skema VI sudah memperhatikan data untuk menghitung sembilan unsur utama pembangkit pasang surut (M2, S2, K2, N2, K1, O1, P1, M4 dan MS4).

f). Skema VII

Untuk menyusun skema VII yaitu merupakan penjumlahan dari skema V dan skema VI dan dibantu dengan konstanta pengali yang telah ditetapkan, serta nilai hasil perhitungan f , V , u dan r .

g). Skema VIII

Untuk menyusun skema VIII merupakan perhitungan dari nilai V dan nilai u pada skema VII dibantu dengan konstanta pengali yang telah ditetapkan dan hasil perhitungan f , V , u dan r .

h). Hasil akhir

Pada skema ini berisikan hasil akhir dari perhitungan metode *Similarity* yaitu berupa nilai konstanta harmonik utama pasang surut.

2. Penentuan Jenis Pasang Surut

Bilangan *Formzahl* yakni pembagian antara amplitudo konstanta pasang surut harian utama dengan amplitudo konstanta pasang surut ganda utama. Hasil perhitungan bilangan *Formzahl* ini akan diketahui tipe pasang surut pada suatu perairan. Perhitungan tipe pasang surut menggunakan persamaan *Formzahl* sebagai berikut:

$$F = \frac{A(K1)+A(O1)}{A(M2)+A(S2)} \dots \dots \dots (42)$$

Dengan:

F = Bilangan *Formzahl*

O1 = Amplitudo komponen pasut tunggal

K1 = Amplitudo komponen pasut tunggal utama yang disebabkan gaya tarik surya

M2 = Amplitudo komponen pasut ganda utama yang disebabkan gaya tarik bulan

S2 = Amplitudo komponen pasut ganda utama yang disebabkan gaya tarik surya

Dengan demikian klasifikasi pasang surut sebagai berikut:

Pasang surut harian tunggal jika $F > 3$

Pasang surut harian ganda jika $F < 0,25$

Pasang surut campuran (ganda dominan) jika $0,25 < F < 1,5$

Pasang surut campuran (tunggal dominan) jika $1,5 < F < 3$

3. Elevasi Muka Air Laut Rencana

Elevasi muka air rencana diperlukan untuk pengembangan dan pengelolaan daerah pantai. Mengingat elevasi muka air laut selalu berubah setiap saat, maka diperlukan suatu elevasi yang ditetapkan berdasarkan data pasang surut. beberapa elevasi tersebut adalah sebagai berikut:

1. *Mean Sea Level* (MSL) adalah muka air laut rata-rata pada suatu periode pengamatan yang panjang.
2. *Mean Tide Level* (MTL) adalah rata-rata antara air tinggi dan air rendah pada suatu periode waktu.
3. *Mean High Water* (MHW) adalah tinggi air rata-rata pada semua pasang naik tinggi.

4. *Mean Low Water (MLW)* adalah tinggi air rata-rata pada semua pasang-turun rendah.
5. *Mean Higher High Water (MHHW)* adalah tinggi rata-rata pasang naik tertinggi dari dua air tinggi harian pada suatu periode waktu yang panjang. Jika hanya satu air tinggi terjadi pada satu hari, maka air tinggi tersebut diambil sebagai air tinggi tertinggi.
6. *Mean Lower High Water (MLHW)* adalah tinggi rata-rata air terendah dari dua air tinggi harian pada suatu periode waktu yang panjang.
7. *Mean Higher Low Water (MHLW)* adalah tinggi rata-rata air tertinggi dari dua air rendah harian pada suatu periode waktu yang panjang.
8. *Mean Lower Low Water (MLLW)* adalah tinggi rata-rata air terendah dari dua air rendah harian pada suatu periode waktu yang panjang. Jika hanya satu air rendah terjadi pada satu hari, maka air rendah tersebut diambil sebagai air rendah terendah.
9. *Mean High Water Springs (MHW_S)* adalah tinggi rata-rata dari dua air tinggi berturut-turut selama periode pasang purnama, yaitu jika tunggang (*range*) pasang laut itu tertinggi.
10. *Mean Low Water Springs (MLW_S)* adalah tinggi rata-rata yang diperoleh dari dua air rendah berturut-turut selama periode pasang purnama.
11. *Mean High Water Neaps (MHW_N)* adalah tinggi rata-rata dari dua air tinggi berturut-turut selama periode pasang surut perbani (*neap tides*) yaitu jika tunggang (*range*) pasang laut paling kecil.

12. *Mean Low Water Neaps* (MLWN) adalah tinggi rata-rata yang dihitung dari dua air berturut-turut selama periode pasang laut perbani.

13. *Highest Astronomical Tide* (HAT) atau *Lowest Astronomical Tide* (LAT) adalah permukaan laut tertinggi/terendah yang dapat diramalkan terjadi di bawah pengaruh keadaan meteorologis rata-rata dan kombinasi keadaan astronomi.

Elevasi muka air rencana dapat ditentukan menggunakan komponen-komponen pasang-surut yang didapat dari perhitungan analisa pasang surut dengan metode admiralty di atas, berikut penentuan elevasi muka air rencana:

$$\text{MSL} = S_0 \quad (43)$$

$$\text{ATT} = S_0 + (AM_2 + AS_2 + AK_1 + AO_1) \quad (44)$$

$$\text{LAT} = \text{MSL} - (AK_1 + AO_1 + AS_2 + AM_2) \quad (45)$$

$$\text{HAT} = \text{LAT} + 2(AK_1 + AO_1 + AS_2 + AM_2) \quad (46)$$

$$\text{MHHWS} = \text{LAT} + 2(AK_1) + AO_1 + AS_2 + AM_2 \quad (47)$$

$$\text{MHHWN} = \text{LAT} + 2(AK_1) + AS_2 + AM_2 \quad (48)$$

$$\text{MLLWN} = \text{LAT} + 2(AO_1) + AS_2 + AM_2 \quad (49)$$

$$\text{MLLWS} = \text{LAT} + AS_2 + AM_2 \quad (50)$$

$$Z_0 = S_0 - (AM_2 + AS_2 + AK_1 + AO_1) \quad (51)$$

$$\text{CD} = \text{MSL} - Z_0 \quad (52)$$

b. Kenaikan Muka Air Karena Gelombang (*Wave Set-Up*)

Gelombang yang datang dari laut menuju pantai menyebabkan *fluktuasi* muka air di daerah pantai terhadap muka air diam. Pada waktu gelombang pecah akan terjadi penurunan elevasi muka air rerata terhadap elevasi muka air diam di sekitar gelombang pecah. Kemudian dari titik dimana gelombang pecah permukaan air

rerata miring ke atas ke arah pantai, turunnya muka air disebut *wave set-down*, sedangkan naiknya muka air disebut *wave set-up*.

Gelombang yang datang dari laut menuju pantai menyebabkan *fluktuasi* muka air di daerah pantai terhadap muka air diam. Pada waktu gelombang pecah akan terjadi penurunan elevasi muka air rerata terhadap elevasi muka air diam di sekitar gelombang pecah. Kemudian dari titik dimana gelombang pecah permukaan air rerata miring ke atas ke arah pantai, turunnya muka air disebut *wave set-down*, sedangkan naiknya muka air disebut *wave set-up*.

H_o : Tinggi gelombang laut dalam elevasi (m)

d_b : Kedalaman gelombang pecah (m)

g : Percepatan gravitasi ($9,81 \text{ m/s}^2$)

Wave set-up di pantai diberikan oleh bentuk persamaan berikut (Bambang Triatmodjo, 1999):

$$S_w = \Delta S - S_d \quad (53)$$

Longuet-Higgins dan Stewart melakukan analisis data hasil percobaan yang dilakukan oleh Savilla (1961, dalam SPM, 1984) dan hasilnya adalah $\Delta S = 0,15 d_b$.

Dengan menganggap bahwa $d_b = 1,28 H_b$ maka :

$$\Delta S = 0,15 d_b \quad (54)$$

Substitusi persamaan (2.34) dan (2.35) ke dalam persamaan (2.36) didapat :

$$S_w = 0,19 \left[1 - 2,82 \sqrt{\frac{H_b}{gT^2}} \right] H_b \quad (55)$$

e. Kenaikan Muka Air Karena Angin (*Wind Set-Up*)

Angin dengan kecepatan besar (badai) yang terjadi di atas permukaan laut bias membangkitkan *fluktuasi* muka air laut yang besar di sepanjang pantai jika

badai tersebut cukup kuat dan daerah pantai dangkal dan luas. Penentuan elevasi muka air rencana selama terjadinya badai adalah sangat kompleks yang melibatkan interaksi antara angin dan air, perbedaan tekanan atmosfer selalu berkaitan dengan perubahan arah dan kecepatan angin dan angin tersebut yang menyebabkan *fluktuasi* muka air laut. Kenaikan elevasi muka air karena badai dapat dihitung dengan persamaan berikut (Bambang Triatmodjo, 1999):

$$\Delta h = \frac{F l}{2} \quad (56)$$

$$\Delta h = F c \frac{V^2}{2 g d} \quad (57)$$

Dengan:

Δh : Kenaikan elevasi muka air karena angin (m)

F : Panjang fetch (m)

l : Kemiringan muka air

c : Konstanta = $3,5 \times 10^{-4}$

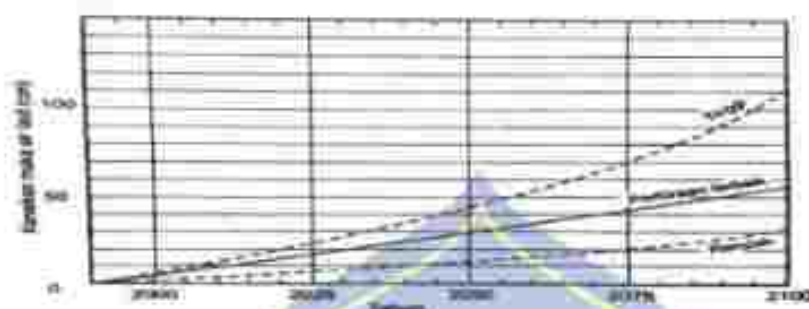
V : Kecepatan angin (m/d)

d : Kedalaman air (m)

g : Percepatan gravitasi ($9,81 \text{ m/dt}^2$)

d. Pemanasan Global

Menurut Bambang Triatmodjo, 1999 mengemukakan bahwa efek rumah kaca menyebabkan bumi panas sehingga dapat dihuni kehidupan. Disebut efek rumah kaca karena kemiripannya dengan apa yang terjadi dalam sebuah rumah kaca ketika matahari bersinar. Sinar matahari yang masuk melalui atap dan dinding kaca menghangatkan ruangan didalamnya sehingga suhu menjadi lebih tinggi daripada diluar.



Gambar 11. Prakiraan kenaikan muka air laut akibat pemanasan global (Sumber: Bambang Triatmodjo, 1999)

G. Elevasi Muka Air Laut Rencana

Elevasi muka air laut rencana merupakan parameter sangat penting di dalam perencanaan bangunan pantai (Bambang Triatmodjo, 1999). Elevasi tersebut merupakan penjumlahan dari beberapa parameter yang telah dijelaskan di depan yaitu pasang surut, *run-up*, *wave setup*, *wind setup*, dan kenaikan muka air karena pemanasan global.

$$DWL = \text{Pasang surut} + S_w + \Delta h + \text{Pemanasan global} \dots (58)$$

Dengan :

DWL : Elevasi muka air laut rencana

S_w : Kenaikan muka air akibat gelombang

Δh : Kenaikan muka air akibat angin



Gambar 12. Elevasi muka air laut rencana (Sumber : Bambang Triatmodjo, 1999)

H. Bangunan Pantai Sisi Miring

Struktur bangunan sisi miring dari tumpukan batu banyak digunakan sebagai bangunan pantai seperti pemecah gelombang, *Groin, Jetty, sea wall*. Dasar perencanaan bangunan tipe ini adalah sebagai berikut (Bambang Triatmodjo, 1999):

1. Menentukan tinggi gelombang yang terjadi di lokasi bangunan
2. Menentukan dimensi bangunan
3. Menentukan berat unit lapis lindung (*armor unit*)
4. Menentukan berat unit pelindung tumit (*toe protection*)

Bangunan sisi miring mempunyai sifat fleksibel. Kerusakan yang terjadi karena serangan gelombang tidak secara tiba-tiba (tidak fatal). Meskipun beberapa butir batu longsor, tetapi bangunan masih bisa berfungsi. Kerusakan yang terjadi mudah diperbaiki dengan menambah batu pelindung pada bagian yang longsor.

1. Bahan Lapis Pengaman Pantai

Bahan lapis lindung harus memenuhi persyaratan sebagai berikut :

1. Bahan lapis lindung harus tahan terhadap keadaan lingkungan
2. Bahan lapis lindung (batu alam/buatan) harus mempunyai berat jenis yang cukup besar
3. Bahan lapis lindung haruslah cukup kasar sehingga mampu menahan gaya-gaya yang disebabkan oleh gelombang
4. Bahan lapis lindung haruslah yang relatif murah

2. Stabilitas Batu Lapis Lindung

Di dalam perencanaan struktur pelindung pantai sisi miring, ditentukan berat butir batu pelindung, yang dapat dihitung dengan menggunakan rumus Hudson dibawah ini :

$$S_r = \frac{y_r}{y_a} \quad (59)$$

$$W = \frac{y_r H^3}{K_D (S_r - 1)^2 \cot^2 \theta} \quad (60)$$

$$D = \left(\frac{W}{y_r} \right)^{1/3} \quad (61)$$

Dengan:

W : Berat butir butiran pelindung

y_r : Berat jenis batu

y_a : Berat jenis air laut (1,025 - 1,23 ton/m³)

H : Tinggi gelombang rencana

θ : Sudut kemiringan sisi pemecah gelombang

K_D : Koefisien stabilitas yang tergantung pada bentuk batu pelindung (batu alam atau buatan), kekasaran permukaan batu, ketajaman sisi-sisinya, ikatan antara butir, dan kondisi gelombang. Nilai K_D untuk berbagai bentuk batu pelindung diberikan dalam tabel 2.3

D : diameter batu

Tabel 3. Koefisien stabilitas K_D untuk berbagai jenis butir

| Lapis Lindung | n | Penempatan | Lengan Bangunan K_D | | Ujung Kepala K_D | | Kemiringan Cot θ |
|---------------|---|------------|-----------------------|-----------------------|--------------------|-----------------------|--------------------------------|
| | | | Gelombang Pecah | Gelombang Tidak Pecah | Gelombang Pecah | Gelombang Tidak Pecah | |
| Batu Pecah | 2 | Acak | 1,2 | 2,4 | 1,1 | 1,9 | 1,5 - 3,0 |

| | | | | | | | |
|-------------------------------|----|---------|------|------|-----|------|-----|
| Bulat Halus | >3 | Acak | 1,6 | 3,2 | 1,4 | 2,3 | 2 |
| Bersudut Kasar | 1 | Acak | 1 | 2,9 | 1 | 2,3 | 2 |
| Bersudut Kasar | 2 | Acak | 2 | 4 | 1,9 | 3,2 | 1,5 |
| Bersudut Kasar | >3 | Acak | 2,2 | 4,5 | 1,6 | 2,8 | 2 |
| Bersudut Kasar | 2 | Khusus | 3,4 | 7 | 1,3 | 2,3 | 2 |
| Paralelepipedum | 2 | Khusus | 7,0 | 8,5 | 2,1 | 4,2 | 3 |
| Tetrapod dan Quadripod | 2 | Acak | 20,0 | 24,0 | 5,3 | 6,4 | 2 |
| Tribar | 2 | Acak | 9 | 10 | - | - | - |
| Geotextile Geobag | 2 | Acak | 5,0 | 4,5 | 4,5 | 5,5 | 2,0 |
| Dolos | 2 | Acak | 15,8 | 31,8 | 3,0 | 4,0 | 3,0 |
| Kubus dimodifikasi | 2 | Acak | 6,5 | 7,5 | 8,3 | 9,0 | 1,5 |
| Hexapod | 2 | Acak | 8,0 | 9,5 | 7,8 | 8,5 | 2,0 |
| Tribar | 1 | Seragam | 12,0 | 15 | 6,0 | 6,5 | 3,0 |
| Batu pecah (K ₂₀) | - | Acak | 2,2 | 2,5 | 4,3 | 5,0 | 1,5 |
| | | | | | 3,8 | 5,2 | 2,0 |
| | | | | | 2,7 | 4,6 | 3,0 |
| | | | | | 8,0 | 16,0 | 2,0 |
| | | | | | 7,0 | 14,0 | 3,0 |
| | | | | | - | 5 | 2,0 |
| | | | | | 5,0 | 7 | 2,0 |
| | | | | | 7,5 | 9,5 | 2,0 |
| | | | | | - | - | - |

(Sumber : Bambang Triatmodjo, 1999)

Tabel 4. Koefisien lapis K_Δ untuk berbagai jenis butir

| Batu Pelindung | N | Penempatan | Koef. Lapis (K _Δ) | Porositas P (%) |
|-------------------|----|---------------|-------------------------------|-----------------|
| Batu alam (halus) | 2 | Random (acak) | 1,02 | 38 |
| Batu alam (kasar) | 2 | Random (acak) | 1,15 | 37 |
| Batu alam (kasar) | >3 | Random (acak) | 1,10 | 40 |
| Kubus | 2 | Random (acak) | 1,10 | 47 |
| Tetrapod | 2 | Random (acak) | 1,04 | 50 |
| Quadripod | 2 | Random (acak) | 0,95 | 49 |
| Hexapod | 2 | Random (acak) | 1,15 | 47 |
| Tribar | 2 | Random (acak) | 1,02 | 54 |
| Dolos | 2 | Random (acak) | 1,00 | 63 |
| Tribar | 1 | Seragam | 1,13 | 47 |
| Batu alam | | Random (acak) | | 37 |

(Sumber : Bambang Triatmodjo, 1999)

3. Tebal dan Jumlah Batu Lapis Pengaman

Menurut Bambang Triatmodjo, 1999, tebal lapis pengaman dan jumlah butir batu tiap satuan luasan digunakan rumus sebagai berikut :

$$T = n K \Delta \left(\frac{w}{\gamma_r} \right)^{\frac{1}{3}} \dots \dots \dots (62)$$

$$N = A n K \Delta \left(1 - \frac{p}{100} \right) \left(\frac{w}{\gamma_r} \right)^{\frac{4}{3}} \dots \dots \dots (63)$$

Dengan :

T : Tebal lapis pelindung

n : Jumlah lapis butir dalam lapis pelindung (n=2)

K_s : Koefisien lapis

W : Berat butir batu pelindung

γ_r : Berat jenis batu ($\gamma_r/n/m^3$)

N : Jumlah butir batu untuk satu satuan luas permukaan A

P : Porositas rerata dari lapis pelindung (%) yang dapat dilihat pada Tabel 2.4

A : Luas permukaan

4. Tinggi Bangunan Sea wall

Elevasi puncak bangunan pengaman pantai dihitung dengan persamaan:

$$El_{\text{sea wall}} = \text{DWL} + Ru + \text{Tinggi Jagaan} \dots \dots \dots (64)$$

Dengan :

DWL : Tinggi muka air rencana (m)

Ru : *Run-up* gelombang (m)

Tinggi jagaan : 0,5 m - 1,5 m

5. Lebar Puncak Bangunan Pengaman

Lebar puncak tergantung limpasan yang diijinkan. Pada kondisi limpasan yang diijinkan, lebar puncak minimum adalah sama dengan lebar 3 butir batu yang disusun berdampingan ($n = 3$). Untuk bangunan tanpa terjadi limpasan, lebar puncak bisa lebih kecil. Lebar puncak dapat dihitung dengan rumus : (Bambang Triatmodjo, 1999) :

$$B = n K \Delta \left(\frac{W}{\gamma_r} \right)^{\frac{1}{3}} \quad (65)$$

Dengan :

B : Lebar puncak bangunan (m)

n : Jumlah butir bat

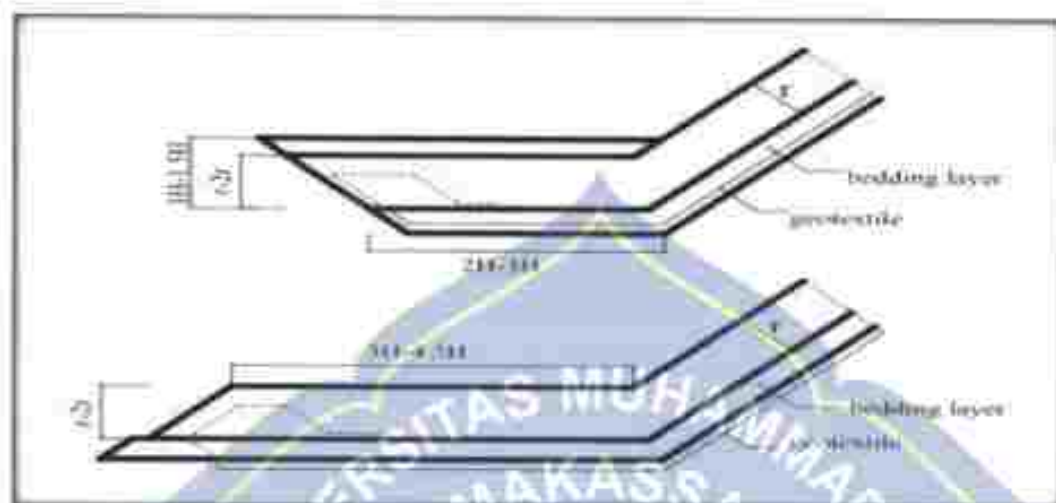
$K\Delta$: Koefisien lapis

W : Berat butir batu pelindung (ton)

γ_r : Berat jenis batu (ton/m³)

I. Kontrol Stabilitas Pengaman Kaki (Toe Protection)

Gelombang dan arus yang menyerang bangunan pengaman pantai dapat menyebabkan terjadinya erosi pada tanah fondasi di depan kaki bangunan. Untuk itu perlu diberikan perlindungan pada bagian tersebut. Untuk menghitung tebal pengaman kaki (*toe protection*) dapat menggunakan rumus $r - 2r$ dan untuk menghitung lebar pengaman kaki (*toe protection*) dapat dihitung dengan rumus $2H - 3H$.



Gambar 13. Pelindung kaki bangunan (Sumber : Bambang Triatmodjo, 1999)

Angka stabilitas (Ns^3) untuk pondasi dan pelindung kaki (*toe protection*) akan mempengaruhi hasil dari berat butir batu untuk pondasi dan pelindung kaki (*toe protection*) nantinya. Semakin besar nilai $\frac{d_1}{d_2}$ maka akan memberi nilai angka stabilitas (Ns^3) semakin besar. Berat butir batu untuk pondasi dan pelindung kaki (*toe protection*) dihitung dengan rumus berikut : (Bambang Triatmodjo, 1999)

$$d_1 = d_2 - t_{\text{toe}} \quad (66)$$

$$W = \frac{\gamma_r H^3}{Ns^3 (Sr - 1)^3} \quad (67)$$

Dengan :

d_1 : Jarak pelindung kaki dengan muka air

d_2 : Kedalaman air di kaki bangunan

W : Berat rerata butir batu (ton)

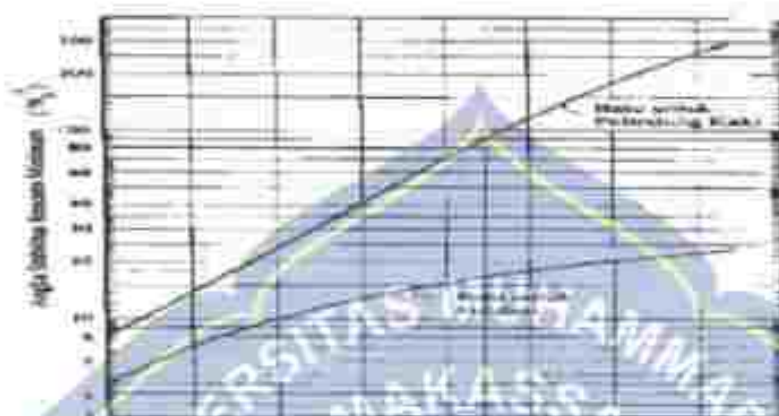
γ_r : Berat jenis batu (ton/m^3)

γ_a : Berat jenis air laut ($1.025 - 1.23 \text{ ton}/\text{m}^3$)

Sr : Perbandingan antara berat jenis batu dan berat jenis air

Ns^3 : Angka stabilitas rencana minimum

$r_p : 4,0 - 9,25 \text{ m}$



Gambar 14. Grafik angka stabilitas titik fondasi dan pelindung kaki (Sumber: Barubang Triatmodjo, 1999)

J. Bangunan Pelindung Pantai

Erosi pantai merupakan salah satu permasalahan di kawasan tepi pantai yang harus cukup menonjol untuk diperhatikan, baik dari pemerintah pusat, pemerintah daerah, maupun individu yang tinggal di daerah tepi pantai dan sekitarnya. Sebab, erosi dapat menimbulkan bencana yang luar biasa seperti merusak lokasi-lokasi lokal dan fasilitas yang ada di kawasan depan pantai.

Untuk menangani erosi pantai, langkah awal yang harus dilakukan adalah menelusuri unsur-unsur penyebab erosi. Dengan mengetahui unsur-unsur penyebab, maka pada saat itu kita dapat memutuskan bagaimana cara mengatasinya, penanganan yang biasa dilakukan adalah dengan membuat struktur bangunan pelindung tepi laut atau berpotensi memperluas stok residu dan melakukan administrasi tepi pantai yang terkoordinasi.

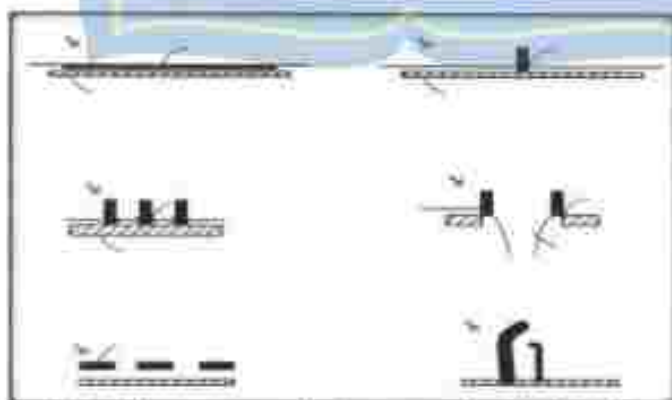
Menurut (Putra & Dkk, 2017) Ada beberapa cara yang dapat dilakukan untuk melindungi pantai, yaitu: Struktur pantai yang dibuat dapat digunakan untuk melindungi sisi laut dari dampak kerusakan gelombang dan arus serta untuk

berbagai tujuan, misalnya, fasilitas untuk menarik wisatawan, terutama untuk daerah tepi laut wisata. Ada beberapa cara yang mungkin dilakukan untuk menjaga sisi laut, khususnya:

- Memperkuat/merjaga permukaan air sisi laut agar mampu menahan serangan ombak.
- Mengubah kecepatan transportasi sedimen pantai.
- Mengurangi energi gelombang yang sampai ke pantai.
- Beach nourishment dengan memperbanyak stok sedimen ke pantai.
- Melakukan penglijauan (reboisasi) kawasan pantai.

Dilihat dari kapasitasnya, struktur tepi laut umumnya dapat dikelompokkan menjadi tiga kelompok, yaitu:

- Pembangunan berbasis pantai dan sejajar dengan garis pantai.
- Pembangunan yang dibangun kira-kira tegak lurus dan berhubungan dengan pantai.
- pembangunan yang dikerjakan di lepas pantai dan sejajar dengan garis pantai.



Gambar 15. Klasifikasi bangunan pelindung pantai (Sumber : Putra & Dkk, 2017)

Berikut adalah jenis-jenis bangunan pelindung pantai:

1. Bangunan *revetment*.

Bangunan *revetment* (perkuatan lereng) merupakan merupakan bangunan yang ditempatkan pada suatu lereng yang berada dilepas pantai dan berfungsi untuk melindungi tebing yang berada pada pantai atau permukaan lereng dan secara keseluruhan berperan untuk meningkatkan stabilitas alur pantai atau tubuh tanggul yang dilindungi. Secara khusus, dinding pantai atau *revetment* juga dapat diartikan sebagai bangunan pemisah antara daratan dan perairan pantai, yang berfungsi untuk melindungi pantai terhadap erosi dan limpasan gelombang (*overtopping*) ke darat.



Gambar 16. Contoh bangunan *revetment* pada pantai (Sumber: Subriano, 2010)

2. Tembok laut (Seawall)

Seawall merupakan tembok besar yang dibangun disepanjang pesisir pantai dengan tujuan untuk menahan gelombang dalam skala besar yang tidak dapat direndam oleh *breakwater*. Seawall berfungsi untuk menahan laju gelombang datang menuju pantai yang dapat menimbulkan suatu kerusakan baik itu berupa abrasi maupun kerusakan yang lain. Jika gelombang datang dalam frekuensi yang cukup besar maka kerusakan yang ditimbulkan besar pula (seperti gelombang tsunami), kerusakan inilah yang akan dikurangi gelombang.



Gambar 17. Contoh tembok laut (*carved seawall*) pada pantai (Sumber : Bastian, 2021)

3. Tanggul Laut (*Sea dike*)

Tanggul laut atau sebutan lainnya *levee* atau *sea dike* embankment, merupakan semacam pembatas miring baik buatan maupun alami, yang digunakan untuk mengatur muka air. Seperti yang dinyatakan oleh menteri pekerjaan umum No. 07/SE/M/2010 tentang pelaksanaan peraturan pembangunan bangunan pengaman pantai bahwa *sea dike* adalah desain peralihan tepi laut yang dipasang sejajar dengan garis pantai yang bertujuan untuk melindungi daerah pantai yang rendah dari genangan yang diakibatkan oleh air pasang, gelombang dan badai.



Gambar 18. Contoh tanggul laut (*sea dike*) pada pantai (Sumber : BPSDM, 2018)

4. Dinding penahan tanah (*Bulkheads*)

Bulkheads merupakan bangunan pelindung pantai yang berupa sebuah tembok vertikal dan berfungsi sebagai pencegah limpasan, banjir, atau erosi tanah. *Bulkheads* biasanya dapat dibangun pada daerah pantai yang rentan terkikis. *Bulkheads* biasanya terbuat dari kayu, baja, atau lembaran vinly.



Gambar 19. Contoh *Breakwater* pada pantai (Sumber : Agni, 2016)

5. *Groin*

Bangunan ini mengontrol laju pengangkutan sedimen di sepanjang garis pantai, sehingga dapat mengurangi/menghentikan diintegrasikan yang terjadi dan selanjutnya membatasi laju pengangkutan residu di sepanjang pantai ke selubuhan atau muara jalur air. Seperti yang ditunjukkan oleh materi pekerjaan umum No. 7/SE/M/2010 tentang Pelaksanaan Aturan Pembangunan Bangunan Pelindung Pantai menjelaskan bahwa Selangkangan adalah bangunan keamanan tepi laut yang menjorok ke arah laut dan berlawanan dengan garis pantai. Tujuan bangunan *Groin* (krib) adalah:

- mengarahkan arus laut sehingga ketika terjadi banjir, air dapat mengalir dengan cepat dan aman,
- Mengatur kecepatan arus laut yang memungkinkan terjadinya pengendapan sedimen yang terjadi di sepanjang bibir pantai,
- Mengarahkan arus ke tengah alur laut agar tebing-tebing di sekitar pantai tidak mengalami pengikisan,
- mengkoordinasikan arus laut sehingga dapat memudahkan pelayaran.



Gambar 20. Contoh *Groin* pada pantai (Sumber : BPSDM, 2018)

6. *Jetty*

Jetty adalah bangunan yang dibuat tetap lurus pada daerah pantai yang biasanya diletakkan pada kedua sisi muara sungai dan berfungsi untuk mengurangi pendangkalan alur sedimen yang terjadi pada daerah pantai. Menurut Surat Edaran Menteri Pekerjaan Umum No 07/SEM/2010 tentang pemberlakuan pedoman pelaksanaan konstruksi bangunan pelindung pantai dijelaskan bahwa *Jetty* adalah sebuah bangunan yang menjorok ke arah laut yang berfungsi untuk mengendalikan penutupan muara sungai atau saluran oleh sedimen.



Gambar 21. Contoh *Jetty* pada pantai (Sumber : BPSDM, 2018)

7. Pemecah Gelombang (*Breakwater*)

Pemecah gelombang atau *breakwater* adalah bangunan struktur pantai yang digunakan untuk mengantisipasi dan mengendalikan abrasi (Andi Makbul Syamsuri 2018).

Adapun fungsi dari bangunan pemecah gelombang sebagai berikut:

- a. Berfungsi sebagai pelindung pada perairan yang berada di pelabuhan yang berada tepat di belakangnya sehingga terbebas dari hantaman gelombang
- b. Gelombang yang merambat jika mengenai suatu bangunan peredam gelombang maka sebagian energinya akan dipantulkan dipantulkan kembali (refleksi).
- c. Pembagian besarnya energi gelombang yang dipantulkan, kemudian dihancurkan dan akan diteruskan tergantung pada karakteristik gelombang datang (periode, tinggi, kedalaman air).
- d. Berkurangnya energi gelombang pada daerah terlindung dan dapat mengurangi pengiraman sedimen di daerah tersebut.



Gambar 22. Contoh *breakwater* pada pantai (Sira ber - BPSDM, 2018)

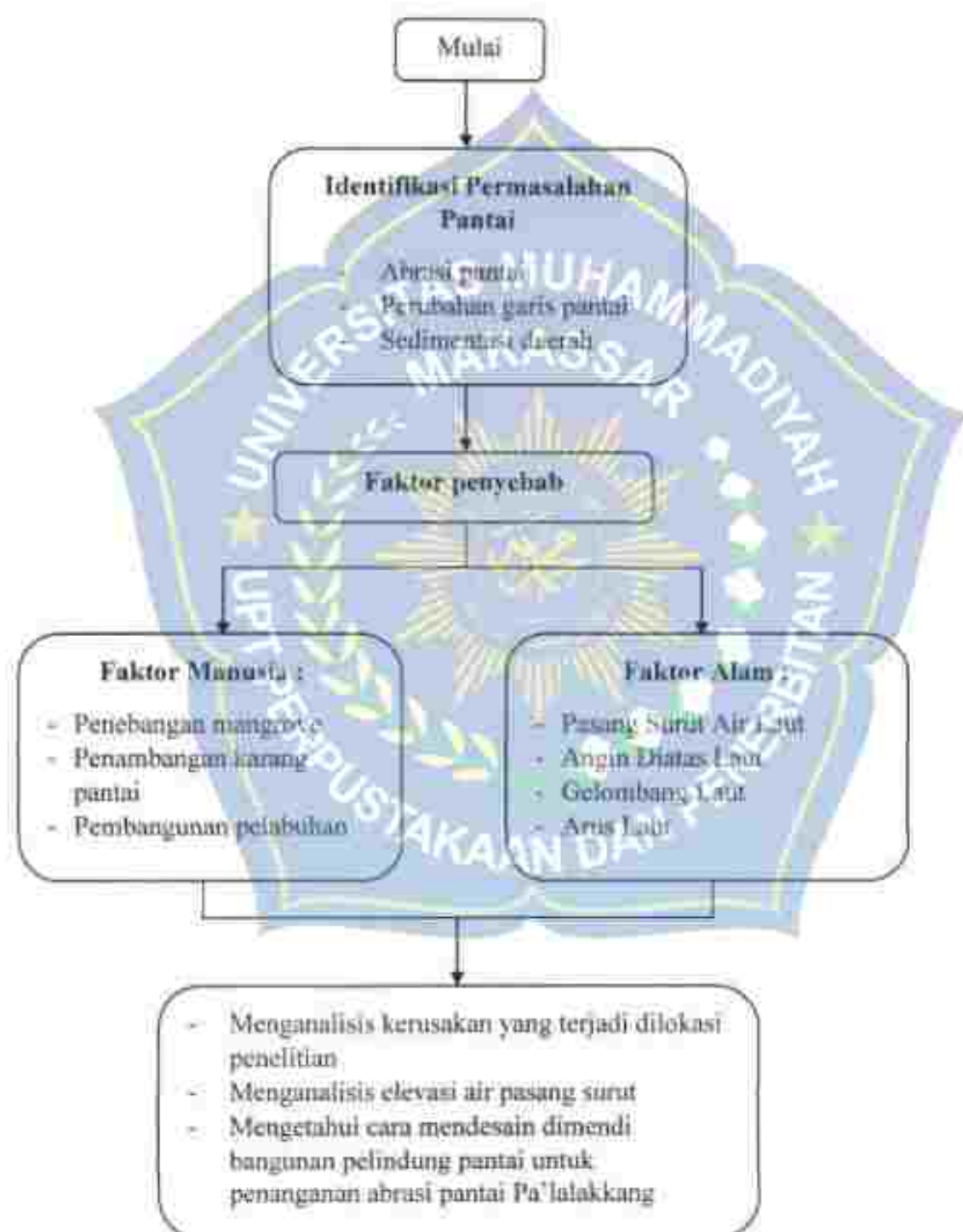
K. Penelitian Terdahulu

Adapun penelitian serupa dengan penelitian kami yaitu penelitian oleh Muzani, Haque, Pranoto, & Nugroho, 2016 dengan judul penelitian pengamanan pantai widuri kab. Pematang, penelitian ini menggunakan metode yang bersifat teoritis dan lapangan. Hasil penelitian ini diperoleh bahwa alternatif yang dipilih untuk perlindungan pantai widuri adalah kombinasi struktur *breakwater* dan *revetment*.

Penelitian selanjutnya oleh Putra & Dkk, 2017 dengan judul perencanaan bangunan pengaman pantai (*revetment*) dengan bahan geobag dipantai maceti kab.gianyar dengan menggunakan metode penelitian kajian bersifat teoritis dan lapangan. Hasil dari penelitian ini di dapatkan tinggi bangunan *revetment* adalah 3,13 m dengan lebar puncak 1,12 m dan tebal lapis dinding pengaman *revetment* adalah 1,12 m.

Penelitian selanjutnya oleh (Tommy Jansen & Danda, 2017) dengan judul perencanaan bangunan pengaman pantai pada daerah pantai kima bajo kabupaten minahasa utara, penelitian ini menggunakan metode yang bersifat teoritis dan lapangan. Hasil dari penelitian ini di dapatkan perencanaan bangunan pengaman pantai berupa *Groin* dipantai kima bajo.

L. Kerangka Pikir



Gambar 23. Bagan Kerangka Pikir

BAB III METODE PENELITIAN

A. Waktu dan Tempat Pengambilan data

Pengambilan data pada penelitian ini akan dilaksanakan pada daerah Pantai Pa'lalakkang Kecamatan Galesong Utara Kabupaten Takalar yang terletak diantara $5^{\circ}18'14,18''$ LS dan $119^{\circ}22'5,63''$ BT, berjarak sekitar 24 km dari pusat kota Makassar Sulawesi Selatan.



Gambar 24 Lokasi pengambilan Penelitian Sumber: (Google Earth)

B. Jenis Penelitian Dan Sumber Data

1. Jenis Penelitian

Pada penelitian ini jenis penelitian yang digunakan adalah analisis kuantitatif karena menggunakan data primer dan data sekunder yang bersifat kuantitatif yang bergantung pada kemampuan untuk menghitung data secara akurat. Penelitian kuantitatif adalah suatu proses menemukan pengetahuan yang menggunakan data berupa angka sebagai alat untuk menganalisis keterkaitan mengenai apa yang diketahui. Di samping itu data yang digunakan pada penelitian ini diperoleh dari instansi terkait.

2. Sumber Data

Adapun data-data yang digunakan dalam penelitian ini diantaranya sebagai berikut:

a. Data Primer yang diperoleh langsung dari lokasi penelitian seperti :

- Data pasang surut

b. Data sekunder diperoleh melalui pihak yang telah mengumpulkan data tersebut sebelumnya, data tersebut meliputi:

- Data Angin

Data angin diperoleh dari Stasiun Maritim Badan Meteorologi dan Geofisika (BMKG) Duorene Makassar.

- Data *Bathimetri*

Data *bathimetri* diperoleh dari Batris dan Badan Informasi Geospasial

C. Variabel Penelitian

Variabel adalah suatu sifat objek, individu atau kegiatan yang mempunyai banyak variasi tertentu dan lainnya yang telah ditentukan oleh penelitian untuk dipelajari dan mencari informasi serta ditarik kesimpulannya.

Variabel adalah suatu kualitas dimana penelitian seorang peneliti mempelajari dan menarik sebuah kesimpulan dari proses penelitian yang dilakukan. (Kidder 1981) variabel penelitian dapat berupa apapun juga yang variasinya perlu kita perhatikan agar dapat mengambil kesimpulan mengenai fenomena yang terjadi.

1. Variabel Penelitian

Variabel-variabel yang digunakan dalam penelitian ini adalah data angin, data pasang surut, dan data karakteristik gelombang.

2. Definisi Operasional Variabel

Berdasarkan variabel di atas maka gambarnya mengenai definisi operasional variabel dalam penelitian ini yaitu:

- Data teknis merupakan data-data yang dibutuhkan dalam perencanaan bangunan pantai yang meliputi data-data perencanaan bangunan Pantai Palalakkang.

D. Alat Yang Digunakan

Alat yang digunakan pada penelitian ini adalah sebagai berikut:

1. Rambu ukur : digunakan untuk mengukur tinggi rendahnya pasang surut.
2. Alat tulis : digunakan untuk pencatatan data mentah dilapangan.
3. Total Station (TS) : digunakan untuk mengukur elevasi pada garis pantai.
4. GPS : digunakan untuk menentukan titik koordinat di titik referensi (*benchmark*).
5. Prisma : digunakan untuk pengukuran sebagai reflektor dari alat ukur total satation.

E. Metode Pengumpulan Data

1. Data angin yang digunakan dalam penelitian ini adalah data angin dari Stasiun Maritim Badan Meteorologi dan Geofisika (BMKG) Paotere Makassar. Data angin dari BMKG ini merupakan data angin dalam rentang waktu 10 tahun (tahun 2012 dan tahun 2021) meliputi:

- a. Data kecepatan angin maksimum (m/s)
 - b. Data arah angin terbanyak (°)
 - c. Data arah angin saat kecepatan maksimum (°)
2. Untuk Data pasang surut yang digunakan pada penelitian ini digunakan sumber data primer / data lapangan. Adapun langkah-langkah pengambilan data pasang surut sebagai berikut:
- Menentukan titik BM (Benchmark) untuk melakukan pengukuran. Benchmark (BM) berfungsi sebagai titik utama dalam mereferensikan posisi objek yang akan diteliti, sebagai titik acuan yang penting dalam penelitian.
 - Melakukan pemasangan rambu ukur pada dermaga dengan cara mengikat rambu ukur pada salah satu tiang dermaga.
 - Melakukan pengukuran menggunakan alat total station (TS) untuk mengetahui elevasi dari titik referensi ke garis pantai dengan menggunakan alat prisma sebagai titik bantu.
 - Melakukan pengukuran untuk mengetahui elevasi pasang surut dari titik bantu ke rambu ukur.
 - Pembacaan rambu ukur dilakukan pada pukul 10.00 wita dengan durasi 24 jam dalam interval 1 jam pengamatan.
3. Data peta *Bathimetri* diperoleh dari *bathimetri* nasional dan Badan Informasi Geospasial.

F. Teknik Analisa Data

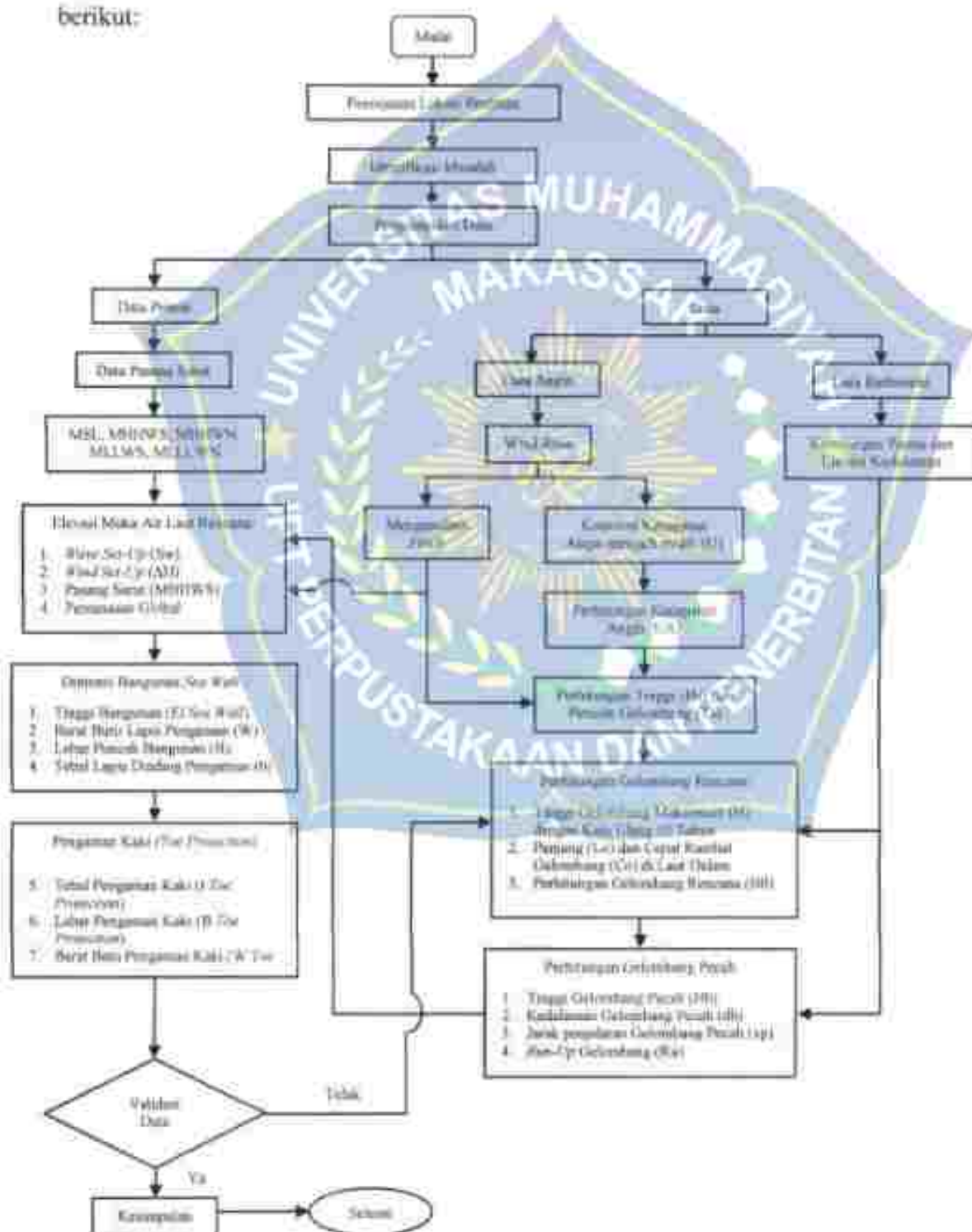
Tahap ini membahas analisa terhadap data-data yang digunakan dalam penelitian. Adapun tahapannya yaitu:

1. Pembuatan mawar angin (wind rose)
2. Penentuan *fetch* efektif
3. Pembangkitan gelombang oleh angin
4. Analisis gelombang
 - a. Perhitungan tinggi dan periode gelombang laut signifikan
 - b. Peramalan dan penentuan tinggi gelombang maksimum
 - c. Perhitungan cepat rambat gelombang di laut dalam
 - d. penentuan tinggi gelombang rencana dan gelombang pecah
5. *Fluktuasi* muka air laut
 - a. Perhitungan pasang surut
 - b. Perhitungan kenaikan muka air akibat gelombang
 - c. Perhitungan muka air akibat angin
 - d. Efek dari pemanasan global
6. Perhitungan elevasi bangunan pelindung pantai
 - a. Perhitungan berat batu lapis lindung
 - b. Perhitungan lebar puncak dan tebal lapisan pelindung
 - c. Perhitungan elevasi puncak

G. Bagan Alur Penelitian

Fase-fase penelitian yang dilakukan adalah sesuai dengan bagan alur gambar

berikut:



Gambar 25. Bagan Penelitian

BAB IV PEMBAHASAN DAN HASIL

A. Data Angin

Data Angin yang di gunakan dalam penelitian ini diperoleh dari Stasiun Meteorologi Maritim Paotere Makassar, dengan -5.11377 lintang selatan, 119.41983 bujur timur, serta ketinggian elevasi stasiun dari permukaan tanah adalah 5 m. Data yang diperoleh adalah data angin lima tahun terakhir yaitu tahun 2012 sampai 2021. Dari data hasil pengukuran selanjutnya dilakukan analisis jumlah angin yang datang di lokasi penelitian serta interval dari setiap arah mata angin.

Tabel 5. Interval kejadian angin berdasarkan arah datangnya di lokasi studi

| Arah Angin Saat Kecepatan Maksimum | Barat | Barat Daya | Barat Laut | Selatan | Timur | Tenggara | Timur Laut | Utara | Total |
|------------------------------------|-------|------------|------------|---------|-------|----------|------------|-------|-------|
| 0-4 | 626 | 283 | 335 | 26 | 33 | 28 | 57 | 78 | 1468 |
| 5-9 | 440 | 272 | 390 | 92 | 59 | 32 | 119 | 109 | 1467 |
| 10-14 | 52 | 16 | 40 | 31 | 6 | 16 | 7 | 5 | 153 |
| 15-19 | 3 | 1 | 11 | 3 | | | 1 | | 15 |
| 20-25 | | 1 | 3 | | | | | | 6 |
| >25 | | | 1 | | | | | | 1 |
| Total | 1140 | 555 | 780 | 132 | 98 | 76 | 183 | 186 | 3131 |

Sementara itu, persentasi kejadian menurut interval kecepatan di sajikan pada tabel 4.2.

Tabel 6. Persentasi kejadian angin rata-rata berdasarkan interval kecepatan

| Arah Angin Saat Kecepatan Maksimum | Barat | Barat Daya | Barat Laut | Selatan | Timur | Tenggara | Timur Laut | Utara | Total |
|------------------------------------|--------|------------|------------|---------|-------|----------|------------|-------|---------|
| 0-4 | 20,09% | 9,04% | 10,70% | 0,83% | 1,05% | 0,89% | 1,82% | 2,49% | 46,92% |
| 5-9 | 14,05% | 7,41% | 12,46% | 2,94% | 1,88% | 1,02% | 3,80% | 3,29% | 46,85% |
| 10-14 | 1,66% | 0,51% | 1,28% | 0,35% | 0,19% | 0,51% | 0,22% | 0,16% | 4,89% |
| 15-19 | 0,54% | 0,10% | 0,35% | 0,10% | 0,00% | 0,00% | 0,03% | 0,00% | 1,12% |
| 20-25 | 0,06% | 0,03% | 0,10% | 0,00% | 0,00% | 0,00% | 0,00% | 0,00% | 0,19% |
| >25 | 0,00% | 0,00% | 0,03% | 0,00% | 0,00% | 0,00% | 0,00% | 0,00% | 0,02% |
| Total | 36,41% | 17,09% | 24,91% | 4,22% | 3,13% | 2,43% | 5,88% | 5,94% | 100,00% |

Berdasarkan arah *fetch* gelombang arah mata angin yang berpotensi membangkitkan gelombang ada 4 yaitu Utara, barat laut, barat dan barat daya.

Selain penyajian data angin juga disajikan dalam bentuk mawar angin seperti pada gambar dibawah :



Gambar 26. Mawar angin dari tahun 2012 – 2021

Berdasarkan hasil analisis data diperoleh gambar *windrose* seperti gambar 26 diatas, yang terlihat angin dominan berasal dari arah barat dengan kecepatan dominan berada diantara 5 – 10 knots.

B. Fetch

Berdasarkan kondisi geografis lokasi penelitian, maka *fetch* dibatasi oleh bentuk daratan yang memiliki laut. Di daerah pembentukan gelombang, tidak hanya dibangkitkan pada arah yang sama dengan arah angin tetapi juga dalam berbagai sudut terhadap arah angin, sehingga arah angin yang berpotensi membangkitkan gelombang dilokasi penelitian adalah angin yang bertiup dari arah Utara, Barat,

Barat daya dan barat timur, sedangkan arah timur dan tenggara tidak diperhitungkan arah *fetch* efektifnya karena angin yang berhembus melewati daratan. Oleh sebab itu, dalam penentuan *fetch* efektif, hanya keempat arah tersebut yang diperhitungkan. Pada panjang *fetch* di titik pengamatan yang langsung berhadapan ke laut lepas (tidak ada rintangan terhadap angin) ditetapkan sampai sejauh 200 km. Adapun penentuan *fetch* pada lokasi studi disajikan pada gambar berikut.



Gambar 27. Angin yang berpotensi menimbulkan gelombang

Gambar dan Tabel perhitungan *fetch* untuk masing-masing arah peramalan gelombang laut yaitu arah Utara, Barat Laut, barat dan Barat daya adalah sebagai berikut:



Gambar 28. Panjang *Jeich* dari arah barat Daya, Barat dan Barat Laut

| |
|---|
| KONSERVASI SILIKULADIPYDA MAKASSAR FAKULTAS TEKNIK JURUSAN SIPIL, PERENCANAAN |
| Jl. UPT-DAVAKAR PERUM PERUM PERUMASI ST. 20 |
| |
| KETERANGAN UPTAR BAKET LALU BANGUN BAKET DAHA BILANGAN PERANGKALAN PERUM TAMBILAN |

Tabel 7. Perhitungan *fetch* efektif arah utara

| | α ($^{\circ}$) | $\cos \alpha$ | X_i (km) | $X_i \cos \alpha$ |
|-------|-------------------------|---------------|------------|-------------------|
| UTARA | 0 | 1,000 | 25,170 | 25,170 |
| | -5 | 0,996 | 26,000 | 25,901 |
| | -10 | 0,985 | 75,890 | 74,737 |
| | -15 | 0,966 | 200,000 | 193,185 |
| | -20 | 0,940 | 200,000 | 187,939 |
| | Total | 4,887 | | 506,932 |

Menghitung *fetch* rerata diberikan persamaan 8 seperti berikut:

$$F_{eff} = \frac{\sum X_i \cos \alpha}{\sum \cos \alpha} = \frac{506,932}{4,887} = 103,739 \text{ km}$$

$$= 103,739 \text{ m}$$

Untuk arah utara *fetch* efektif yang didapatkan adalah 103,739 km ~ 10379 m

Tabel 8. Perhitungan *fetch* efektif arah barat daya

| | α ($^{\circ}$) | $\cos \alpha$ | X_i (km) | $X_i \cos \alpha$ |
|---------------|-------------------------|---------------|------------|-------------------|
| BARAT DAYA | 20 | 0,940 | 1,460 | 1,372 |
| | 15 | 0,966 | 1,450 | 1,401 |
| | 10 | 0,985 | 1,440 | 1,418 |
| | 5 | 0,996 | 1,480 | 1,474 |
| | 0 | 1,000 | 1,920 | 1,920 |
| | -5 | 0,996 | 1,910 | 1,903 |
| | -10 | 0,985 | 1,940 | 1,911 |
| | -15 | 0,966 | 1,990 | 1,922 |
| | -20 | 0,940 | 15,880 | 14,922 |
| | Total | 8,773 | | 28,243 |

Menghitung *fetch* rerata diberikan persamaan 8 seperti berikut:

$$F_{eff} = \frac{\sum X_i \cos \alpha}{\sum \cos \alpha} = \frac{28,243}{8,773} = 3,219 \text{ km}$$

$$= 3,219 \text{ m}$$

Untuk arah barat daya *fetch* efektif yang didapatkan adalah 3,219 km ~ 3219 m

Tabel 9. Perhitungan *fetch* efektif arah Barat

| | α ($^{\circ}$) | $\cos \alpha$ | X_i (km) | $X_i \cos \alpha$ |
|-------|-------------------------|---------------|------------|-------------------|
| BARAT | 20 | 0,940 | 200,000 | 187,939 |
| | 15 | 0,966 | 200,000 | 193,185 |
| | 10 | 0,985 | 145,660 | 143,447 |
| | 5 | 0,996 | 147,480 | 146,919 |
| | 0 | 1,000 | 200,000 | 200,000 |
| | -5 | 0,996 | 200,000 | 199,239 |
| | -10 | 0,985 | 200,000 | 196,962 |
| | -15 | 0,966 | 74,690 | 72,145 |
| | -20 | 0,940 | 200,000 | 187,939 |
| | Total | 8,773 | | 1527,774 |

Menghitung *fetch* rerata diberikan persamaan 8 seperti berikut:

$$F_{eff} = \frac{\sum X_i \cos \alpha}{\sum \cos \alpha} = \frac{1527,774}{8,773} = 174,140 \text{ km}$$

$$= 174140 \text{ m}$$

Untuk arah barat *fetch* efektif yang didapatkan adalah 174,140 km ~ 174140 m

Tabel 10. Perhitungan *fetch* efektif arah Barat Laut

| | α ($^{\circ}$) | $\cos \alpha$ | X_i (km) | $X_i \cos \alpha$ |
|------------|-------------------------|---------------|------------|-------------------|
| BARAT LAUT | 20 | 0,940 | 200,000 | 187,939 |
| | 15 | 0,966 | 17,970 | 17,358 |
| | 10 | 0,985 | 200,000 | 196,962 |
| | 5 | 0,996 | 200,000 | 199,239 |
| | 0 | 1,000 | 200,000 | 200,000 |
| | -5 | 0,996 | 200,000 | 199,239 |
| | -10 | 0,985 | 200,000 | 196,962 |
| | -15 | 0,966 | 200,000 | 193,185 |
| | -20 | 0,940 | 200,000 | 187,939 |
| | Total | 8,773 | | 1578,821 |

Menghitung *fetch* rerata diberikan persamaan 8 seperti berikut:

$$F_{eff} = \frac{\sum X_i \cos \alpha}{\sum \cos \alpha} = \frac{1578,821}{8,773} = 179,959 \text{ km}$$

$$= 179959 \text{ m}$$

Untuk arah barat *fetch* efektif yang didapatkan adalah 179,959 km ~ 179959 m

Adapun rekapitulasi fetch efektif untuk tiap-tiap mata angin adalah sebagai berikut:

Tabel 11. Data *fetch* di lokasi studi

| ARAH | | FEf (Km) | FEf (m) |
|------|-----|----------|---------|
| U | 0 | 103,739 | 103739 |
| BL | 315 | 179,959 | 179959 |
| B | 270 | 174,140 | 174140 |
| BD | 225 | 3,219 | 3219 |

Berdasarkan dari data rekapitulasi di atas dapat dirangkumkan bahwa panjang *fetch* efektif yang terresor pada lokasi penelitian berada dari arah Barat Laut (179,959 km), kemudian disusul masing - masing arah Barat (174,140 km), Utara (103,739 km) dan arah Barat Daya (3,219 km).

C. Pembangkitan Gelombang Oleh Angin

Data - data kecepatan angin yang digunakan untuk pembangkitan gelombang adalah data yang dicatat di darat yang diukur pada ketinggian tertentu di atas permukaan laut. Hal ini mengakibatkan data tersebut harus melewati tahap koreksi.

Contoh koreksi kecepatan angin dipilih data angin maksimum pada bulan Januari 2012, untuk lebih jelasnya dapat dilihat pada dibawah ini:

$$\begin{aligned}
 U_z &= 19 \text{ Knot (di konversi knot ke m/dt} \Rightarrow 1 \text{ knot} = 0,514 \text{ m/dt)} \\
 &= 19 \times 0,514 \\
 &= 9,77 \text{ m/dt} \\
 \text{Elevasi} &= 5 \text{ m} \\
 \text{Arah angin} &= \text{Barat}
 \end{aligned}$$

Adapun langkah-langkah melakukan koreksi terhadap data angin sebagai berikut:

➤ Koreksi elevasi Angin

Pada perencanaan ini data angin yang diperoleh di ukur pada elevasi 5 meter, sehingga harus dilakukan konversi pada elevasi 10 meter dengan menggunakan persamaan 1 sebagai berikut :

$$U_{10} = U_z \left(\frac{10}{z} \right)^{1,7}$$

$$U_{10} = 9,77 \left(\frac{10}{5} \right)^{1,7}$$

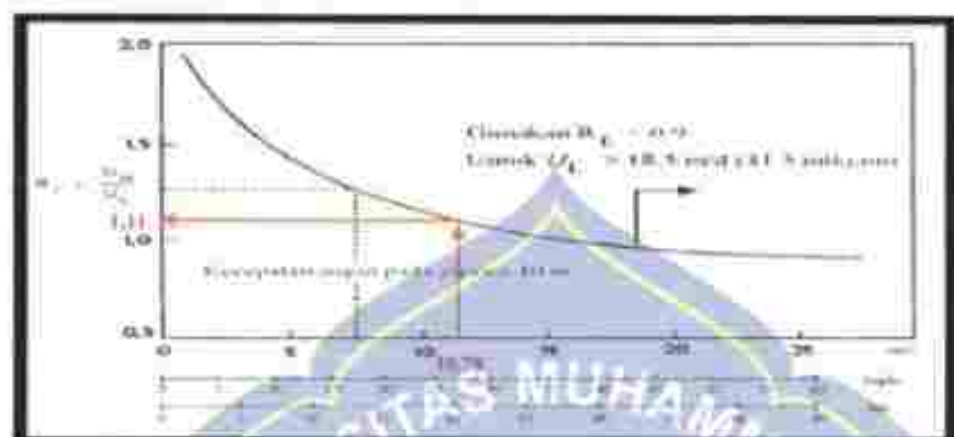
$$U_{10} = 10,78 \text{ m/dt}$$

➤ Koreksi stabilitas dan lokasi pengamatan

Koreksi stabilitas berkaitan dengan perbedaan temperatur udara tempat bertiupnya angin dan tempat terbentuknya gelombang. Besarnya koreksi dilambangkan dengan R_t , jika data temperatur udara dan air tidak dimiliki maka dianjurkan memakai nilai $R_t = 1,10$

➤ Koreksi lokasi pengamatan.

Koreksi lokasi pengamatan harus dilakukan karena biasanya pengukuran data angin dilakukan di daratan, padahal di dalam rumus-rumus pembangkitan gelombang data angin yang digunakan adalah data yang di atas permukaan laut/ faktor koreksi dilambangkan dengan R_l , yang nilainya disajikan pada gambar berikut :



Gambar 29. Grafik hubungan antara kecepatan angin di laut dan di darat

kecepatan angin pada suatu perairan memerlukan penyesuaian atau koreksi

terhadap elevasi permukaan, maka digunakan persamaan 2 seperti berikut:

$$\begin{aligned}
 U_t &= U_{10} \times R_z \times R_g \\
 &= 10,78 \times 1,10 \times 1,11 \\
 &= 13,16 \text{ m/dt}
 \end{aligned}$$

➤ Koreksi darasi

Waktu yang diperlukan untuk melintasi jarak 1 mil dengan menggunakan

persamaan 4 sebagai berikut :

$$t = \frac{1609}{U}$$

$$t = \frac{1609}{13,16}$$

$$t = 122,23 \text{ detik}$$

Kemudian mencari nilai U_t/U_{3600} . Karena $1 \text{ detik} < t < 3600 \text{ detik}$ maka

menggunakan persamaan 5 sebagai berikut:

$$\frac{U_t}{U_{3600}} = 1,277 + 0,296 \tanh \left(0,91 \log_{10} \frac{45}{t} \right)$$

D. Analisis Gelombang

1. Analisa Gelombang Signifikan

Gelombang signifikan didapat dengan menggunakan angin terkoreksi (U_A) dan *fetch* rerata efektif. Perhitungan tinggi gelombang signifikan (H_s) menggunakan persamaan 9 dan periode gelombang signifikan (T_s) menggunakan persamaan 10.

Berikut contoh perhitungan gelombang signifikan di Pantai Patalakkang pada bulan Januari tahun 2012 :

Arah angin = Barat

$U_A = 11,46$ m/dt

Fetch = 1741,40 m

$g = 9,81$ m/dt²

1. Perhitungan tinggi gelombang signifikan (H_s)

$$H_s = \frac{0,0016 \times \sqrt{\frac{g \times f_{eff}}{U_A^2}} \times U_A^2}{g}$$

$$H_s = \frac{0,0016 \left(\sqrt{\frac{9,81 \times 174140}{11,46^2}} \right) \times 11,46^2}{9,81}$$

$$H_s = 2,44 \text{ m}$$

2. Perhitungan periode gelombang signifikan (T_s)

$$T_s = \frac{0,2857 \times \left(\frac{g \times f_{eff}}{U_A^2} \right)^{\frac{1}{2}} \times U_A}{g}$$

$$T_s = \frac{0,2857 \times \left(\frac{9,81 \times 174140}{11,46^2} \right)^{\frac{1}{3}} \times 11,46}{9,81}$$

$$T_s = 7,85 \text{ detik}$$

Dari hasil perhitungan gelombang signifikan, Maka dapat disimpulkan gelombang signifikan pantai Pa'lalakkang pada bulan Januari tahun 2012 yaitu $H_s = 2,44$ m dan $T_s = 7,85$ detik.

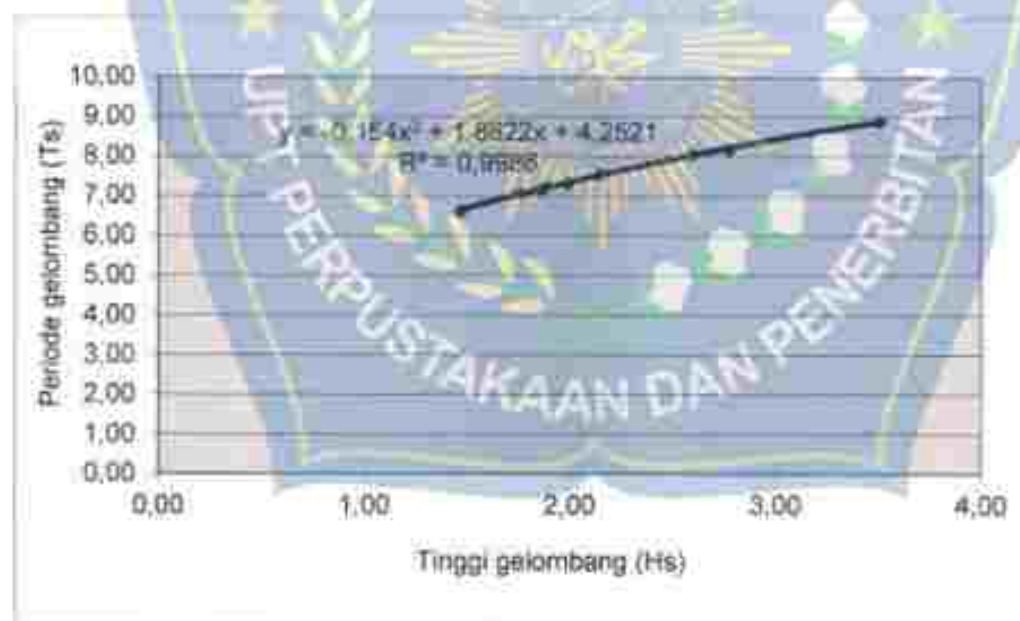
Tabel 13. Perhitungan Gelombang Signifikan Tahun 2012 Pantai Pa'lalakkang.

| Bulan | Arah | U _w | Fetch _{eff} | Tinggi Gelombang Signifikan (H _s) | Periode Gelombang Signifikan (T _s) |
|-----------|------|----------------|----------------------|---|--|
| | | | | (m) | (rt.) |
| Januari | B | 11,46 | 174140 | 2,44 | 7,85 |
| Februari | B | 12,99 | 174140 | 2,77 | 8,18 |
| Maret | B | 12,99 | 174140 | 2,77 | 8,18 |
| April | S | 7,52 | | | |
| Mei | S | 9,90 | | | |
| Juni | S | 9,36 | | | |
| Juli | S | 8,68 | | | |
| Agustus | S | 6,89 | | | |
| September | S | 8,68 | | | |
| Oktober | B | 9,26 | 174140 | 1,97 | 7,31 |
| November | B | 8,68 | 174140 | 1,85 | 7,15 |
| Desember | BL | 9,90 | 179959 | 2,15 | 7,56 |

Setelah dilakukan perhitungan tinggi dan periode gelombang signifikan, maka dapat ditentukan tinggi dan periode gelombang maksimum tiap tahunnya. Untuk tinggi dan periode gelombang maksimum dapat dilihat pada tabel dibawah ini:

Tabel 14. Tinggi dan periode gelombang signifikan maksimum tahunan

| Tahun | Arah | UA | Fetch e | Tinggi Periode Gelombang | Periode Gelombang |
|-------|------|-------|-----------|--------------------------|----------------------|
| | | | | Signifikan (H_s) | Signifikan (T_s) |
| | | | | (m) | (dk) |
| 2012 | B | 12,99 | 174140 | 2,77 | 8,18 |
| 2013 | BL | 16,16 | 179959 | 3,50 | 8,90 |
| 2014 | BL | 11,97 | 179959 | 2,59 | 8,05 |
| 2015 | BL | 9,90 | 179959 | 2,15 | 7,56 |
| 2016 | B | 9,33 | 174140 | 1,91 | 7,33 |
| 2017 | BL | 8,68 | 179959 | 1,88 | 7,23 |
| 2018 | BL | 8,11 | 179959 | 1,76 | 7,07 |
| 2019 | B | 8,08 | 174140 | 1,85 | 7,15 |
| 2020 | B | 6,39 | 174140 | 1,47 | 6,62 |
| 2021 | BL | 8,68 | 179959 | 1,88 | 7,23 |

**Gambar 30.** Grafik hubungan antara tinggi gelombang Dengan Periode Gelombang

Dari grafik diatas, untuk tinggi dan periode gelombang signifikan yang terendah berada pada tahun 2020 dengan tinggi gelombang (H_s) = 1,47 m dan periode gelombang (T_s) = 6,62 detik, sedangkan untuk tinggi dan periode gelombang maksimum berada pada tahun 2013 dengan tinggi gelombang (H_s) =

3,50 dan periode gelombang (T_s) = 8,90, jadi dapat disimpulkan jika semakin rendah tinggi gelombangnya maka semakin rendah pula periode gelombangnya begitupun sebaliknya.

Setelah dilakukan pembangkitan gelombang dan periode gelombang dari tahun 2012 sampai tahun 2021, maka dapat di klasifikasikan dalam beberapa kelas berdasarkan arah anginnya dalam bentuk persentase tinggi gelombang signifikan.

Tabel 15. Persentasi kejadian tinggi gelombang dan periode gelombang berdasarkan arah datangnya di lokasi studi

| Arah | Tinggi Gelombang Signifikan (%) | | | | | | Total | Persentase |
|------------|---------------------------------|-----------|-----------|-----------|-----------|-------------|-------|------------|
| | ($\leq 1,0$) m | (1 - 2) m | (2 - 3) m | (3 - 4) m | (4 - 5) m | (> 5) m | | |
| Utara | 1 | 2 | 0 | 0 | 0 | 0 | 3 | 3,53% |
| Barat Daya | 13 | 0 | 0 | 0 | 0 | 0 | 13 | 15,29% |
| Barat | 10 | 15 | 3 | 0 | 0 | 0 | 28 | 44,71% |
| Barat Laut | 0 | 24 | 6 | 1 | 0 | 0 | 31 | 36,47% |
| Total | 24 | 41 | 9 | 1 | 0 | 0 | 85 | 100% |

Dari hasil analisis tinggi gelombang dan periode gelombang, bahwa persentasi kejadian tinggi dan periode gelombang yang paling sering terjadi adalah dari arah Barat (44,71 %), disusul masing-masing Barat Laut (36,47 %), lalu arah Barat Daya (15,29 %) dan arah Utara (3,53 %). Serta ketinggian gelombang maksimum terjadi dari arah Barat Laut dengan ketinggian gelombang 3,50 m dengan periode 8,90 detik terjadi pada bulan Januari tahun 2013.



Gambar 31. Mawar gelombang di pematang Pa'lalakkang dari tahun 2010 - 2021

Berdasarkan hasil analisis data diperoleh mawar gelombang seperti gambar 31 di atas, yang terlihat gelombang dominan berasal dari arah barat dengan tinggi gelombang dominan berada diantara 1-2 m

4.4.1. Peramalan dan Penentuan Tinggi Gelombang Maksimum

Analisa distribusi kala ulang rencana digunakan sebagai prediksi tinggi gelombang maksimum dengan jangka waktu yang diinginkan. Perhitungan tinggi gelombang maksimum menggunakan metode *Fisher-tippett type 1* dengan menggunakan data tinggi gelombang signifikan (H_s) dengan kala ulang 10 tahun dengan menggunakan persamaan 11 dan persamaan 12, untuk lebih jelasnya dapat dilihat pada perhitungan dibawah ini :

$$P(H_s \leq H_{sm}) = 1 - \frac{m - 0,44}{N_T + 0,12}$$

$$P(H_s \leq H_{sm}) = 1 - \frac{1 - 0,44}{10 + 0,12}$$

$$P(H_s \leq H_{sm}) = 0,94$$

$$y_m = -\ln[-\ln p(H_s \leq H_{sm})]$$

$$y_m = -\ln[-\ln 0,94]$$

$$y_m = 2,87$$

Tabel 16. Perhitungan Tinggi Gelombang Maksimum Tahuman Dengan Metode Fisher-tippett type I

| No | H_{sm} | P | Y_m | $H_{sm} \times Y_m$ | Y_m^2 | $\overline{H_{sm}}$ | $(H_{sm} - \overline{H_{sm}})^2$ |
|--------|----------|------|-------|---------------------|---------|---------------------|----------------------------------|
| 1 | 3,50 | 0,94 | 2,87 | 10,04 | 8,21 | 2,18 | 1,74 |
| 2 | 2,77 | 0,85 | 1,79 | 4,95 | 3,19 | 2,18 | 0,34 |
| 3 | 2,59 | 0,75 | 1,23 | 3,20 | 1,52 | 2,18 | 0,17 |
| 4 | 2,15 | 0,65 | 0,84 | 1,79 | 0,70 | 2,18 | 0,00 |
| 5 | 1,99 | 0,55 | 0,51 | 1,02 | 0,26 | 2,18 | 0,04 |
| 6 | 1,88 | 0,45 | 0,23 | 0,43 | 0,05 | 2,18 | 0,09 |
| 7 | 1,88 | 0,35 | -0,04 | -0,08 | 0,00 | 2,18 | 0,09 |
| 8 | 1,85 | 0,25 | -0,32 | -0,59 | 0,10 | 2,18 | 0,11 |
| 9 | 1,76 | 0,15 | -0,63 | -1,10 | 0,39 | 2,18 | 0,18 |
| 10 | 1,47 | 0,06 | -1,06 | -1,56 | 1,13 | 2,18 | 0,51 |
| Jumlah | 21,84 | 5,00 | 5,41 | 18,09 | 15,56 | | |
| Rata2 | 2,18 | | 0,54 | | | | |

Dari tabel di atas, dapat kita mengetahui beberapa parameter berikut ini:

$$N = 10$$

$$K = -15$$

$$N_T = 10$$

$$\overline{H_{sm}} = 2,18 \text{ m}$$

$$V = N/N_T = 1$$

$$Y_m = 0,54$$

$$\lambda = 1$$

Dari beberapa parameter di atas selanjutnya dihitung parameter \hat{A} dan \hat{B} berdasarkan data H_{sm} dan y_m , dengan menggunakan persamaan 14, persamaan 15 dan persamaan 16 untuk lebih jelasnya dapat dilihat pada perhitungan berikut:

$$H_{sm} = \hat{A}y_m + \hat{B}$$

Dengan :

$$\hat{A} = \frac{n \sum H_{ym} \cdot y_m - \sum H_{ym} \sum y_m}{n \sum y_m^2 - (\sum y_m)^2}$$

$$\hat{A} = \frac{(10 \times 18,05) - (21,84 \times 5,41)}{(10 \times 15,56 - (5,41)^2)}$$

$$\hat{A} = 0,50$$

$$\hat{B} = H_{ym \text{ rata-rata}} - A \cdot y_m \text{ rata-rata}$$

$$\hat{B} = 2,18 - (0,50 \times 0,54)$$

$$\hat{B} = 1,92$$

Persamaan regresi yaitu diperoleh:

$$H_w = 0,50 y_r + 1,92$$

- Menghitung y_r dengan menggunakan persamaan 13 sebagai berikut:

$$\text{Dimana } L = N_r / K = 10 / 6 = 1$$

$$y_r = -\ln \left\{ -\ln \left(1 - \frac{1}{L \cdot T_r} \right) \right\}$$

$$y_r = -\ln \left\{ -\ln \left(1 - \frac{1}{1 \times 5} \right) \right\}$$

$$y_r = 1,50$$

- Menghitung deviasi standar yang dinormalkan (σ_{nr})

Untuk menetapkan interval keyakinan maka digunakan persamaan dibawah ini dengan menggunakan persamaan 17 dan dibantu dengan tabel 2 untuk koefisien a1,

a2, c, e, k :

$$a1 = 0,64$$

$$a2 = 9,0$$

$$k = 0,93$$

$$c = 0$$

$$e = 1,33$$

$$\alpha = \alpha_1 e^{a2 N^{c-1} + k \sqrt{-\ln r}}$$

$$\hat{\alpha} = 0,64 \times e^{9,0 \times 10^{-13} + 0,93 \sqrt{-\ln 1}}$$

$$\alpha = 1,005$$

$$\sigma_{nr} = \frac{1}{\sqrt{N}} (1 + \alpha(yr - c + \varepsilon \ln 1)^2)^{1/2}$$

$$\sigma_{nr} = \frac{1}{\sqrt{10}} (1 + 1,005(1,50 - 0 + 1,33 \ln 1)^2)^{1/2}$$

$$\sigma_{nr} = 0,57$$

- Menghitung σ_r , σ_{nr} dan σ_{Hs}

Berdasarkan absolut dari deviasi standar dari tinggi gelombang signifikan dihitung dengan persamaan 18 dan persamaan 19 sebagai berikut :

$$\sigma_r = \sigma_{nr} \times \sigma_{Hs}$$

$$\sigma_{Hs} = \left[\frac{1}{N-1} \sum_{i=1}^N (H_{sm} - \bar{H}_{sm})^2 \right]^{1/2}$$

$$\sigma_{Hs} = \left[\frac{1}{10-1} \sum_{i=1}^N 3,28 \right]^{1/2}$$

$$\sigma_{Hs} = 0,60$$

$$\sigma_r = \sigma_{nr} \times \sigma_{Hs}$$

$$\sigma_r = 0,57 \times 0,60$$

$$\sigma_r = 0,34$$

- Menghitung Hsr

Berdasarkan rumus hasil regresi linier :

$$H_{sr} = 0,50 yr + 1,92$$

$$H_{sr} = (0,50 \times 1,50) + 1,92$$

$$H_{sr} = 2,66 \text{ m}$$

Tabel 17. Hasil Perhitungan Dengan Periode Ulang tertentu

| Periode Ulang (Tr) | Yr | Hsr (m) | orr | oHs | or | Hsr - 1,28or (m) | Hsr + 1,28or (m) |
|--------------------|------|---------|------|------|------|------------------|------------------|
| 5 | 1,50 | 2,66 | 0,57 | 0,60 | 0,34 | 2,22 | 3,10 |
| 10 | 2,25 | 3,03 | 0,78 | 0,60 | 0,47 | 2,43 | 3,64 |
| 15 | 2,67 | 3,24 | 0,90 | 0,60 | 0,55 | 2,54 | 3,94 |
| 25 | 3,20 | 3,50 | 1,06 | 0,60 | 0,64 | 2,68 | 4,32 |
| 50 | 3,90 | 3,85 | 1,28 | 0,60 | 0,77 | 2,87 | 4,84 |

Dari hasil perhitungan, gelombang maksimum yang terjadi di Pantai Palalakkang kala ulang 10 tahun dapat tinggi gelombang (H_{10}) = 3,03 m. Setelah diperoleh tinggi gelombang maksimum kemudian hasil dari perhitungan ini digunakan untuk perhitungan gelombang rencana.

4.4.2. Perhitungan Cepat Rambat Gelombang di Laut Dalam

Untuk mendapatkan periode gelombang yang maksimum berdasarkan pengaruh dari perubahan kedalaman, maka dari itu di buat hubungan antara grafik hubungan antara tinggi gelombang maksimum dan periode gelombang maksimum (10 Tahun) yang telah dihitung.

Berdasarkan grafik hubungan H dan T didapatkan persamaan:

$$y = -0,303x^2 + 2,6976x + 3,1287$$

untuk H_{10} :

$$H = 3,03 \text{ m}$$

$$T = -0,154 \cdot H_{10}^2 + 1,8622 \cdot H_{10} + 4,2521$$

$$T = (-0,154 \times 3,03^2) + (1,8622 \times 3,03) + 4,2521$$

$$T = 8,48 \text{ detik}$$

- Menghitung panjang gelombang di laut dalam (L_0) digunakan persamaan 25 sebagai berikut:

$$L_o = \frac{gT^2}{2\pi} = 1,56 \times T^2$$

$$L_o = \frac{9,81 \text{ m/dt}^2 \times (8,48)^2}{2 \times 3,14}$$

$$L_o = 112,42 \text{ m} \sim 112 \text{ m}$$

- Kecepatan rambat gelombang di laut dalam (C_o) digunakan persamaan 24 sebagai berikut:

$$C_o = \frac{gT}{2\pi} = 1,56 \times T$$

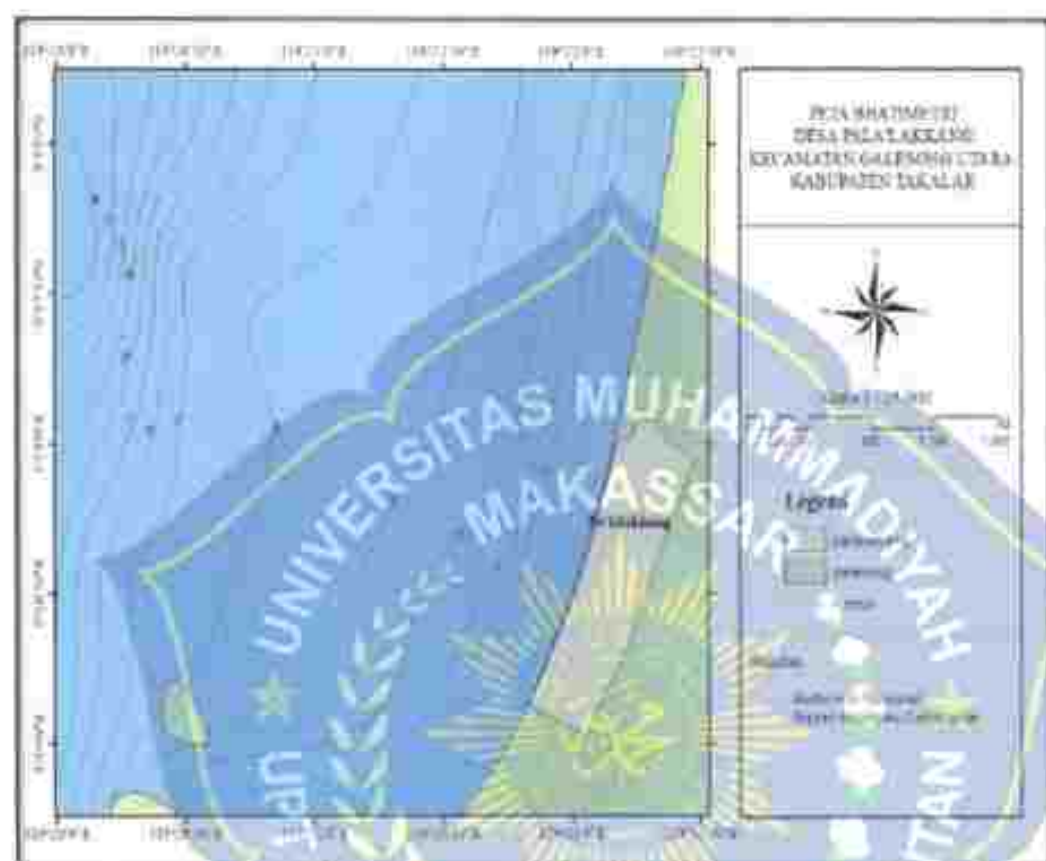
$$C_o = \frac{9,81 \text{ m/dt}^2 \times 8,48 \text{ dt}}{2 \times 3,14}$$

$$C_o = 13,25 \text{ m/dt}$$

Panjang gelombang di laut dalam (L_o) dan cepat rambat gelombang di laut dalam (C_o) digunakan untuk perhitungan tinggi gelombang rencana.

4.4.3. Bathimetri

Data bathimetri pesisir pantai Palalakkang di peroleh dari data bathimetri Nasional yang di olah kembali ke dalam GIS untuk mendapatkan garis kontur dasar laut seperti gambar dibawah :



Gambar 32. Peta *Batimetri* (sumber : *Batimetri Nasional* dan Badan Informasi Geospasial)

Untuk mengetahui kemiringan pantai di wilayah pantai Un Talakkang maka dibuatkan lima stasiun A, B, C, D dan E yang terdiri dari beberapa patok seperti yang terlihat pada gambar dibawah ini.



Gambar 33. Profil melintang bathimetri daerah pantai Pa'lalakkang

Untuk perhitungan kemiringan dan persentase dapat dilihat pada table dibawah ini :

Tabel 18. Hasil analisis kemiringan

| Stasiun | Patok | Kedalaman (m) | Jarak (m) | kemiringan | Persentase (%) |
|---------|-------|---------------|-----------|------------|----------------|
| A | P0 | 0 | 0 | 0 | 0 |
| | P1 | 2 | 174 | 0,011 | 1,1 |
| | P2 | 4 | 39 | 0,051 | 5,1 |
| | P3 | 6 | 86 | 0,023 | 2,3 |
| | P4 | 8 | 225 | 0,009 | 0,9 |
| | P5 | 10 | 446 | 0,004 | 0,4 |
| | P6 | 12 | 264 | 0,008 | 0,8 |
| | P7 | 14 | 79 | 0,025 | 2,5 |
| | P8 | 16 | 66 | 0,030 | 3,0 |
| | P9 | 18 | 75 | 0,027 | 2,7 |
| | P10 | 20 | 92 | 0,022 | 2,2 |
| B | P0 | 0 | 0 | 0 | 0 |
| | P1 | 2 | 163 | 0,012 | 1,2 |
| | P2 | 4 | 43 | 0,046 | 4,6 |
| | P3 | 6 | 110 | 0,018 | 1,8 |
| | P4 | 8 | 269 | 0,007 | 0,7 |
| | P5 | 10 | 390 | 0,005 | 0,5 |
| | P6 | 12 | 248 | 0,008 | 0,8 |
| | P7 | 14 | 112 | 0,018 | 1,8 |
| | P8 | 16 | 84 | 0,024 | 2,4 |
| | P9 | 18 | 72 | 0,028 | 2,8 |
| C | P0 | 0 | 0 | 0 | 0 |
| | P1 | 2 | 182 | 0,011 | 1,1 |
| | P2 | 4 | 42 | 0,047 | 4,7 |
| | P3 | 6 | 199 | 0,010 | 1,0 |
| | P4 | 8 | 191 | 0,010 | 1,0 |
| | P5 | 10 | 369 | 0,005 | 0,5 |
| | P6 | 12 | 278 | 0,007 | 0,7 |
| | P7 | 14 | 95 | 0,021 | 2,1 |
| | P8 | 16 | 61 | 0,033 | 3,3 |
| | P9 | 18 | 54 | 0,037 | 3,7 |
| D | P0 | 0 | 0 | 0 | 0 |
| | P1 | 2 | 209 | 0,010 | 1,0 |
| | P2 | 4 | 60 | 0,033 | 3,3 |

| | | | | | |
|---|-----------|----|-----|-------|-----|
| | P3 | 6 | 144 | 0,014 | 1,4 |
| | P4 | 8 | 212 | 0,009 | 0,9 |
| | P5 | 10 | 347 | 0,006 | 0,6 |
| | P6 | 12 | 226 | 0,009 | 0,9 |
| | P7 | 14 | 89 | 0,022 | 2,2 |
| | P8 | 16 | 65 | 0,031 | 3,1 |
| E | P0 | 0 | 0 | 0 | 0 |
| | P1 | 2 | 210 | 0,010 | 1,0 |
| | P2 | 4 | 53 | 0,037 | 3,7 |
| | P3 | 6 | 143 | 0,014 | 1,4 |
| | P4 | 8 | 335 | 0,006 | 0,6 |
| | P5 | 10 | 269 | 0,007 | 0,7 |
| | P6 | 12 | 139 | 0,014 | 1,4 |
| | P7 | 14 | 72 | 0,028 | 2,8 |
| | P8 | 16 | 61 | 0,033 | 3,3 |
| | Rata-Rata | | | 0,017 | 1,7 |

Dari hasil hitungan diatas maka didapatkan kemiringan pantai $m = 0,017$ dan persentase kemiringan $1,7\%$ termasuk kategori datar $< 8\%$.

Tabel19. Kategori kemiringan lereng

| Kelas | Kemiringan | Keterangan |
|-------|-------------|-------------|
| I | $< 8\%$ | Datar |
| II | $8 - 15\%$ | Landai |
| III | $16 - 25\%$ | Agak Curam |
| IV | $26 - 40\%$ | Curam |
| V | $> 40\%$ | Sngat Curam |

Sumber : Yumai, Y., Tilaar, S., & Makarau, V. H. (2019).

4.4.4. Perhitungan Tinggi Gelombang Rencana

Untuk menentukan bangunan pengaman pantai dalam studi ini digunakan gelombang dominan yang datang di lokasi studi. Dari distribusi arah gelombang

pada persentasi gelombang tahunan, diketahui bahwa gelombang dominan berasal dari arah barat (44,71%), akan tetapi gelombang tertinggi terbesar berasal dari arah barat laut (36,47%) sehingga dalam studi ini diambil sudut datangnya gelombang dari arah barat laut dengan sudut 22° seperti terlihat pada gambar dibawah ini:



Gambar 34. Penentuan sudut datangnya gelombang di pantai Pakkajang

Berdasarkan peta topografi dan bathimetri pantai Pakkajang, dipilih kedalaman (d) pada kedalaman 20 m untuk perhitungan kedalaman di laut, untuk lebih jelasnya dapat dilihat pada perhitungan dibawah ini:

$$\frac{d}{L_0} = \frac{20}{112,42}$$

$$\frac{d}{L_0} = 0,178$$

Untuk nilai $d/L_0 = 0,178$ maka didapat nilai d/L dan $\tanh \frac{2\pi d}{L}$ dengan menggunakan tabel A-1 pada lampiran:

$$\frac{d}{L} = 0,20666$$

$$\tanh \frac{2\pi d}{2\pi} = 0,8613$$

Karena nilai $d/L_0 = 0,178$ masuk kedalam kategori $1/20 < d/L < 1/2$ sehingga termasuk gelombang laut transisi. Panjang gelombang di laut transisi (L) dapat dihitung menggunakan persamaan 23 berikut:

$$L = \frac{gT^2}{2\pi} \tanh \frac{2\pi d}{2\pi}$$

$$L = \frac{9,81 \times 8,48^2}{2 \times 3,14} \times 0,8613$$

$$L = 96,83 \text{ m}$$

Keccepatan gelombang di laut dangkal (C) dapat dihitung dengan menggunakan persamaan 22 berikut:

$$C = \frac{gT}{2\pi} \tanh \frac{2\pi d}{2\pi}$$

$$C = \frac{9,81 \times 8,48}{2 \times 3,14} \times 0,8613$$

$$C = 11,41 \text{ m}$$

Arah datangnya gelombang pada kedalaman 20 m dapat dihitung dengan menggunakan persamaan 28 berikut:

$$\sin \alpha = \left(\frac{C}{C_0} \right) \sin \alpha_0$$

$$\sin \alpha = \left(\frac{11,41}{13,25} \right) \sin 22^\circ$$

$$\sin \alpha = 0,323$$

$$\alpha_1 = 19^\circ$$

koefisien *refraksi* dihitung dengan menggunakan persamaan 2.26 berikut:

$$Kr = \sqrt{\frac{\cos \alpha_0}{\cos \alpha_1}}$$

$$Kr = \sqrt{\frac{\cos 22^\circ}{\cos 19^\circ}}$$

$$Kr = 0,990$$

Untuk menghitung koefisien pendangkalan (K_s) dicari dengan menggunakan tabel A-1 pada lampiran, berdasarkan nilai d^2/σ di atas, sehingga di dapat nilai K_s adalah:

$$K_s = 0,914$$

Jadi tinggi gelombang rencana dihitung dengan menggunakan persamaan 29 sebagai berikut:

$$H_o = K_s \times Kr \times H_p$$

$$H_o = 0,914 \times 0,990 \times 3,03$$

$$H_o = 2,74 \text{ m}$$

Maka tinggi gelombang yang sudah mengalami proses *refraksi* (Tinggi gelombang rencana) adalah $H_o = 2,74$ m yang selanjutnya di pakai untuk analisa gelombang pecah

4.4.5. Gelombang Pecah

Untuk perhitungan gelombang pecah digunakan persamaan yang Munk. Analisa gelombang pecah dilakukan terhadap tinggi gelombang rencana pada kala ulang tertentu.

Berdasarkan studi *bathimetri*, nilai kemiringan rata-rata (m) dari pantai Palalakkang adalah 0,017. Adapun perhitungan gelombang pecahnya untuk H_s dengan kala ulang 10 tahun adalah sebagai berikut.

$$H_0 = 2,74 \text{ m}$$

$$L_{025} = 112,42 \text{ m}$$

$$T_{025} = 8,48 \text{ detik}$$

1. Tinggi gelombang pecah (H_b)

Tinggi gelombang ekuivalen pada kedalaman 20 meter dihitung dengan menggunakan persamaan 30, persamaan 31 dan persamaan 32 sebagai berikut:

$$H'_0 = K_r \times H_0$$

$$H'_0 = 0,990 \times 2,74$$

$$H'_0 = 2,72 \text{ m}$$

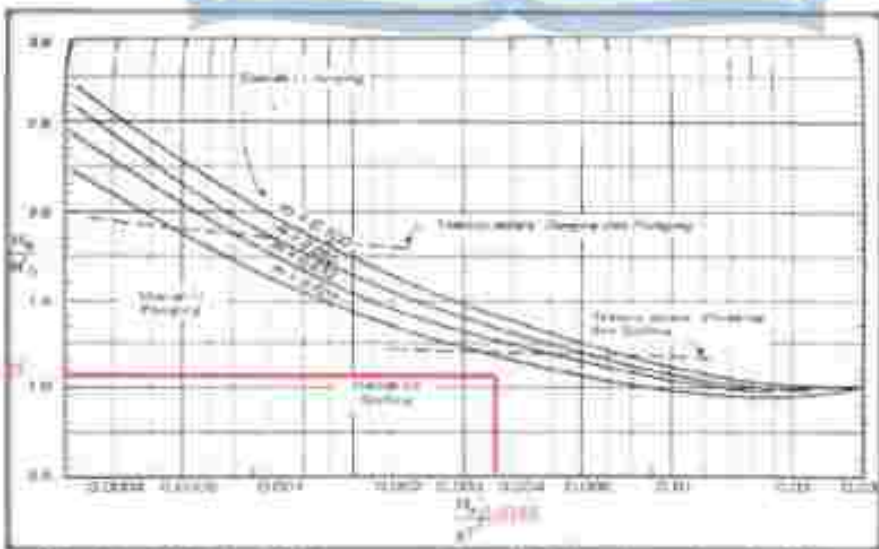
$$\frac{H_b}{H'_0} = \frac{2,72 \text{ m}}{9,81 \text{ m/s}^2 \times 8,48^2 \text{ s}^2}$$

$$\frac{H_b}{H'_0} = 0,00285$$

Dari grafik penentuan tinggi gelombang pecah hubungan antara $\frac{H_b}{H'_0}$ dan $\frac{H'_0}{gT^2}$

dengan berdasarkan kemiringan Pantai Palakkang ($m = 0,0171$) maka didapat

nilai $\frac{H_b}{H'_0}$ adalah :



Gambar 35. Grafik Penentuan Tinggi Gelombang Pecah (H_b)

$$\frac{H_b}{H_o} = \frac{1}{3.3 \times (H_o/L_o)^{1/3}}$$

$$\frac{H_b}{H_o} = \frac{1}{3.3 \times (2.72/112.42)^{1/3}}$$

$$\frac{H_b}{H_o} = 1.05$$

$$H_b = H_o \times 1.05$$

$$H_b = 2.72 \times 1.05$$

$$H_b = 2.85 \text{ m}$$

2. Penentuan kedalaman gelombang pecah

Pada kedalaman gelombang pecah menggunakan persamaan 33, persamaan 34, persamaan 35 dan persamaan 36 untuk lebih jelasnya dapat dilihat pada perhitungan berikut:

$$\frac{H_b}{gT^2} = \frac{2.85}{9.81 \times 8.48^2}$$

$$\frac{H_b}{gT^2} = 0.00403$$

Dari grafik penentuan kedalaman gelombang pecah hubungan antara $\frac{H_b}{gT^2}$

dan $\frac{ab}{H_b}$ dengan berdasarkan kemiringan Pantai Pa'lalakkang ($m = 0.0171$), maka

dapat dinilai $\frac{ab}{H_b}$ adalah:



Gambar 36. Grafik Penentuan kedalaman Gelombang Penuh (H_b)

$$a = 43,75 \times (1 - e^{-19,5x})$$

$$= 43,75 \times (1 - e^{-19,5 \times 0,017})$$

$$= 12,19$$

$$b = \frac{1,56}{1 + e^{-19,5 \times 0,017}}$$

$$b = \frac{1,56}{1 + e^{-19,5 \times 0,017}}$$

$$b = 0,909$$

$$\frac{d_b}{H_b} = \frac{1}{b - (aH_b/gT^2)}$$

$$\frac{d_b}{H_b} = \frac{1}{0,909 - (12,19 \times 2,85 / (9,81 \times 8,48)^2)}$$

$$\frac{d_b}{H_b} = 1,162$$

$$d_b = 1,162 \times H_b$$

$$d_b = 1,162 \times 2,85$$

$$db = 3,31 \text{ m}$$

Jadi gelombang akan terjadi pecah pada kedalaman $db = 3,31 \text{ m}$, sehingga jarak perjalanan setelah pecah dihitung dengan persamaan 37 berikut:

$$x_p = r_p \times H_b \longrightarrow r_p = 4,0 \text{ m} - 9,25 \text{ m}$$

$$x_p = 4 \times 2,85$$

$$x_p = 11,39 \text{ m}$$

E. Fluktuasi Muka Air Laut

1. Pasang Surut

Pengambilan data pasang surut diambil dari hasil pengukuran langsung di Pantai Pala'akkang Kec. Galesong Utara Kab. Takalar dengan interval pengambilan data 1 jam. Kemudian data pasang surut tersebut diolah untuk memperoleh konstanta harmonis pasang surut. Perhitungan konstanta harmonis pasang surut dilakukan dengan menggunakan metode Admiralty.

Berikut perhitungan pasang surut metode Admiralty tahun 2022.

1. Skema 1

Data yang akan diolah dikonsversikan dahulu semuanya dari meter (m) ke centimeter (cm), dimana untuk tabel kearah kanan menunjukkan waktu pengamatan (jam) yaitu dari pukul 17.00 Wita sampai 16.00 Wita dan tabel ke arah bawah menunjukkan tanggal dilakukannya pengamatan yaitu 26 Mei – 09 Juni 2022. Adapun data yang telah diperoleh pada tabel berikut :

Tabel 20. Data pasang surut 15 hari interval 1 hari

| Tanggal | Pasang Surut Data Hari | | | | | | | | | | | | | | | | | | | | | | | jumlah bulan | tscari hari/hari | |
|-----------|------------------------|-----|-----|-----|-----|-----|-----|-----|-----|----|----|----|----|----|----|-----|-----|-----|-----|-----|-----|-----|-----|-----------------|---------------------|-----|
| | 0 | 1 | 2 | 3 | 4 | 5 | 6 | 7 | 8 | 9 | 10 | 11 | 12 | 13 | 14 | 15 | 16 | 17 | 18 | 19 | 20 | 21 | 22 | | | 23 |
| 26-Mei-22 | 110 | 100 | 100 | 90 | 85 | 80 | 80 | 70 | 80 | 80 | 80 | 80 | 95 | 90 | 80 | 80 | 100 | 110 | 120 | 130 | 130 | 130 | 120 | 110 | 2310 | 96 |
| 27-Mei-22 | 100 | 100 | 90 | 80 | 80 | 70 | 70 | 70 | 70 | 70 | 70 | 70 | 80 | 80 | 80 | 90 | 90 | 90 | 100 | 100 | 110 | 110 | 110 | 110 | 2110 | 169 |
| 28-Mei-22 | 100 | 100 | 90 | 80 | 70 | 70 | 70 | 60 | 60 | 60 | 60 | 60 | 60 | 70 | 70 | 80 | 90 | 100 | 110 | 120 | 120 | 120 | 110 | 110 | 2110 | 169 |
| 29-Mei-22 | 100 | 100 | 90 | 80 | 70 | 70 | 60 | 60 | 70 | 70 | 70 | 70 | 80 | 80 | 80 | 100 | 110 | 120 | 130 | 130 | 130 | 130 | 110 | 110 | 2130 | 170 |
| 30-Mei-22 | 110 | 100 | 90 | 80 | 80 | 70 | 70 | 60 | 60 | 50 | 50 | 50 | 50 | 60 | 60 | 90 | 110 | 120 | 140 | 140 | 140 | 140 | 140 | 130 | 2120 | 170 |
| 31-Mei-22 | 120 | 110 | 100 | 90 | 80 | 80 | 70 | 60 | 50 | 40 | 40 | 40 | 40 | 50 | 50 | 80 | 100 | 120 | 140 | 150 | 150 | 150 | 140 | 130 | 2140 | 171 |
| 01-Jun-22 | 130 | 110 | 100 | 90 | 80 | 80 | 70 | 60 | 50 | 40 | 30 | 30 | 30 | 30 | 30 | 70 | 90 | 110 | 140 | 150 | 160 | 160 | 150 | 140 | 2170 | 174 |
| 02-Jun-22 | 130 | 120 | 110 | 100 | 90 | 90 | 80 | 80 | 70 | 60 | 50 | 40 | 30 | 30 | 30 | 60 | 80 | 100 | 130 | 150 | 160 | 160 | 150 | 140 | 2200 | 176 |
| 03-Jun-22 | 140 | 130 | 110 | 100 | 100 | 90 | 90 | 80 | 80 | 70 | 60 | 50 | 40 | 30 | 20 | 40 | 60 | 90 | 110 | 140 | 150 | 160 | 160 | 150 | 2190 | 175 |
| 04-Jun-22 | 140 | 130 | 120 | 110 | 100 | 100 | 100 | 90 | 80 | 80 | 70 | 60 | 50 | 30 | 20 | 50 | 70 | 90 | 100 | 120 | 140 | 150 | 150 | 140 | 2190 | 175 |
| 05-Jun-22 | 140 | 130 | 120 | 110 | 100 | 100 | 100 | 100 | 90 | 80 | 70 | 60 | 50 | 30 | 20 | 40 | 70 | 90 | 110 | 110 | 130 | 140 | 140 | 130 | 2220 | 178 |
| 06-Jun-22 | 130 | 120 | 110 | 100 | 100 | 100 | 100 | 100 | 100 | 90 | 80 | 70 | 60 | 50 | 40 | 30 | 40 | 60 | 80 | 100 | 120 | 130 | 140 | 140 | 2190 | 175 |
| 07-Jun-22 | 120 | 110 | 110 | 100 | 90 | 90 | 90 | 100 | 90 | 80 | 80 | 70 | 60 | 50 | 40 | 30 | 40 | 60 | 80 | 100 | 110 | 120 | 130 | 130 | 2170 | 174 |
| 08-Jun-22 | 120 | 110 | 100 | 90 | 90 | 80 | 90 | 90 | 90 | 90 | 90 | 80 | 70 | 60 | 50 | 40 | 50 | 60 | 70 | 80 | 90 | 110 | 120 | 120 | 2170 | 174 |
| 09-Jun-22 | 110 | 100 | 90 | 80 | 80 | 80 | 80 | 80 | 80 | 80 | 90 | 80 | 70 | 60 | 50 | 40 | 50 | 60 | 70 | 80 | 90 | 100 | 110 | 110 | 2150 | 172 |

2. Skema II

Penyusunan hasil perhitungan harga $X_1, Y_1, X_2, Y_2, X_3, Y_3, X_4$ dan Y_4 pengisian data dilakukan dengan bantuan tabel 4.35 yang mengalikan nilai pengamatan dengan harga pengali pada daftar 1 untuk setiap hari pengamatan. Karena pengali dalam daftar hanya berisi bilangan 1 dan -1 kecuali untuk X_4 ada bilangan 0 (nol) yang tidak dimasukkan dalam pedalitan, maka lakukan perhitungan dengan menjumlahkan bilangan yang harus dikalikan dengan 1 pada kolom bertanda (+) dibawah kolom $X_1, Y_1, X_2, Y_2, X_3, Y_3, X_4$ dan Y_4 Hal yang sama untuk pengali -1 pada kolom dibawah bertanda (-)

Tabel 21. Penyusunan Hasil Perhitungan Dari Skema 2

| Tanggal | X_1 | | Y_1 | | X_2 | | Y_2 | | X_3 | | Y_3 | |
|-----------|-------|------|-------|------|-------|------|-------|------|-------|-----|-------|------|
| | + | - | + | - | + | - | + | - | + | - | + | - |
| 26-Mei-22 | 1210 | 1190 | 240 | 1520 | 1080 | 220 | 1130 | 1080 | 100 | 90 | 1150 | 1160 |
| 27-Mei-22 | 1120 | 980 | 120 | 1400 | 1080 | 1050 | 1030 | 1080 | 710 | 730 | 1060 | 1050 |
| 28-Mei-22 | 1120 | 980 | 120 | 1270 | 1030 | 1060 | 1070 | 1080 | 770 | 700 | 1050 | 1060 |
| 29-Mei-22 | 1140 | 980 | 70 | 1360 | 1110 | 1120 | 1120 | 1010 | 710 | 730 | 1080 | 1050 |
| 30-Mei-22 | 1170 | 910 | 220 | 1400 | 1050 | 1150 | 1110 | 1010 | 880 | 700 | 1060 | 1090 |
| 31-Mei-22 | 1280 | 860 | 100 | 1420 | 1030 | 1090 | 1120 | 1020 | 700 | 720 | 1070 | 1070 |
| 01-Jun-22 | 1360 | 810 | 70 | 1400 | 1030 | 1280 | 1180 | 1030 | 740 | 730 | 1080 | 1080 |
| 02-Jun-22 | 1430 | 770 | 70 | 1420 | 1030 | 1370 | 1080 | 1110 | 780 | 740 | 1100 | 1100 |
| 03-Jun-22 | 1460 | 730 | 80 | 1310 | 1030 | 1370 | 1130 | 1160 | 720 | 780 | 1090 | 1100 |
| 04-Jun-22 | 1430 | 710 | 90 | 1280 | 1030 | 1240 | 1120 | 1170 | 720 | 780 | 1080 | 1110 |
| 05-Jun-22 | 1460 | 760 | 100 | 1330 | 1030 | 1220 | 1080 | 1230 | 750 | 720 | 1090 | 1130 |
| 06-Jun-22 | 1390 | 800 | 1060 | 1130 | 990 | 1200 | 980 | 1270 | 740 | 730 | 1080 | 1110 |
| 07-Jun-22 | 1290 | 880 | 1060 | 1110 | 1020 | 1150 | 960 | 1210 | 740 | 720 | 1090 | 1080 |
| 08-Jun-22 | 1240 | 930 | 1050 | 1130 | 1080 | 1130 | 960 | 1210 | 730 | 720 | 1080 | 1090 |
| 09-Jun-22 | 1160 | 990 | 940 | 1160 | 1050 | 1100 | 980 | 1170 | 720 | 730 | 1060 | 1090 |

3. Skema III Tahun 2022

Penyusunan hasil perhitungan harga X dan Y (Tabel 4.42). Proses ini merupakan untuk mengisi kolom-kolom pada skema-III, setiap kolom pada kolom-kolom skema-III merupakan penjumlahan dari perhitungan pada kolom-kolom skema II.

- a. Untuk X_0 (+) merupakan penjumlahan antara X_1 (-) dengan X_2 (-) tanpa melihat tanda (+) dan (-)
- b. Untuk X_1 , Y_2 , X_2 , Y_2 , X_3 , Y_3 , X_4 dan Y_4 merupakan penjumlahan tanda (+) dan (-), untuk mengisi hasilnya tidak ada negatif maka di tambahkan bilangan tertentu.

Tabel 22. Penyusunan hasil perhitungan dari skema 3

| TGL | X_0 | X_1 | Y_1 | X_2 | Y_2 | X_3 | Y_3 |
|-----------|-------|-------|-------|-------|-------|-------|-------|
| | | -800 | +800 | +800 | +800 | -800 | +800 |
| 26-Mei-22 | 2310 | 910 | 470 | 670 | 750 | 820 | 790 |
| 27-Mei-22 | 2110 | 930 | 530 | 810 | 750 | 810 | 810 |
| 28-Mei-22 | 2110 | 930 | 370 | 750 | 850 | 810 | 790 |
| 29-Mei-22 | 2130 | 950 | 210 | 690 | 910 | 800 | 830 |
| 30-Mei-22 | 2120 | 1060 | 120 | 620 | 900 | 780 | 800 |
| 31-Mei-22 | 2140 | 1220 | 60 | 560 | 900 | 780 | 800 |
| 01-Jun-22 | 2170 | 1350 | 90 | 470 | 830 | 770 | 810 |
| 02-Jun-22 | 2200 | 1460 | 160 | 460 | 780 | 800 | 800 |
| 03-Jun-22 | 2190 | 1530 | 290 | 470 | 670 | 790 | 790 |
| 04-Jun-22 | 2180 | 1570 | 470 | 510 | 650 | 780 | 770 |
| 05-Jun-22 | 2220 | 1500 | 620 | 560 | 580 | 820 | 760 |
| 06-Jun-22 | 2190 | 1390 | 730 | 500 | 530 | 810 | 770 |
| 07-Jun-22 | 2170 | 1210 | 750 | 670 | 550 | 820 | 810 |
| 08-Jun-22 | 2170 | 1110 | 730 | 730 | 550 | 810 | 790 |
| 09-Jun-22 | 2150 | 970 | 630 | 750 | 610 | 790 | 770 |

4. Skema IV Tahun 2012

Mengisi seluruh kolom-kolom pada skema-IV, diisi dengan data setelah penyelesaian skema-III dibantu dengan indeks kedua tabel 4.44. Arti indeks pada skema-IV :

- a. Indeks 00 untuk X berarti X_{00} , X_0 pada skema-III dan indeks 0 pada daftar kedua

- b. Indeks 00 untuk Y berarti Y_{00} , Y_0 pada skema-III dan indeks 0 pada daftar kedua.

Nilai yang disajikan ini merupakan penjumlahan baris-baris dalam tiap kolom sesuai dengan kontribusi (+) dan (-) dan dinyatakan dalam tabel indeks kedua. Selanjutnya kolom X dan Y yang berada di paling kanan tabel disajikan dengan menjumlahkan masing-masing komponen pada tiap nilai harga X_{10} , X_{20} dan Y_{10} dst.

Tabel 23 Penyusunan hasil perhitungan harga X dan Y

| SKEMA IV | | | | | |
|----------|---------|----------|-------|--------|-------|
| INDEKS | TANDA | X | Y | X | Y |
| | | TAMBAHAN | | JUMLAH | |
| 00 | + | 32570 | | 32570 | |
| 01 | - | 18990 | 6270 | 6090 | -5770 |
| 12 | + | 9690 | 1810 | | |
| | - | 8400 | 4420 | -900 | -3910 |
| (29) | (-) (-) | 800 | 800 | | |
| 11 | + | 8440 | 1580 | | |
| | - | 8710 | 3590 | -1870 | -2210 |
| 13 | | 7130 | 1070 | | |
| | - | 10960 | 5160 | -4830 | -4290 |
| (29) | (-) (-) | 800 | 800 | | |
| 1c | + | 2870 | 2590 | | |
| | - | 3760 | 3480 | -890 | -890 |
| 20 | + | 9310 | 19790 | | |
| | - | 12000 | 12000 | -2690 | -1210 |
| 22 | | 3650 | 8310 | | |
| | - | 5660 | 5480 | -2810 | -970 |
| (29) | (-) (-) | 800 | 800 | | |
| 2b | + | 3900 | 5120 | | |
| | - | 3530 | 3530 | 370 | 1590 |
| 23 | + | 2470 | 3830 | | |
| | - | 6840 | 6960 | -5170 | -3930 |
| (29) | (-) (-) | 800 | 800 | | |
| 2c | + | 4490 | 5250 | | |
| | - | 4360 | 4760 | 130 | 490 |
| 42 | + | 5520 | 5530 | | |
| | - | 6470 | 6360 | -1750 | -1630 |
| (29) | (-) (-) | 800 | 800 | | |
| 4b | + | 4750 | 4840 | | |
| | - | 4830 | 4690 | -80 | 150 |
| 44 | + | 5590 | 5560 | | |
| | - | 6400 | 6330 | -1610 | -1570 |
| (29) | (-) (-) | 800 | 800 | | |
| 4d | + | 4770 | 4780 | | |
| | - | 4810 | 4750 | -40 | 30 |
| 1v | | | | | |

5. Skema V dan VI

Untuk mengisi kolom dan baris pada skema V yaitu pengurangan dari nilai X (jumlah) dan Y (jumlah) pada skema IV dan dibantu dengan konstanta pengali pada tabel 4.46 yang telah ditetapkan. Begitu pula untuk mengisi kolom dan baris pada skema VI yaitu penjumlahan dari nilai X (jumlah) dan Y (jumlah) pada skema IV dan dibantu dengan konstanta pengali pada tabel 4.46 yang telah ditetapkan. Di bawah ini konstanta pengali pada tabel 4.46 tersebut.

Tabel 24. Penyusunan hasil perhitungan besaran X dan Y dari konstanta-konstanta paut untuk 15 tanaman yang diperoleh dari Skema 5 dan 6.

| | | S1 | M2 | S2 | N2 | K1 | O1 | M4 | M5 |
|----------|-------------------|-------|-------|-------|-------|------|------|-------|-------|
| SKEMA V | X_{01} | 12570 | 12150 | | | | | | |
| | X_{02} | 6990 | | | | 6090 | -420 | | |
| | $X_{11} - Y_{11}$ | 2700 | 243 | | | 54 | 2700 | | 54 |
| | $X_{12} - Y_{12}$ | 4946 | | | | | | | |
| | X_{21} | -390 | 454 | -2095 | -780 | | | | |
| | $X_{22} - Y_{22}$ | 1430 | -440 | 616 | -2681 | 81 | 122 | | 132 |
| | $X_{32} - Y_{32}$ | -4561 | 1679 | | 5661 | | | | |
| | $X_{42} + Y_{42}$ | -1900 | -19 | | | | | | 1900 |
| | $X_{43} - Y_{43}$ | -1647 | | | | | | 1656 | 82 |
| | Y_{11} | 5730 | | | | 5828 | 40 | | |
| SKEMA VI | $Y_{12} + X_{12}$ | 5280 | 264 | | | 634 | 2554 | | -53 |
| | $Y_{13} + X_{13}$ | 5780 | | | | | | | |
| | Y_{21} | -1210 | 198 | -1310 | 360 | | | | |
| | $Y_{22} + X_{22}$ | 400 | -624 | 90 | 184 | | 80 | | 12 |
| | $Y_{23} + X_{23}$ | -3800 | 2600 | | -2914 | | | | |
| | $Y_{24} + X_{24}$ | -1710 | -34 | | | | | -188 | -1710 |
| | $Y_{42} - X_{42}$ | -1610 | | | | | | -1610 | 97 |

6. Skema VII Tahun 2022

Untuk mengisi kolom dan baris pada skema VII yaitu merupakan penjumlahan dari skema V dan skema VI dan dibantu dengan konstanta pengali pada tabel 4.46 yang telah ditetapkan, serta data hasil perhitungan f, V, u dan r. Di bawah ini konstanta pengali pada tabel 4.46 dan tabel 4, serta cara perkalian untuk menyusun skema VII dan menghitung f, V, u dan r:

Tabel 25. Hasil Skema VII

| | | S_1 | M_1 | S_2 | N_2 | K_2 | G_2 | M_2 | M_3 |
|-----------|-------------------------------|----------|---------|----------|----------|----------|----------|----------|----------|
| SKEMA VII | V : PR. $os \cdot r$ | 12523,40 | (21,80) | -3508,90 | -4111,40 | 5170,30 | 4612,30 | -1692,90 | -1573,40 |
| | VI : PR. $om \cdot r$ | 0 | 2095,30 | -2183,80 | -4114,30 | -6467,20 | -1631,00 | -1650,30 | -1470,20 |
| | PR. | 12523,40 | 2095,30 | 4132,85 | 5816,45 | 8285,72 | 4892,38 | 2364,19 | 2154,85 |
| | Daftar 3a : P | 369,60 | 175,00 | 214,00 | 106,00 | 212,00 | 177,90 | 273,00 | 280,00 |
| | Daftar 5 : f | | 0,98 | 0,00 | 0,08 | 1,08 | 1,13 | 0,95 | 0,98 |
| | VII. : I = W | | 1,00 | 1,65 | 1,15 | 1,32 | 1,80 | 1,00 | 0,89 |
| | : V. | | 99,81 | 0,00 | 102,21 | 108,99 | 291,02 | 194,22 | 99,61 |
| | Daftar 9 : u | | -1,66 | 0,00 | -1,66 | -6,26 | 1,17 | -3,23 | -1,66 |
| | VIII : w | | 0,00 | 12,02 | -5,22 | 7,64 | 0,80 | 0,00 | 12,02 |
| | Daftar 3a : p | | 221,02 | 243,10 | 177,26 | 171,05 | 110,90 | 302,00 | 318,00 |
| | Daftar 4 : r | | 86,12 | 31,89 | 43,02 | 34,17 | 146,32 | 84,25 | 43,02 |
| | Jumlah : g | | 317,56 | 387,52 | 337,23 | 651,68 | 748,77 | 547,24 | 820,99 |
| | n = 600 | | 38070 | 226,00 | 36,50 | 30,00 | 320,00 | 360,00 | 360,00 |
| | PR. (PR. $o \cdot r + W) = A$ | | 96,34 | 12,22 | 28,08 | 21,08 | 28,71 | 24,50 | 9,01 |
| r' | | 0,00 | 1,75,56 | 28,92 | 172,25 | 291,66 | 78,72 | 182,18 | 110,90 |

7. Skema VIII

Untuk mengisi kolom dan baris pada skema VIII yaitu merupakan perhitungan dari nilai V dan nilai u pada skema VII dibantu dengan Konstanta pengali pada tabel 4.46 dan data hasil perhitungan L, V, u dan r.

Tabel 26. Skema VIII

| u dan (1 - W) untuk N_2 | | |
|-------------------------------|---------------|-------|
| VII | $K_1 = 2V$ | 162,8 |
| VII | $K_2 = u$ | -6,3 |
| Jumlah | $2V + u$ | 162,8 |
| Daftar 10 : $S_2 = w \cdot f$ | | 10,0 |
| Daftar 10 : $S_2 = W \cdot f$ | | -0,3 |
| Daftar 5 : $K_2 = f$ | | 1,2 |
| | w | 12,0 |
| | W | -0,3 |
| | $1 - W$ | 0,7 |
| w dan (1 - W) untuk K_1 | | |
| VII | $K_1 = 2V$ | 337,2 |
| VII | $K_2 = u$ | -6,3 |
| Jumlah | $2V + u$ | 330,9 |
| Daftar 10 : $K_1 = w \cdot f$ | | 7,1 |
| Daftar 10 : $K_1 = W \cdot f$ | | 0,3 |
| Daftar 5 : $K_1 = f$ | | 1,1 |
| | w | 7,6 |
| | W | 0,3 |
| | $1 - W$ | 1,3 |
| u dan (1 - W) untuk N_2 | | |
| VII | $N_2 = 3V$ | 208,8 |
| VII | $N_2 = 2V$ | 334,5 |
| Jumlah | $(N_2 = N_2)$ | 324,4 |
| Daftar 10 : $N_2 = w$ | | -5,3 |
| Daftar 10 : $N_2 = 1 - W$ | | 1,2 |
| VIII | | |

Tabel 27. Tabel hasil analisis konstanta harmonik pasang surut

| | S1 | M2 | S2 | N2 | K1 | O1 | M4 | MS4 | K2 | P1 |
|------------|-------|--------|-------|--------|--------|-------|--------|--------|-------|--------|
| A Cm | 90,34 | 12,28 | 28,08 | 31,08 | 26,74 | 24,50 | 9,07 | 11,46 | 7,58 | 8,82 |
| Σ^2 | 0,00 | 157,56 | 28,92 | 172,25 | 291,66 | 78,72 | 187,16 | 110,99 | 28,92 | 291,66 |

Penentuan Jenis Pasang Surut

$$F = \frac{A(K_1) + A(O_1)}{A(M_2) + A(S_2)}$$

Klasifikasi jenis pasang surut berdasarkan bilangan formazahl adalah :

- 0,00 – 0,25 : Pasang surut harian ganda
- 0,26 – 1,50 : Pasang surut campuran condong ke harian ganda
- 1,51 – 3,00 : Pasang surut campuran condong ke harian tunggal
- > 3,00 : Pasang surut harian tunggal

$$F = \frac{A(K_1) + A(O_1)}{A(M_2) + A(S_2)}$$

$$F = \frac{26,74 + 24,50}{12,28 + 28,08}$$

$$F = 1,27 \text{ (Nilai } F \text{ antara } 0,26 - 1,50)$$

Berdasarkan nilai formazahl, maka kriteria pasang surut adalah Pasang surut campuran condong ke harian ganda.

Elevasi Muka Air

Pada tahap ini akan ditentukan kedudukan BM pasang surut terhadap muka air pada lokasi studi kasus berdasarkan hasil perhitungan konstanta harmonik metode *Admiralty*. Penentuan kedudukan BM tersebut didasarkan pada hasil perhitungan komponen-komponen dibawah ini :

1. MSL (*mean sea level*) atau DT (*duduk tengah*)

$$\text{MSL} = \text{AS0} = 90,34$$

2. Z0 (*muka surutan*)

$$Z_0 = S_0 - (AM_2 + AS_2 + AK_1 + AO_1)$$

$$Z_0 = 90,34 - (12,28 + 28,08 + 26,74 + 24,50)$$

$$= -1,26$$

3. Chart datum (Ketinggian muka air surutun dari nol palem)/CD

$$CD = MSL - Z_0$$

$$CD = 90,34 - (-1,26) = 91,60$$

4. AIT (Air tinggi tertinggi)

$$AIT = S_0 + (AM_2 + AS_2 + AK_1 + AO_1)$$

$$AIT = 90,34 + (12,28 + 28,08 + 26,74 + 24,50)$$

$$= 181,94$$

5. LAT (Rendah pasang surut)

$$LAT = MSL - AK_1 - AO_1 - AS_2 - AM_2$$

$$LAT = 90,34 - 26,74 - 24,50 - 28,08 - 12,28$$

$$= -1,26$$

6. HAT (Tinggi pasang surut)

$$HAT = LAT + 2(AK_1 + AO_1 + AS_2 + AM_2)$$

$$HAT = -1,26 + 2(26,74 + 24,50 + 28,08 + 12,28)$$

$$= 181,94$$

7. MHHWS (Mean high highest water spring)

$$MHHWS = LAT + 2(AK_1) + AO_1 + AS_2 + AM_2$$

$$MHHWS = -1,26 + 2(26,74) + 24,50 + 28,08 + 12,28$$

$$= 117,08$$

8. MHHWN (Mean high highest water neap)

$$\text{MHHWN} = \text{LAT} + 2(\text{AK}_1) + \text{AS}_2 + \text{AM}_2$$

$$\text{MHHWN} = -1,26 + 2(26,74) + 28,08 + 12,28$$

$$= 92,59$$

9. MLLWN (*Mean low lower water neap*)

$$\text{MLLWN} = \text{LAT} + 2(\text{AO}_1) + \text{AS}_2 + \text{AM}_2$$

$$\text{MLLWN} = -1,26 + 2(24,50) + 28,08 + 12,28$$

$$= 88,10$$

10. MLLWS (*Mean low lower water spring*)

$$\text{MLLWS} = \text{LAT} + \text{AS}_2 + \text{AM}_2$$

$$\text{MLLWS} = -1,26 + 28,08 + 12,28$$

$$= 39,10$$

11. HAT - MSL = 181,24 - 90,34

$$= 90,90$$

12. MHHWS - MSL = 117,94 - 90,34

$$= 26,74$$

13. MHHWN - MSL = 92,59 - 90,34

$$= 2,25$$

14. MLLWN - MSL = 88,10 - 90,34

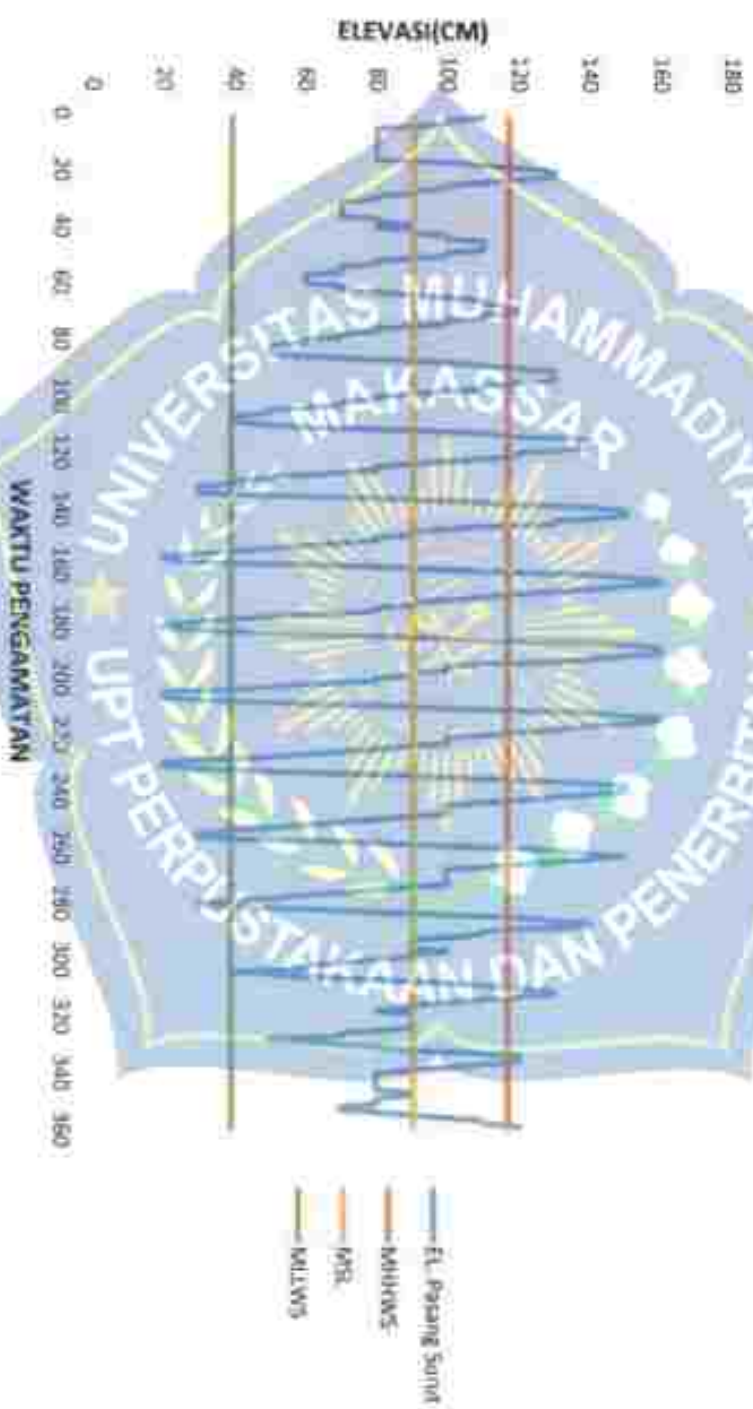
$$= -2,25$$

15. MLLWS - MSL = 39,10 - 90,34

$$= -51,24$$

16. LAT - MSL = -1,26 - 90,34

$$= -91,60$$



Gambar 37. Grafik elevasi muka air di lokasi penelitian

Tabel 28. Tabel pasang surut lokasi pantai Pa'alakkang

| | Existing (cm) | pada lokasi penelitian (cm) | Selisih pengamatan lapangan (cm) |
|-------|------------------|-----------------------------------|--|
| MSL | 89,69 | 90,34 | -0,65 |
| MHHWS | 115,87 | 117,08 | -1,21 |
| MHHWN | 108,20 | 92,59 | 15,62 |
| MLLWN | 71,18 | 88,10 | -16,91 |
| MLLWS | 55,84 | 39,10 | 16,74 |

Sumber : kementerian perhubungan direktorat jenderal perhubungan laut galesong (Existing tahun 2020)

Berdasarkan pada tabel di atas dapat diketahui perbandingan antara data pengamatan lapangan dengan data yang ada, perbedaan kenaikan muka air tersebut dapat diakibatkan oleh angin dan pemanasan global, sehingga data yang digunakan pada penelitian ini adalah pengamatan lapangan.

2. Kenaikan Muka Air Akibat Gelombang (*Wave Set Up*)

Wave Set Up (S_w) dihitung dengan menggunakan persamaan 55 sebagai berikut:

$$S_w = 0,19 \left[1 - 2,82 \sqrt{\frac{H_b}{gT^2}} \right] H_b$$

$$S_w = 0,19 \left[1 - 2,82 \sqrt{\frac{2,85}{9,81 \times 8,48^2}} \right] 2,85$$

$$S_w = 0,44 \text{ m} - 0,40 \text{ m}$$

3. Kenaikan Muka Air Akibat Angin (*Wind Set Up*)

wind Set Up (Δh) dihitung dengan menggunakan persamaan 57 berikut, dari perhitungan *fetch* maka dapat diketahui nilai *fetch* untuk arah barat laut (f_{er}) = 179959 m dan diketahui :

$$V \text{ (kecepatan angin dominan)} = 10 \text{ knot} = 5,14 \text{ m/dt}$$

$$C \text{ (konstanta)} = 3,5 \times 10^{-6}$$

$$g \text{ (gravitasi)} = 9,81 \text{ m/dt}^2$$

maka nilai *Wind Set Up* (Δh) adalah:

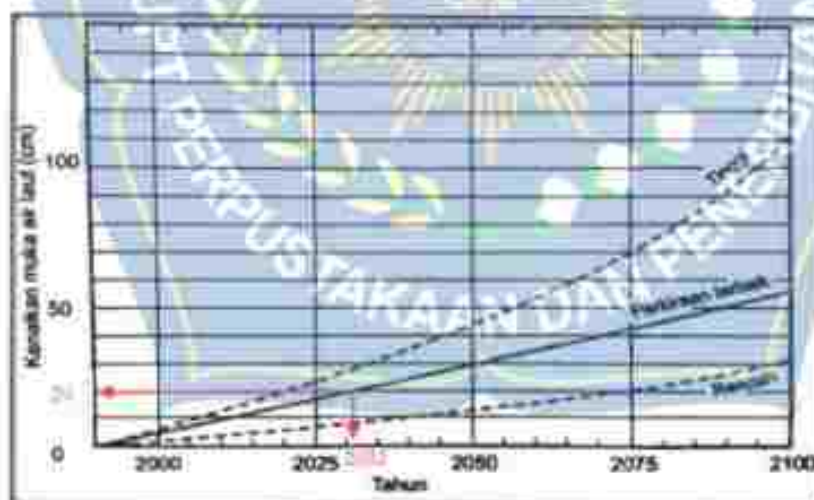
$$\Delta h = F \cdot c \cdot \frac{v^2}{2 \cdot g \cdot d}$$

$$\Delta h = 179959 \times (3,5 \times 10^{-4}) \times \frac{5,14^2}{2 \times 9,81 \times 2}$$

$$\Delta h = 0,424 \text{ m} \approx 0,40 \text{ m}$$

4. Pemanasan Global

Umur rencana bangunan penganan pantai adalah 10 tahun dari tahun 2022 sampai tahun 2032 sehingga dengan menggunakan grafik pada gambar dibawah ini di dapat kenaikan air laut akibat pemanasan global adalah 20 cm atau 0,20 m



Gambar 38. Prakirnan kenaikan muka air laut akibat pemanasan global

F. Penentuan Tipe Bangunan Pelindung Pantai

Apabila perlindungan pantai yang ada dilokasi seperti bukit pasir, pohon mangrove, terumbu karang dan lainnya sudah tidak ada atau tidak aktif lagi karena mengalami kerusakan, maka harus adanya perlindungan buatan.

Tabel 29. Tipe dan Fungsi Struktur Pengaman Pantai

| Tipe Struktur | Tujuan | Fungsi Prinsip |
|---|---|---|
| Tanggul Laut (<i>Sea dike</i>) | Mencegah gelombang atau melindungi daerah daratan rendah oleh banjir gelombang. | Memisahkan garis pantai dari <i>hinterland</i> melalui bangunan <i>impermeable</i> yang tinggi. |
| Tembok Laut (<i>Sea wall</i>) | Melindungi daratan dan infrastruktur dari banjir, gelombang dan <i>overlapping</i> . | Sebagai perkuatan pada bagian profil pantai. |
| <i>Revetment</i> | Melindungi garis pantai melawan erosi. | Sebagai perkuatan pada bagian profil pantai. |
| Pemecah gelombang (<i>Break Water</i>) | Lintuk mengurangi energi (gaya-gaya) gelombang dibelakang struktur, disamping untuk melindungi kolam pelabuhan terhadap gangguan gelombang. Elemen lain juga dapat bertujuan untuk mencegah erosi pantai. | Bertungsi sebagai pelindung kolam pelabuhan yang terletak dibelakangnya dari serangan gelombang. |
| Krib (<i>Groin</i>) | Mengatur kecepatan aliran laut yang memungkinkan adanya pengendapan dan pengangkutan sedimen dengan baik. | Mengurangi kecepatan aliran yang menyerang leher laut, mempercepat sedimentasi, menjamin keamanan tanggul atau tebing terhadap gerusan. |
| <i>Jetty</i> | Untuk mencegah pendangkalan di muara dalam kaitannya dengan pengendalian banjir. | Untuk menahan sedimen/pasir yang bergerak sepanjang pantai masuk dan mengendap di muara sungai. |
| Pengisian Pasir (<i>Sand Nourishment</i>) | Mencegah erosi pantai dan melindungi pantai dari penggerusan serta memperpanjang garis pantai. | Pengganti suplai sedimen pantai dan material dase secara alami yang tererosi oleh gelombang dan arus. |

Berdasarkan kondisi fisik di daerah pantai Palakkang dimana daerah tersebut yang langsung berhadapan dengan laut bebas yang tidak adanya pulau-pulau di sekitarnya serta pelindung alami pantai seperti pohon mangrove dan bukit pasir yang tidak ada sehingga gelombang laut yang datang menuju daratan tidak

ada yang meredamnya pada saat terjadi gelombang tinggi, sehingga menjadi salah satu faktor yang mengakibatkan abrasi di pantai dan wilayah pemukiman yang terdapat disekitaran pantai Pa'lalakkang.

Berdasarkan pada analisis peramalan gelombang menggunakan metode *Fisher-tippet type 1* untuk tinggi gelombang maksimum (H) : 3,03 m dengan periode gelombang 8,48 detik untuk peramalan 10 tahun, Tinggi gelombang rencana 2,74 m dan untuk tinggi gelombang pecah Hb : 2,85 m terjadi pada kedalaman db : 3,31 m, sesuai dengan permasalahan dilokasi penelitian yaitu gelombang tinggi dan rusaknya daratan yang diakibatkan oleh gelombang maka untuk mengatasi hal tersebut dibutuhkanlah tipe bangunan yang dapat meredam gelombang yang datang dari untuk melindungi daratan maka dapat direncanakan tipe bangunan pelindung pantai *Sea wall*, yaitu sesuai dengan tujuannya untuk Melindungi daratan dan infrastruktur dari banjir, gelombang dan overtopping dan memiliki fungsi sebagai perataan pada bagian profil pantai.

G. Perhitungan Dimensi Bangunan *Sea wall*

1. Elevasi Muka Air Rencana (DWL)

Tinggi muka air rencana (DWL) berdasarkan MHHWS = +0,78 m - 0,80 m dihitung dengan persamaan 58 berikut:

$$DWL = MHHWS + SW + \Delta H + SLR$$

$$DWL = 0,80 + 0,40 + 0,40 + 0,20$$

$$DWL = 1,80 \text{ m}$$

2. Penentuan *Run up* gelombang

Untuk bangunan pengaman pantai dengan menggunakan konstruksi batu pecah dalam perencanaan ini kemiringan bangunan yang digunakan adalah 1:3 sehingga tinggi *Run up* dihitung menggunakan persamaan 38 berikut:

$$I_r = \frac{t_{pH}}{\left(\frac{H_s}{2\pi}\right)^{0.5}}$$

$$I_r = \frac{2/3}{\left(\frac{2,60}{2\pi}\right)^{0.5}}$$

$$I_r = 2,13$$



Gambar 39. Grafik *Run-up* Gelombang

Dengan menggunakan grafik *run-up* gelombang, dihitung nilai *run up* untuk bangunan pengaman pantai (*sea wall*) dari bahan batu pecah dengan menggunakan persamaan 39 sebagai berikut :

$$\frac{R_u}{H_s} = 0,85$$

$$R_u = 0,85 \times 2,74 \text{ m}$$

$$R_u = 2,33 \text{ m} - 2,30 \text{ m}$$

3. Perhitungan Tinggi Bangunan *Sea wall*

Elevasi puncak *Sea wall* dipengaruhi oleh tinggi kebebasan, untuk perhitungan ini dengan ketentuan 0,5 m - 1,5 m ditetapkan tinggi kebebasan yaitu 0,5 m sehingga elevasi puncak dihitung dengan persamaan 64 berikut :

$$E_{\text{sea wall}} = \text{DWL} + R_u + \text{Tinggi Kebebasan}$$

$$E_{\text{sea wall}} = 1,80 \text{ m} + 2,30 \text{ m} + 1,0 \text{ m}$$

$$E_{\text{sea wall}} = 5,10 \text{ m}$$

4. Perhitungan Berat Batu Lapis Lindung

Dalam perencanaan ini bahan yang digunakan adalah Batu bersudut kasar, dimana berat satu buah batu pecah diasumsikan sama dengan berat satu butir batu lapis lindung sehingga dengan menggunakan tabel Koefisien stabilitas K_1 di dapat koefisien stabilitas ($KD = 4$) dan $\cot \theta = 2$ untuk batu lapis lindung dari batu pecah. Langkah pertama kita menghitung S_r dengan persamaan 59, barulah kita menghitung berat batu lapis lindung dengan persamaan 60, untuk lebih jelasnya dapat dilihat pada perhitungan berikut :

$$S_r = \frac{y_r}{y_a}$$

$$S_r = \frac{2,65 \text{ ton/m}^3}{1,03 \text{ ton/m}^3}$$

$$S_r = 2,573 \text{ ton/m}^3$$

- Lapis lindung pertama

$$W1 = \frac{y_r \cdot H^3}{KD(S_r - 1)^2 \cot \theta}$$

$$W1 = \frac{2,65 \times 2,74^3}{4(2,573 - 1)^2 \times 2}$$

$$W1 = 1,76 \text{ ton} \sim 1758 \text{ kg}$$

Diameter batu dengan persamaan 61 sebagai berikut:

$$D1 = \left(\frac{W}{\gamma r}\right)^{2/3} = \left(\frac{1,76}{2,65}\right)^{2/3} = 0,87 \text{ m} \sim 0,90 \text{ m}$$

- Lapis lindung kedua

$$W2 = \frac{W1}{10} = \left(\frac{1,76}{10}\right) = 0,18 \text{ ton} \sim 176 \text{ kg}$$

Diameter batu dengan persamaan 61 sebagai berikut:

$$D2 = \left(\frac{W}{\gamma r}\right)^{2/3} = \left(\frac{0,18}{2,65}\right)^{2/3} = 0,40 \text{ m}$$

5. Perhitungan Lebar Puncak Bangunan

Dengan menggunakan tabel koefisien lapis $K\Delta$ pada tabel 2.4 maka di dapat jumlah butir batu minimum, $(n) = 2$ dan nilai koefisien lapis $K\Delta = 1,15$ sehingga lebar puncak bangunan dihitung dengan menggunakan persamaan 65 berikut :

$$B = n \cdot k\Delta \left(\frac{W}{\gamma r}\right)^{2/3}$$

$$B = 2 \times 1,15 \left(\frac{1,76}{2,65}\right)^{2/3}$$

$$B = 2,01 \text{ m} \sim 2,00 \text{ m}$$

6. Perhitungan Tebal Lapisan Dinding Pengaman

Dengan menggunakan tabel koefisien lapis $K\Delta$ pada tabel 2.4 maka di dapat jumlah butir batu minimum, $(n) = 2$ dan nilai koefisien lapis $K\Delta = 1,15$ sehingga tebal lapisan dinding pengaman dihitung dengan menggunakan persamaan 62 berikut :

- Tebal lapis lindung pertama

$$t_1 = n \cdot K \Delta \left(\frac{W}{yr} \right)^{1/3}$$

$$t_1 = 2 \times 1,15 \left(\frac{1,76}{2,65} \right)^{1/3}$$

$$t_1 = 2,01 \text{ m} \sim 2,00 \text{ m}$$

- Tebal lapis lindung kedua

$$t_2 = n \cdot K \Delta \left(\frac{W}{yr} \right)^{1/3}$$

$$t_2 = 2 \times 1,15 \left(\frac{0,13}{2,65} \right)^{1/3}$$

$$t_2 = 0,93 \text{ m} \sim 0,90 \text{ m}$$

7. Perhitungan Jumlah Lapis Dinding Pengaman

Dengan menggunakan tabel koefisien lapis K pada tabel 2.4 maka di dapat jumlah butir batu minimum (n) = 2, koefisien lapis $K\Delta$ = 1,15 dan nilai porositas (P) = 37 sehingga jumlah batu lapis dinding pengaman untuk satu satuan luas (10 m²) dihitung dengan menggunakan persamaan 63 berikut:

$$N = A \cdot n \cdot K \Delta \left(1 - \frac{P}{100} \right) \left(\frac{yr}{W} \right)^{2/3}$$

$$N = 10 \text{ m}^2 \times 2 \times 1,15 \left(1 - \frac{37}{100} \right) \left(\frac{2,65}{1,76} \right)^{2/3}$$

$$N = 19,05 \sim 19 \text{ buah}$$

8. Perhitungan Pengaman Kaki Bangunan (*Toe Protection*)

Elevasi dasar *sea wall* direncanakan berada pada kedalaman -1,50 meter yang dihitung dari MSL (+0,80). Ketinggian muka air pada bangunan *sea wall* yang

menghadap ke laut direncanakan sebesar MLLWS = + 0,00 m dari elevasi dasar *sea wall*, sehingga didapatkan $d_s = 0,80 \text{ m} + 1,50 \text{ m} = 2,30 \text{ m}$

1. Tebal pelindung kaki bangunan (*Toe Protection*)

Dalam perencanaan ini, pelindung kaki (*toe protection*) menggunakan batu pecah dengan ketentuan tebal pelindung kaki : $r - 2r$ seperti pada Gambar 20. Dimana dalam perencanaan ini ditetapkan tebal pelindung kaki = r , sehingga untuk tebal pelindung kaki didapat:

$$\text{lebar pelindung kaki} = \text{tebal batu karang}$$

$$\text{lebar pelindung kaki} = 1,5 \text{ m}$$

2. Lebar pelindung kaki bangunan (*Toe Protection*)

Perhitungan lebar pelindung kaki bangunan (*toe protection*) menggunakan persamaan $B = 2H - 3H$. Dimana dalam perencanaan ini ditetapkan lebar pelindung kaki = $2H$ sehingga untuk lebar pelindung kaki (*toe protection*) didapat:

$$B = 2H$$

$$B = 2 \times 2,74 \text{ m}$$

$$B = 5,46 \text{ m} \approx 5,50 \text{ m}$$

3. Kontrol stabilitas pelindung kaki bangunan (*Toe Protection*)

Kontrol stabilitas kaki bangunan (*toe protection*) menggunakan grafik stability number (N_s) untuk pondasi dan pelindung kaki (*toe protection*). Untuk lebih jelasnya dapat dilihat di bawah ini:

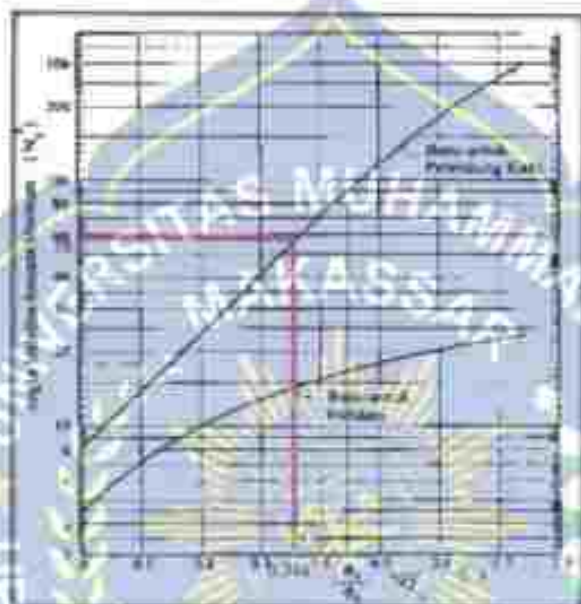
$$d_s = 2,30 \text{ m}$$

$$d_l = 2,30 \text{ m} - 1,5 \text{ m}$$

$$d_l = 0,80 \text{ m}$$

$$\frac{d1}{ds} = \frac{0,80 \text{ m}}{2,30 \text{ m}}$$

$$\frac{d1}{ds} = 0,348$$



Gambar 40. Grafik Run-up Gelombang

Dari grafik stabilitas number (N_s) untuk pelindung kaki (*toe protection*) dengan memplotkan nilai $\frac{d1}{ds}$ ke garis batu untuk pelindung kaki maka diperoleh nilai $N_s^3 = 58$ dengan syarat $N_s^3 \leq 300$, sehingga untuk nilai $58 \leq 300$ bangunan dinding pengaman pantai dikatakan aman.

4. Berat batu pelindung kaki bangunan (*Toe Protection*)

Berat butir batu untuk pelindung kaki (*toe protection*) dihitung dengan menggunakan persamaan 67 berikut :

$$W = \frac{\gamma_r H^3}{N_s^2 (S_r - 1)^2}$$

$$W = \frac{2,65 \text{ ton/m}^3 \times (2,74 \text{ m})^3}{58 \times (2,573 - 1)^2}$$

$$W = 0,243 \text{ ton}$$

Berat batu pelindung kaki (*toe protection*) dapat berupa perpanjangan dari tebal lapis dinding pengaman, sehingga beratnya adalah setengah dari berat tebal lapis dinding pengaman yaitu $\frac{W}{2}$

$$W = \frac{W}{2}$$

$$W = \frac{0,243 \text{ ton}}{2}$$

$$W = 0,121 \text{ ton}$$

Berdasarkan hasil analisis yang telah dilakukan dapat disimpulkan bahwa abrasi yang terjadi di pantai palakangk disebabkan karena gelombang. maka tipe bangunan pelindung pantai yang digunakan adalah *Sea wall*.

Tabel 30. Detail desain *Sea wall*

| Detail desain | koefisien stabilitas (KD = 4) dan cot $\theta = 2$ | |
|-------------------------|--|----------|
| | Batu pecah | Tetrapod |
| Berat batu (ton) | | |
| Layer 1 | 1,76 | 0,243 |
| Layer 2 | 0,18 | 0,121 |
| Lebar puncak (m) | 2,00 | 5,50 |
| Tebal lapis lindung (m) | | |
| Layer 1 | 2,00 | 1,5 |
| Layer 2 | 0,90 | 0,90 |
| Elevasi puncak (m) | 5,10 | |



Gambar 41. Bangunan Pelindung Pantai

BAB V PENUTUP

A. Kesimpulan

1. Sesuai dengan permasalahan dilokasi penelitian maka digunakan bangunan pelindung pantai *Sea wall* dengan elevasi puncak *sea wall* (H) = 5,10 m, kemiringan bangunan direncanakan 1:3, dengan menggunakan batu pecah untuk lapis lindung 1 diameter (D1) = 0,90 m, untuk lapis lindung 2 diameter (D2) = 0,40 m dan lebar puncak bangunan (B) = 2,00 m.
2. Untuk menganalisis tipe bangunan pelindung pantai untuk penanggulangan abrasi pantai di Jalakrang adalah tipe bangunan yang kami dapatkan yaitu bangunan *Sea wall* untuk tujuan *sea wall* itu sendiri ialah melindungi daratan dan infrastruktur dan tanjur, gelombang, dan overtopping. Dan fungsi dari *sea wall* ialah sebagai perbatasan pada bagian profil pantai.

B. Saran

1. Untuk pengembangan penelitian lebih lanjut demi kesempurnaan penelitian agar dapat bermanfaat disarankan melanjutkan sebuah penelitian mengenai bangunan pelindung pantai.
2. Untuk perencanaan *Sea wall* yang mendekati kenyataan dilapangan sebaiknya dilakukan pengukuran pada lokasi perencanaan terlebih dahulu sehingga data yang digunakan dalam perencanaan ini adalah data yang paling baru dan sesuai dengan kondisi lapangan.
3. Untuk data *Bathimetri* sebaiknya dilakukan pengukuran dilapangan agar data yang digunakan dalam perencanaan lebih akurat.
4. Pemilihan material *sea wall* sebaiknya diperhitungkan pada estimasi biaya.

DAFTAR PUSTAKA

- Agni. (2016, Agustus 29). Bangunan Pantai Dan Lepas Pantai. Retrieved From Materi Teknik Kelautan Itb
- Alamratri, A., & Sarwono, B. (2017). Perencanaan Pengaman Pantai Di Desa Tanjung Aru, Kecamatan Sebatik Timur, Nunukan, Kalimantan Utara. *Jurnal Teknik Its*, 6(2), D297-D302.
- Andi Makbul Syamsuri (2018). Pengaruh Kedalaman Pemecah Gelombang Tempung Pipa Anyaman Ecorig Gendok Terhadap Tinggi Gelombang Refleksi dan Transmisi. *Jurnal Teknik Hidro* 11(1), 65-71.
- Andi Makbul Syamsuri (2019). Prosiding Seminar Nasional Teknik Sipil 2019 Fakultas Teknik, Universitas Muhammadiyah Surakarta. Pengaruh Periode Dan Kedalaman Air Terhadap Kecelakaan Gelombang Pada Flume Persiapan Percobaan Peredaman Gelombang. 195-272.
- Bastian, D. (2021, Juli 7). Pengertian *Sea wall* (Dinding Perumahan) Pada Dermaga. *Sarjana Sipil, My. Id*. Retrieved From *Sarjanasipil, My. Id*
- Boonastria, C. M. F. (2014). Perencanaan Bangunan Pengaman Pantai Untuk Mengatasi Kemunduran Garis Pantai Teluk Penyus, Cilacap, Jawa Tengah (Doctoral Dissertation, Institut Teknologi Sepuluh Nopember Siantaya).
- BPSDM. (2018, 07). Modul 05 Perencanaan Bangunan Pantai. Retrieved From BPSDM
- Herawati, H. (2020). Pemilihan Tipe Bangunan Pelindung Pantai Di Desa Sikeli Berbasis Bahan Lokal (Doctoral Dissertation, Universitas Hasanuddin).
- Illona, D. J., Jaya, Y. V., Kosnawan, C. J., & Suhana, M. P. (2018). Global Warming Dan Pengaruhnya Terhadap Karakteristik Gelombang Laut Di Pantai Timur Pulau Bintan Yang Ditinjau Dari Perspektif Klimatologi. *Dinamika Maritim*, 7(1), 20-26.
- Manuel, A., Jasin, M. L., & Mamoto, J. D. (2017). Perencanaan Bangunan Pengaman Pantai Pada Daerah Pantai Bulo Desa Rerer Kecamatan Kombi Kabupaten Minahasa. *Jurnal Sipil Statik*, 5(6).
- Muzani, M. I., Haque, N., Pranoto, S., & Nugroho, P. (2016). Pengamanan Pantai Widuri Kab. Pemalang. *Jurnal Karya Teknik Sipil*, 70-78.
- Purnawanti, Y. N., Ayunda, L. D., & Santoso, A. R. (2020). Studi Perencanaan *Revetment* Dan *Groin* Sebagai Upaya Penanganan Erosi Pantai Camplong Di Kabupaten Sampang Madura. *Jurnal Teknik Transportasi*, 1(1), 70-85.

- Putra, I. K. S. W., Yujana, C. A., & Surayasa, N. (2017). Perencanaan Bangunan Pengaman Pantai (*Revetment*) Dengan Bahan Geobag Di Pantai Masceti, Kabupaten Gianyar, Paduraksa: Jurnal Teknik Sipil Universitas Warmadewa, 6(2), 178-189.
- Santoso, K., Putra, I. D. N. N., & Dharna, I. G. B. S. (2019). Studi Hindcasting Dalam Menentukan Karakteristik Gelombang Dan Klasifikasi Zona Surf Di Pantai Uluwatu, Bali. *Journal Of Marine And Aquatic Sciences*, 5(1), 119-130.
- Sasongko, D. P. (2014). Menentukan Tipe Pasang Surut Dan Muka Air Rencana Perairan Laut Kabupaten Bengkulu Tengah Menggunakan Metode Admiralty. *Maspura Journal: Marine Science Research*, 6(1), 1-12.
- Suntoyo, & Dkk. (2014). Struktur Pelindung Pantai. Surabaya: Pt. Medisa.
- Sutrisno, F. (2010, Juli 20). *Revetment*. Retrieved From Fadlysutrisno.Wordpress.Com
- Tommy Jansen, I., & Dendit, A. (2017). Perencanaan Bangunan Pengaman Pantai Pada Daerah Pantai Kita Bajo Kabupaten Minahasa Utara. *Jurnal Sipil Statik*, 335-343.
- Triatmodjo, B. (1999). *Teknik Pantai*. Yogyakarta: Beta.
- Triatmodjo, B. (2011). *Perencanaan Bangunan Pantai*. Yogyakarta: Beta Offset.
- Triatmodjo, B. (2016). *Teknik Pantai*. Yogyakarta: Beta.
- Yannovita, W., Besperi, B., & Gurmyan, G. (2017). Desain *breakwater* Sisi Miring Sebagai Upaya Mengantisipasi Limpasan Air Laut Pada Bangunan *Revetment* Di Pantai Malubero Kota Bengkulu. *Inersia: Jurnal Teknik Sipil*, 9(2), 1-10.
- Yumai, Y., Tilaar, S., & Makarai, V. H. (2019). Kajian Pemanfaatan Lahan Permukiman Di Kawasan Perbukitan Kota Manado. *SPASIAL*, 6(3), 862-871.



STASIUN METEOROLOGI MARITIM PAOETERE

TAHUN 2012

| Tgl | Januari | | Februari | | Maret | | April | | Mey | | Juni | | Juli | | Agustus | | September | | Oktober | | November | | Desember | |
|-----|-------------------|-------------------|-------------------|-------------------|-------------------|-------------------|-------------------|-------------------|-------------------|-------------------|-------------------|-------------------|-------------------|-------------------|-------------------|-------------------|-------------------|-------------------|-------------------|-------------------|-------------------|-------------------|-------------------|-------------------|
| | Km Mm Rata2 |
| 1 | 8 | 1 | 1 | 1 | 1 | 1 | 1 | 1 | 1 | 1 | 1 | 1 | 1 | 1 | 1 | 1 | 1 | 1 | 1 | 1 | 1 | 1 | 1 | 1 |
| 2 | 1 | 1 | 1 | 1 | 1 | 1 | 1 | 1 | 1 | 1 | 1 | 1 | 1 | 1 | 1 | 1 | 1 | 1 | 1 | 1 | 1 | 1 | 1 | 1 |
| 3 | 1 | 1 | 1 | 1 | 1 | 1 | 1 | 1 | 1 | 1 | 1 | 1 | 1 | 1 | 1 | 1 | 1 | 1 | 1 | 1 | 1 | 1 | 1 | 1 |
| 4 | 1 | 1 | 1 | 1 | 1 | 1 | 1 | 1 | 1 | 1 | 1 | 1 | 1 | 1 | 1 | 1 | 1 | 1 | 1 | 1 | 1 | 1 | 1 | 1 |
| 5 | 1 | 1 | 1 | 1 | 1 | 1 | 1 | 1 | 1 | 1 | 1 | 1 | 1 | 1 | 1 | 1 | 1 | 1 | 1 | 1 | 1 | 1 | 1 | 1 |
| 6 | 1 | 1 | 1 | 1 | 1 | 1 | 1 | 1 | 1 | 1 | 1 | 1 | 1 | 1 | 1 | 1 | 1 | 1 | 1 | 1 | 1 | 1 | 1 | 1 |
| 7 | 1 | 1 | 1 | 1 | 1 | 1 | 1 | 1 | 1 | 1 | 1 | 1 | 1 | 1 | 1 | 1 | 1 | 1 | 1 | 1 | 1 | 1 | 1 | 1 |
| 8 | 1 | 1 | 1 | 1 | 1 | 1 | 1 | 1 | 1 | 1 | 1 | 1 | 1 | 1 | 1 | 1 | 1 | 1 | 1 | 1 | 1 | 1 | 1 | 1 |
| 9 | 1 | 1 | 1 | 1 | 1 | 1 | 1 | 1 | 1 | 1 | 1 | 1 | 1 | 1 | 1 | 1 | 1 | 1 | 1 | 1 | 1 | 1 | 1 | 1 |
| 10 | 1 | 1 | 1 | 1 | 1 | 1 | 1 | 1 | 1 | 1 | 1 | 1 | 1 | 1 | 1 | 1 | 1 | 1 | 1 | 1 | 1 | 1 | 1 | 1 |
| 11 | 1 | 1 | 1 | 1 | 1 | 1 | 1 | 1 | 1 | 1 | 1 | 1 | 1 | 1 | 1 | 1 | 1 | 1 | 1 | 1 | 1 | 1 | 1 | 1 |
| 12 | 1 | 1 | 1 | 1 | 1 | 1 | 1 | 1 | 1 | 1 | 1 | 1 | 1 | 1 | 1 | 1 | 1 | 1 | 1 | 1 | 1 | 1 | 1 | 1 |
| 13 | 1 | 1 | 1 | 1 | 1 | 1 | 1 | 1 | 1 | 1 | 1 | 1 | 1 | 1 | 1 | 1 | 1 | 1 | 1 | 1 | 1 | 1 | 1 | 1 |
| 14 | 1 | 1 | 1 | 1 | 1 | 1 | 1 | 1 | 1 | 1 | 1 | 1 | 1 | 1 | 1 | 1 | 1 | 1 | 1 | 1 | 1 | 1 | 1 | 1 |
| 15 | 1 | 1 | 1 | 1 | 1 | 1 | 1 | 1 | 1 | 1 | 1 | 1 | 1 | 1 | 1 | 1 | 1 | 1 | 1 | 1 | 1 | 1 | 1 | 1 |
| 16 | 1 | 1 | 1 | 1 | 1 | 1 | 1 | 1 | 1 | 1 | 1 | 1 | 1 | 1 | 1 | 1 | 1 | 1 | 1 | 1 | 1 | 1 | 1 | 1 |
| 17 | 1 | 1 | 1 | 1 | 1 | 1 | 1 | 1 | 1 | 1 | 1 | 1 | 1 | 1 | 1 | 1 | 1 | 1 | 1 | 1 | 1 | 1 | 1 | 1 |
| 18 | 1 | 1 | 1 | 1 | 1 | 1 | 1 | 1 | 1 | 1 | 1 | 1 | 1 | 1 | 1 | 1 | 1 | 1 | 1 | 1 | 1 | 1 | 1 | 1 |
| 19 | 1 | 1 | 1 | 1 | 1 | 1 | 1 | 1 | 1 | 1 | 1 | 1 | 1 | 1 | 1 | 1 | 1 | 1 | 1 | 1 | 1 | 1 | 1 | 1 |
| 20 | 1 | 1 | 1 | 1 | 1 | 1 | 1 | 1 | 1 | 1 | 1 | 1 | 1 | 1 | 1 | 1 | 1 | 1 | 1 | 1 | 1 | 1 | 1 | 1 |
| 21 | 1 | 1 | 1 | 1 | 1 | 1 | 1 | 1 | 1 | 1 | 1 | 1 | 1 | 1 | 1 | 1 | 1 | 1 | 1 | 1 | 1 | 1 | 1 | 1 |
| 22 | 1 | 1 | 1 | 1 | 1 | 1 | 1 | 1 | 1 | 1 | 1 | 1 | 1 | 1 | 1 | 1 | 1 | 1 | 1 | 1 | 1 | 1 | 1 | 1 |
| 23 | 1 | 1 | 1 | 1 | 1 | 1 | 1 | 1 | 1 | 1 | 1 | 1 | 1 | 1 | 1 | 1 | 1 | 1 | 1 | 1 | 1 | 1 | 1 | 1 |
| 24 | 1 | 1 | 1 | 1 | 1 | 1 | 1 | 1 | 1 | 1 | 1 | 1 | 1 | 1 | 1 | 1 | 1 | 1 | 1 | 1 | 1 | 1 | 1 | 1 |
| 25 | 1 | 1 | 1 | 1 | 1 | 1 | 1 | 1 | 1 | 1 | 1 | 1 | 1 | 1 | 1 | 1 | 1 | 1 | 1 | 1 | 1 | 1 | 1 | 1 |
| 26 | 1 | 1 | 1 | 1 | 1 | 1 | 1 | 1 | 1 | 1 | 1 | 1 | 1 | 1 | 1 | 1 | 1 | 1 | 1 | 1 | 1 | 1 | 1 | 1 |
| 27 | 1 | 1 | 1 | 1 | 1 | 1 | 1 | 1 | 1 | 1 | 1 | 1 | 1 | 1 | 1 | 1 | 1 | 1 | 1 | 1 | 1 | 1 | 1 | 1 |
| 28 | 1 | 1 | 1 | 1 | 1 | 1 | 1 | 1 | 1 | 1 | 1 | 1 | 1 | 1 | 1 | 1 | 1 | 1 | 1 | 1 | 1 | 1 | 1 | 1 |
| 29 | 1 | 1 | 1 | 1 | 1 | 1 | 1 | 1 | 1 | 1 | 1 | 1 | 1 | 1 | 1 | 1 | 1 | 1 | 1 | 1 | 1 | 1 | 1 | 1 |
| 30 | 1 | 1 | 1 | 1 | 1 | 1 | 1 | 1 | 1 | 1 | 1 | 1 | 1 | 1 | 1 | 1 | 1 | 1 | 1 | 1 | 1 | 1 | 1 | 1 |
| 31 | 1 | 1 | 1 | 1 | 1 | 1 | 1 | 1 | 1 | 1 | 1 | 1 | 1 | 1 | 1 | 1 | 1 | 1 | 1 | 1 | 1 | 1 | 1 | 1 |

Keterangan : Kecepatan angin dalam knots

Elevasi = 5 m



TABUN 2013

| Tgl | Januari | | Februari | | Maret | | April | | Maj | | Jun | | Jul | | Agustus | | September | | Oktober | | November | | Desember | | |
|-----|-------------|------------|-------------|------------|-------------|------------|-------------|------------|-------------|------------|-------------|------------|-------------|------------|-------------|------------|-------------|------------|-------------|------------|-------------|------------|-------------|------------|--|
| | Km Rata2 | Km Maks | |
| 1 | 18 | 8 | 31 | | | | | | | | | | | | | | | | | | | | | | |
| 2 | 12 | 4 | 23 | | | | | | | | | | | | | | | | | | | | | | |
| 3 | 11 | 3 | 46 | | | | | | | | | | | | | | | | | | | | | | |
| 4 | 11 | 4 | 41 | | | | | | | | | | | | | | | | | | | | | | |
| 5 | 19 | 8 | 13 | | | | | | | | | | | | | | | | | | | | | | |
| 6 | 11 | 5 | 36 | | | | | | | | | | | | | | | | | | | | | | |
| 7 | 13 | 3 | 11 | | | | | | | | | | | | | | | | | | | | | | |
| 8 | 18 | 8 | 11 | | | | | | | | | | | | | | | | | | | | | | |
| 9 | 5 | 2 | 21 | | | | | | | | | | | | | | | | | | | | | | |
| 10 | 18 | 6 | 11 | | | | | | | | | | | | | | | | | | | | | | |
| 11 | 17 | 4 | 24 | | | | | | | | | | | | | | | | | | | | | | |
| 12 | 6 | 2 | 14 | | | | | | | | | | | | | | | | | | | | | | |
| 13 | 6 | 2 | 14 | | | | | | | | | | | | | | | | | | | | | | |
| 14 | 21 | 8 | 15 | | | | | | | | | | | | | | | | | | | | | | |
| 15 | 14 | 2 | 15 | | | | | | | | | | | | | | | | | | | | | | |
| 16 | 1 | 1 | 11 | | | | | | | | | | | | | | | | | | | | | | |
| 17 | 2 | 1 | 11 | | | | | | | | | | | | | | | | | | | | | | |
| 18 | 16 | 1 | 11 | | | | | | | | | | | | | | | | | | | | | | |
| 19 | 12 | 1 | 11 | | | | | | | | | | | | | | | | | | | | | | |
| 20 | 11 | 1 | 11 | | | | | | | | | | | | | | | | | | | | | | |
| 21 | 11 | 1 | 11 | | | | | | | | | | | | | | | | | | | | | | |
| 22 | 11 | 1 | 11 | | | | | | | | | | | | | | | | | | | | | | |
| 23 | 11 | 1 | 11 | | | | | | | | | | | | | | | | | | | | | | |
| 24 | 11 | 1 | 11 | | | | | | | | | | | | | | | | | | | | | | |
| 25 | 11 | 1 | 11 | | | | | | | | | | | | | | | | | | | | | | |
| 26 | 11 | 1 | 11 | | | | | | | | | | | | | | | | | | | | | | |
| 27 | 11 | 1 | 11 | | | | | | | | | | | | | | | | | | | | | | |
| 28 | 11 | 1 | 11 | | | | | | | | | | | | | | | | | | | | | | |
| 29 | 11 | 1 | 11 | | | | | | | | | | | | | | | | | | | | | | |
| 30 | 11 | 1 | 11 | | | | | | | | | | | | | | | | | | | | | | |
| 31 | 11 | 1 | 11 | | | | | | | | | | | | | | | | | | | | | | |



Keterangan : Kecepatan angin dalam knots

1 Elevasi = 5 m

TAHUN 2014

| Tgl | Januari | | Februari | | Maret | | April | | Mey | | Juni | | Juli | | Agustus | | September | | Oktober | | November | | Desember | |
|-----|----------|----------|----------|----------|----------|----------|----------|----------|----------|----------|----------|----------|----------|----------|----------|----------|-----------|----------|----------|----------|----------|----------|----------|----------|
| | Km Mm | Km Mm | Km Mm | Km Mm | Km Mm | Km Mm | Km Mm | Km Mm |
| 1 | 8 | 1 | 8 | 1 | 8 | 1 | 8 | 1 | 8 | 1 | 8 | 1 | 8 | 1 | 8 | 1 | 8 | 1 | 8 | 1 | 8 | 1 | 8 | 1 |
| 2 | 9 | 2 | 9 | 2 | 9 | 2 | 9 | 2 | 9 | 2 | 9 | 2 | 9 | 2 | 9 | 2 | 9 | 2 | 9 | 2 | 9 | 2 | 9 | 2 |
| 3 | 10 | 3 | 10 | 3 | 10 | 3 | 10 | 3 | 10 | 3 | 10 | 3 | 10 | 3 | 10 | 3 | 10 | 3 | 10 | 3 | 10 | 3 | 10 | 3 |
| 4 | 11 | 4 | 11 | 4 | 11 | 4 | 11 | 4 | 11 | 4 | 11 | 4 | 11 | 4 | 11 | 4 | 11 | 4 | 11 | 4 | 11 | 4 | 11 | 4 |
| 5 | 12 | 5 | 12 | 5 | 12 | 5 | 12 | 5 | 12 | 5 | 12 | 5 | 12 | 5 | 12 | 5 | 12 | 5 | 12 | 5 | 12 | 5 | 12 | 5 |
| 6 | 13 | 6 | 13 | 6 | 13 | 6 | 13 | 6 | 13 | 6 | 13 | 6 | 13 | 6 | 13 | 6 | 13 | 6 | 13 | 6 | 13 | 6 | 13 | 6 |
| 7 | 14 | 7 | 14 | 7 | 14 | 7 | 14 | 7 | 14 | 7 | 14 | 7 | 14 | 7 | 14 | 7 | 14 | 7 | 14 | 7 | 14 | 7 | 14 | 7 |
| 8 | 15 | 8 | 15 | 8 | 15 | 8 | 15 | 8 | 15 | 8 | 15 | 8 | 15 | 8 | 15 | 8 | 15 | 8 | 15 | 8 | 15 | 8 | 15 | 8 |
| 9 | 16 | 9 | 16 | 9 | 16 | 9 | 16 | 9 | 16 | 9 | 16 | 9 | 16 | 9 | 16 | 9 | 16 | 9 | 16 | 9 | 16 | 9 | 16 | 9 |
| 10 | 17 | 10 | 17 | 10 | 17 | 10 | 17 | 10 | 17 | 10 | 17 | 10 | 17 | 10 | 17 | 10 | 17 | 10 | 17 | 10 | 17 | 10 | 17 | 10 |
| 11 | 18 | 11 | 18 | 11 | 18 | 11 | 18 | 11 | 18 | 11 | 18 | 11 | 18 | 11 | 18 | 11 | 18 | 11 | 18 | 11 | 18 | 11 | 18 | 11 |
| 12 | 19 | 12 | 19 | 12 | 19 | 12 | 19 | 12 | 19 | 12 | 19 | 12 | 19 | 12 | 19 | 12 | 19 | 12 | 19 | 12 | 19 | 12 | 19 | 12 |
| 13 | 20 | 13 | 20 | 13 | 20 | 13 | 20 | 13 | 20 | 13 | 20 | 13 | 20 | 13 | 20 | 13 | 20 | 13 | 20 | 13 | 20 | 13 | 20 | 13 |
| 14 | 21 | 14 | 21 | 14 | 21 | 14 | 21 | 14 | 21 | 14 | 21 | 14 | 21 | 14 | 21 | 14 | 21 | 14 | 21 | 14 | 21 | 14 | 21 | 14 |
| 15 | 22 | 15 | 22 | 15 | 22 | 15 | 22 | 15 | 22 | 15 | 22 | 15 | 22 | 15 | 22 | 15 | 22 | 15 | 22 | 15 | 22 | 15 | 22 | 15 |
| 16 | 23 | 16 | 23 | 16 | 23 | 16 | 23 | 16 | 23 | 16 | 23 | 16 | 23 | 16 | 23 | 16 | 23 | 16 | 23 | 16 | 23 | 16 | 23 | 16 |
| 17 | 24 | 17 | 24 | 17 | 24 | 17 | 24 | 17 | 24 | 17 | 24 | 17 | 24 | 17 | 24 | 17 | 24 | 17 | 24 | 17 | 24 | 17 | 24 | 17 |
| 18 | 25 | 18 | 25 | 18 | 25 | 18 | 25 | 18 | 25 | 18 | 25 | 18 | 25 | 18 | 25 | 18 | 25 | 18 | 25 | 18 | 25 | 18 | 25 | 18 |
| 19 | 26 | 19 | 26 | 19 | 26 | 19 | 26 | 19 | 26 | 19 | 26 | 19 | 26 | 19 | 26 | 19 | 26 | 19 | 26 | 19 | 26 | 19 | 26 | 19 |
| 20 | 27 | 20 | 27 | 20 | 27 | 20 | 27 | 20 | 27 | 20 | 27 | 20 | 27 | 20 | 27 | 20 | 27 | 20 | 27 | 20 | 27 | 20 | 27 | 20 |
| 21 | 28 | 21 | 28 | 21 | 28 | 21 | 28 | 21 | 28 | 21 | 28 | 21 | 28 | 21 | 28 | 21 | 28 | 21 | 28 | 21 | 28 | 21 | 28 | 21 |
| 22 | 29 | 22 | 29 | 22 | 29 | 22 | 29 | 22 | 29 | 22 | 29 | 22 | 29 | 22 | 29 | 22 | 29 | 22 | 29 | 22 | 29 | 22 | 29 | 22 |
| 23 | 30 | 23 | 30 | 23 | 30 | 23 | 30 | 23 | 30 | 23 | 30 | 23 | 30 | 23 | 30 | 23 | 30 | 23 | 30 | 23 | 30 | 23 | 30 | 23 |
| 24 | 31 | 24 | 31 | 24 | 31 | 24 | 31 | 24 | 31 | 24 | 31 | 24 | 31 | 24 | 31 | 24 | 31 | 24 | 31 | 24 | 31 | 24 | 31 | 24 |
| 25 | 1 | 25 | 1 | 25 | 1 | 25 | 1 | 25 | 1 | 25 | 1 | 25 | 1 | 25 | 1 | 25 | 1 | 25 | 1 | 25 | 1 | 25 | 1 | 25 |
| 26 | 2 | 26 | 2 | 26 | 2 | 26 | 2 | 26 | 2 | 26 | 2 | 26 | 2 | 26 | 2 | 26 | 2 | 26 | 2 | 26 | 2 | 26 | 2 | 26 |
| 27 | 3 | 27 | 3 | 27 | 3 | 27 | 3 | 27 | 3 | 27 | 3 | 27 | 3 | 27 | 3 | 27 | 3 | 27 | 3 | 27 | 3 | 27 | 3 | 27 |
| 28 | 4 | 28 | 4 | 28 | 4 | 28 | 4 | 28 | 4 | 28 | 4 | 28 | 4 | 28 | 4 | 28 | 4 | 28 | 4 | 28 | 4 | 28 | 4 | 28 |
| 29 | 5 | 29 | 5 | 29 | 5 | 29 | 5 | 29 | 5 | 29 | 5 | 29 | 5 | 29 | 5 | 29 | 5 | 29 | 5 | 29 | 5 | 29 | 5 | 29 |
| 30 | 6 | 30 | 6 | 30 | 6 | 30 | 6 | 30 | 6 | 30 | 6 | 30 | 6 | 30 | 6 | 30 | 6 | 30 | 6 | 30 | 6 | 30 | 6 | 30 |
| 31 | 7 | 31 | 7 | 31 | 7 | 31 | 7 | 31 | 7 | 31 | 7 | 31 | 7 | 31 | 7 | 31 | 7 | 31 | 7 | 31 | 7 | 31 | 7 | 31 |

Keterangan : Kecepatan angin dalam knots

Fluviasi = 5 m

TAHUN 2015

| Tgl | Januari | | Februari | | Maret | | April | | Mאי | | Juni | | Juli | | Agustus | | September | | Oktober | | November | | Desember | |
|-----|----------|----------|----------|----------|----------|----------|----------|----------|----------|----------|----------|----------|----------|----------|----------|----------|-----------|----------|----------|----------|----------|----------|----------|----------|
| | Km/ Hari | Km/ Hari | Km/ Hari | Km/ Hari | Km/ Hari | Km/ Hari | Km/ Hari | Km/ Hari |
| 1 | 4 | 11 | 3 | 2 | 2 | 2 | 2 | 2 | 2 | 2 | 2 | 2 | 2 | 2 | 2 | 2 | 2 | 2 | 2 | 2 | 2 | 2 | 2 | 2 |
| 2 | 6 | 11 | 4 | 3 | 3 | 3 | 3 | 3 | 3 | 3 | 3 | 3 | 3 | 3 | 3 | 3 | 3 | 3 | 3 | 3 | 3 | 3 | 3 | 3 |
| 3 | 14 | 27 | 11 | 8 | 11 | 7 | 7 | 7 | 7 | 7 | 7 | 7 | 7 | 7 | 7 | 7 | 7 | 7 | 7 | 7 | 7 | 7 | 7 | 7 |
| 4 | 8 | 11 | 3 | 2 | 2 | 2 | 2 | 2 | 2 | 2 | 2 | 2 | 2 | 2 | 2 | 2 | 2 | 2 | 2 | 2 | 2 | 2 | 2 | 2 |
| 5 | 16 | 31 | 8 | 7 | 11 | 8 | 8 | 8 | 8 | 8 | 8 | 8 | 8 | 8 | 8 | 8 | 8 | 8 | 8 | 8 | 8 | 8 | 8 | 8 |
| 6 | 7 | 11 | 4 | 3 | 3 | 3 | 3 | 3 | 3 | 3 | 3 | 3 | 3 | 3 | 3 | 3 | 3 | 3 | 3 | 3 | 3 | 3 | 3 | 3 |
| 7 | 8 | 11 | 4 | 3 | 3 | 3 | 3 | 3 | 3 | 3 | 3 | 3 | 3 | 3 | 3 | 3 | 3 | 3 | 3 | 3 | 3 | 3 | 3 | 3 |
| 8 | 7 | 11 | 4 | 3 | 3 | 3 | 3 | 3 | 3 | 3 | 3 | 3 | 3 | 3 | 3 | 3 | 3 | 3 | 3 | 3 | 3 | 3 | 3 | 3 |
| 9 | 15 | 31 | 8 | 7 | 11 | 8 | 8 | 8 | 8 | 8 | 8 | 8 | 8 | 8 | 8 | 8 | 8 | 8 | 8 | 8 | 8 | 8 | 8 | 8 |
| 10 | 8 | 11 | 4 | 3 | 3 | 3 | 3 | 3 | 3 | 3 | 3 | 3 | 3 | 3 | 3 | 3 | 3 | 3 | 3 | 3 | 3 | 3 | 3 | 3 |
| 11 | 13 | 27 | 11 | 8 | 11 | 7 | 7 | 7 | 7 | 7 | 7 | 7 | 7 | 7 | 7 | 7 | 7 | 7 | 7 | 7 | 7 | 7 | 7 | 7 |
| 12 | 7 | 11 | 4 | 3 | 3 | 3 | 3 | 3 | 3 | 3 | 3 | 3 | 3 | 3 | 3 | 3 | 3 | 3 | 3 | 3 | 3 | 3 | 3 | 3 |
| 13 | 7 | 11 | 4 | 3 | 3 | 3 | 3 | 3 | 3 | 3 | 3 | 3 | 3 | 3 | 3 | 3 | 3 | 3 | 3 | 3 | 3 | 3 | 3 | 3 |
| 14 | 7 | 11 | 4 | 3 | 3 | 3 | 3 | 3 | 3 | 3 | 3 | 3 | 3 | 3 | 3 | 3 | 3 | 3 | 3 | 3 | 3 | 3 | 3 | 3 |
| 15 | 7 | 11 | 4 | 3 | 3 | 3 | 3 | 3 | 3 | 3 | 3 | 3 | 3 | 3 | 3 | 3 | 3 | 3 | 3 | 3 | 3 | 3 | 3 | 3 |
| 16 | 8 | 11 | 4 | 3 | 3 | 3 | 3 | 3 | 3 | 3 | 3 | 3 | 3 | 3 | 3 | 3 | 3 | 3 | 3 | 3 | 3 | 3 | 3 | 3 |
| 17 | 8 | 11 | 4 | 3 | 3 | 3 | 3 | 3 | 3 | 3 | 3 | 3 | 3 | 3 | 3 | 3 | 3 | 3 | 3 | 3 | 3 | 3 | 3 | 3 |
| 18 | 7 | 11 | 4 | 3 | 3 | 3 | 3 | 3 | 3 | 3 | 3 | 3 | 3 | 3 | 3 | 3 | 3 | 3 | 3 | 3 | 3 | 3 | 3 | 3 |
| 19 | 8 | 11 | 4 | 3 | 3 | 3 | 3 | 3 | 3 | 3 | 3 | 3 | 3 | 3 | 3 | 3 | 3 | 3 | 3 | 3 | 3 | 3 | 3 | 3 |
| 20 | 8 | 11 | 4 | 3 | 3 | 3 | 3 | 3 | 3 | 3 | 3 | 3 | 3 | 3 | 3 | 3 | 3 | 3 | 3 | 3 | 3 | 3 | 3 | 3 |
| 21 | 8 | 11 | 4 | 3 | 3 | 3 | 3 | 3 | 3 | 3 | 3 | 3 | 3 | 3 | 3 | 3 | 3 | 3 | 3 | 3 | 3 | 3 | 3 | 3 |
| 22 | 8 | 11 | 4 | 3 | 3 | 3 | 3 | 3 | 3 | 3 | 3 | 3 | 3 | 3 | 3 | 3 | 3 | 3 | 3 | 3 | 3 | 3 | 3 | 3 |
| 23 | 8 | 11 | 4 | 3 | 3 | 3 | 3 | 3 | 3 | 3 | 3 | 3 | 3 | 3 | 3 | 3 | 3 | 3 | 3 | 3 | 3 | 3 | 3 | 3 |
| 24 | 8 | 11 | 4 | 3 | 3 | 3 | 3 | 3 | 3 | 3 | 3 | 3 | 3 | 3 | 3 | 3 | 3 | 3 | 3 | 3 | 3 | 3 | 3 | 3 |
| 25 | 8 | 11 | 4 | 3 | 3 | 3 | 3 | 3 | 3 | 3 | 3 | 3 | 3 | 3 | 3 | 3 | 3 | 3 | 3 | 3 | 3 | 3 | 3 | 3 |
| 26 | 8 | 11 | 4 | 3 | 3 | 3 | 3 | 3 | 3 | 3 | 3 | 3 | 3 | 3 | 3 | 3 | 3 | 3 | 3 | 3 | 3 | 3 | 3 | 3 |
| 27 | 8 | 11 | 4 | 3 | 3 | 3 | 3 | 3 | 3 | 3 | 3 | 3 | 3 | 3 | 3 | 3 | 3 | 3 | 3 | 3 | 3 | 3 | 3 | 3 |
| 28 | 8 | 11 | 4 | 3 | 3 | 3 | 3 | 3 | 3 | 3 | 3 | 3 | 3 | 3 | 3 | 3 | 3 | 3 | 3 | 3 | 3 | 3 | 3 | 3 |
| 29 | 8 | 11 | 4 | 3 | 3 | 3 | 3 | 3 | 3 | 3 | 3 | 3 | 3 | 3 | 3 | 3 | 3 | 3 | 3 | 3 | 3 | 3 | 3 | 3 |
| 30 | 8 | 11 | 4 | 3 | 3 | 3 | 3 | 3 | 3 | 3 | 3 | 3 | 3 | 3 | 3 | 3 | 3 | 3 | 3 | 3 | 3 | 3 | 3 | 3 |
| 31 | 8 | 11 | 4 | 3 | 3 | 3 | 3 | 3 | 3 | 3 | 3 | 3 | 3 | 3 | 3 | 3 | 3 | 3 | 3 | 3 | 3 | 3 | 3 | 3 |

Keterangan : Kecepatan angin dalam knots
Elevasi = 5 m

TAHUN 2016

| Tgl | Januari | | Februari | | Maret | | April | | Mei | | Juni | | Juli | | Agustus | | September | | Oktober | | November | | Desember | |
|-----|-----------|-----------|-----------|-----------|-----------|-----------|-----------|-----------|-----------|-----------|-----------|-----------|-----------|-----------|-----------|-----------|-----------|-----------|-----------|-----------|-----------|-----------|-----------|-----------|
| | Km Max | Km Min |
| 1 | - | - | - | - | - | - | - | - | - | - | - | - | - | - | - | - | - | - | - | - | - | - | - | - |
| 2 | - | - | - | - | - | - | - | - | - | - | - | - | - | - | - | - | - | - | - | - | - | - | - | - |
| 3 | - | - | - | - | - | - | - | - | - | - | - | - | - | - | - | - | - | - | - | - | - | - | - | - |
| 4 | - | - | - | - | - | - | - | - | - | - | - | - | - | - | - | - | - | - | - | - | - | - | - | - |
| 5 | - | - | - | - | - | - | - | - | - | - | - | - | - | - | - | - | - | - | - | - | - | - | - | - |
| 6 | - | - | - | - | - | - | - | - | - | - | - | - | - | - | - | - | - | - | - | - | - | - | - | - |
| 7 | - | - | - | - | - | - | - | - | - | - | - | - | - | - | - | - | - | - | - | - | - | - | - | - |
| 8 | - | - | - | - | - | - | - | - | - | - | - | - | - | - | - | - | - | - | - | - | - | - | - | - |
| 9 | - | - | - | - | - | - | - | - | - | - | - | - | - | - | - | - | - | - | - | - | - | - | - | - |
| 10 | - | - | - | - | - | - | - | - | - | - | - | - | - | - | - | - | - | - | - | - | - | - | - | - |
| 11 | - | - | - | - | - | - | - | - | - | - | - | - | - | - | - | - | - | - | - | - | - | - | - | - |
| 12 | - | - | - | - | - | - | - | - | - | - | - | - | - | - | - | - | - | - | - | - | - | - | - | - |
| 13 | - | - | - | - | - | - | - | - | - | - | - | - | - | - | - | - | - | - | - | - | - | - | - | - |
| 14 | - | - | - | - | - | - | - | - | - | - | - | - | - | - | - | - | - | - | - | - | - | - | - | - |
| 15 | - | - | - | - | - | - | - | - | - | - | - | - | - | - | - | - | - | - | - | - | - | - | - | - |
| 16 | - | - | - | - | - | - | - | - | - | - | - | - | - | - | - | - | - | - | - | - | - | - | - | - |
| 17 | - | - | - | - | - | - | - | - | - | - | - | - | - | - | - | - | - | - | - | - | - | - | - | - |
| 18 | - | - | - | - | - | - | - | - | - | - | - | - | - | - | - | - | - | - | - | - | - | - | - | - |
| 19 | - | - | - | - | - | - | - | - | - | - | - | - | - | - | - | - | - | - | - | - | - | - | - | - |
| 20 | - | - | - | - | - | - | - | - | - | - | - | - | - | - | - | - | - | - | - | - | - | - | - | - |
| 21 | - | - | - | - | - | - | - | - | - | - | - | - | - | - | - | - | - | - | - | - | - | - | - | - |
| 22 | - | - | - | - | - | - | - | - | - | - | - | - | - | - | - | - | - | - | - | - | - | - | - | - |
| 23 | - | - | - | - | - | - | - | - | - | - | - | - | - | - | - | - | - | - | - | - | - | - | - | - |
| 24 | - | - | - | - | - | - | - | - | - | - | - | - | - | - | - | - | - | - | - | - | - | - | - | - |
| 25 | - | - | - | - | - | - | - | - | - | - | - | - | - | - | - | - | - | - | - | - | - | - | - | - |
| 26 | - | - | - | - | - | - | - | - | - | - | - | - | - | - | - | - | - | - | - | - | - | - | - | - |
| 27 | - | - | - | - | - | - | - | - | - | - | - | - | - | - | - | - | - | - | - | - | - | - | - | - |
| 28 | - | - | - | - | - | - | - | - | - | - | - | - | - | - | - | - | - | - | - | - | - | - | - | - |
| 29 | - | - | - | - | - | - | - | - | - | - | - | - | - | - | - | - | - | - | - | - | - | - | - | - |
| 30 | - | - | - | - | - | - | - | - | - | - | - | - | - | - | - | - | - | - | - | - | - | - | - | - |
| 31 | - | - | - | - | - | - | - | - | - | - | - | - | - | - | - | - | - | - | - | - | - | - | - | - |

Keterangan : Kecepatan angin dalam knots

Elevasi = 5 m



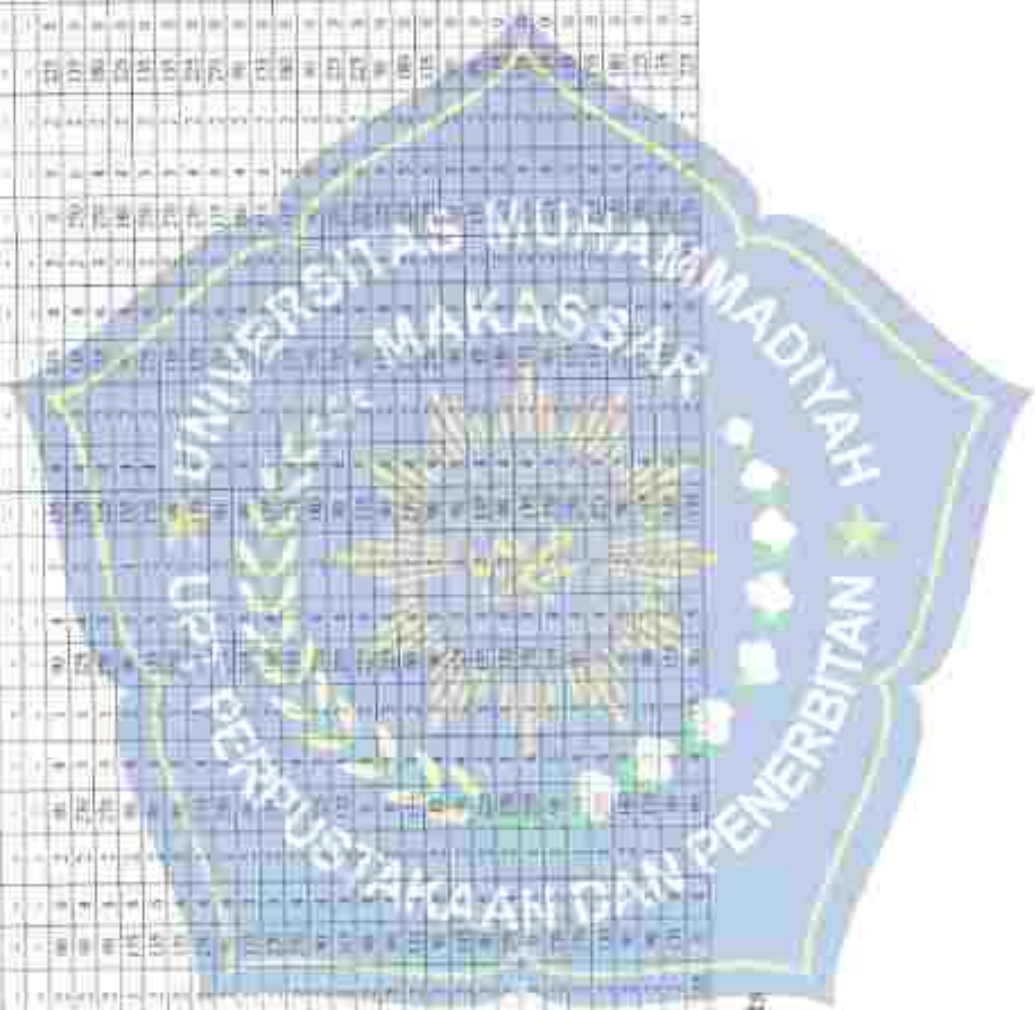
| Tgl | Januari | | Februari | | Maret | | April | | Maid | | Juni | | Agustus | | September | | Oktober | | November | | Desember | |
|-----|----------|----------|----------|----------|----------|----------|----------|----------|----------|----------|----------|----------|----------|----------|-----------|----------|----------|----------|----------|----------|----------|----------|
| | Km Mm | Km Mm | Km Mm | Km Mm | Km Mm | Km Mm | Km Mm | Km Mm |
| 1 | - | - | - | - | - | - | - | - | - | - | - | - | - | - | - | - | - | - | - | - | - | - |
| 2 | - | - | - | - | - | - | - | - | - | - | - | - | - | - | - | - | - | - | - | - | - | - |
| 3 | - | - | - | - | - | - | - | - | - | - | - | - | - | - | - | - | - | - | - | - | - | - |
| 4 | 8 | 8 | 8 | 8 | 8 | 8 | 8 | 8 | 8 | 8 | 8 | 8 | 8 | 8 | 8 | 8 | 8 | 8 | 8 | 8 | 8 | 8 |
| 5 | 8 | 8 | 8 | 8 | 8 | 8 | 8 | 8 | 8 | 8 | 8 | 8 | 8 | 8 | 8 | 8 | 8 | 8 | 8 | 8 | 8 | 8 |
| 6 | 8 | 8 | 8 | 8 | 8 | 8 | 8 | 8 | 8 | 8 | 8 | 8 | 8 | 8 | 8 | 8 | 8 | 8 | 8 | 8 | 8 | 8 |
| 7 | 2 | 2 | 2 | 2 | 2 | 2 | 2 | 2 | 2 | 2 | 2 | 2 | 2 | 2 | 2 | 2 | 2 | 2 | 2 | 2 | 2 | 2 |
| 8 | 1 | 1 | 1 | 1 | 1 | 1 | 1 | 1 | 1 | 1 | 1 | 1 | 1 | 1 | 1 | 1 | 1 | 1 | 1 | 1 | 1 | 1 |
| 9 | 1 | 1 | 1 | 1 | 1 | 1 | 1 | 1 | 1 | 1 | 1 | 1 | 1 | 1 | 1 | 1 | 1 | 1 | 1 | 1 | 1 | 1 |
| 10 | 1 | 1 | 1 | 1 | 1 | 1 | 1 | 1 | 1 | 1 | 1 | 1 | 1 | 1 | 1 | 1 | 1 | 1 | 1 | 1 | 1 | 1 |
| 11 | 1 | 1 | 1 | 1 | 1 | 1 | 1 | 1 | 1 | 1 | 1 | 1 | 1 | 1 | 1 | 1 | 1 | 1 | 1 | 1 | 1 | 1 |
| 12 | 1 | 1 | 1 | 1 | 1 | 1 | 1 | 1 | 1 | 1 | 1 | 1 | 1 | 1 | 1 | 1 | 1 | 1 | 1 | 1 | 1 | 1 |
| 13 | 1 | 1 | 1 | 1 | 1 | 1 | 1 | 1 | 1 | 1 | 1 | 1 | 1 | 1 | 1 | 1 | 1 | 1 | 1 | 1 | 1 | 1 |
| 14 | 1 | 1 | 1 | 1 | 1 | 1 | 1 | 1 | 1 | 1 | 1 | 1 | 1 | 1 | 1 | 1 | 1 | 1 | 1 | 1 | 1 | 1 |
| 15 | 1 | 1 | 1 | 1 | 1 | 1 | 1 | 1 | 1 | 1 | 1 | 1 | 1 | 1 | 1 | 1 | 1 | 1 | 1 | 1 | 1 | 1 |
| 16 | 1 | 1 | 1 | 1 | 1 | 1 | 1 | 1 | 1 | 1 | 1 | 1 | 1 | 1 | 1 | 1 | 1 | 1 | 1 | 1 | 1 | 1 |
| 17 | 1 | 1 | 1 | 1 | 1 | 1 | 1 | 1 | 1 | 1 | 1 | 1 | 1 | 1 | 1 | 1 | 1 | 1 | 1 | 1 | 1 | 1 |
| 18 | 1 | 1 | 1 | 1 | 1 | 1 | 1 | 1 | 1 | 1 | 1 | 1 | 1 | 1 | 1 | 1 | 1 | 1 | 1 | 1 | 1 | 1 |
| 19 | 1 | 1 | 1 | 1 | 1 | 1 | 1 | 1 | 1 | 1 | 1 | 1 | 1 | 1 | 1 | 1 | 1 | 1 | 1 | 1 | 1 | 1 |
| 20 | 1 | 1 | 1 | 1 | 1 | 1 | 1 | 1 | 1 | 1 | 1 | 1 | 1 | 1 | 1 | 1 | 1 | 1 | 1 | 1 | 1 | 1 |
| 21 | 1 | 1 | 1 | 1 | 1 | 1 | 1 | 1 | 1 | 1 | 1 | 1 | 1 | 1 | 1 | 1 | 1 | 1 | 1 | 1 | 1 | 1 |
| 22 | 1 | 1 | 1 | 1 | 1 | 1 | 1 | 1 | 1 | 1 | 1 | 1 | 1 | 1 | 1 | 1 | 1 | 1 | 1 | 1 | 1 | 1 |
| 23 | 1 | 1 | 1 | 1 | 1 | 1 | 1 | 1 | 1 | 1 | 1 | 1 | 1 | 1 | 1 | 1 | 1 | 1 | 1 | 1 | 1 | 1 |
| 24 | 1 | 1 | 1 | 1 | 1 | 1 | 1 | 1 | 1 | 1 | 1 | 1 | 1 | 1 | 1 | 1 | 1 | 1 | 1 | 1 | 1 | 1 |
| 25 | 1 | 1 | 1 | 1 | 1 | 1 | 1 | 1 | 1 | 1 | 1 | 1 | 1 | 1 | 1 | 1 | 1 | 1 | 1 | 1 | 1 | 1 |
| 26 | 1 | 1 | 1 | 1 | 1 | 1 | 1 | 1 | 1 | 1 | 1 | 1 | 1 | 1 | 1 | 1 | 1 | 1 | 1 | 1 | 1 | 1 |
| 27 | 1 | 1 | 1 | 1 | 1 | 1 | 1 | 1 | 1 | 1 | 1 | 1 | 1 | 1 | 1 | 1 | 1 | 1 | 1 | 1 | 1 | 1 |
| 28 | 1 | 1 | 1 | 1 | 1 | 1 | 1 | 1 | 1 | 1 | 1 | 1 | 1 | 1 | 1 | 1 | 1 | 1 | 1 | 1 | 1 | 1 |
| 29 | 1 | 1 | 1 | 1 | 1 | 1 | 1 | 1 | 1 | 1 | 1 | 1 | 1 | 1 | 1 | 1 | 1 | 1 | 1 | 1 | 1 | 1 |
| 30 | 1 | 1 | 1 | 1 | 1 | 1 | 1 | 1 | 1 | 1 | 1 | 1 | 1 | 1 | 1 | 1 | 1 | 1 | 1 | 1 | 1 | 1 |
| 31 | 1 | 1 | 1 | 1 | 1 | 1 | 1 | 1 | 1 | 1 | 1 | 1 | 1 | 1 | 1 | 1 | 1 | 1 | 1 | 1 | 1 | 1 |

Keterangan : Kecepatan angin dalam knots

Elevasi = 5 m

TAHUN 2018

| Tgl | Januari | | Februari | | Maret | | April | | Mei | | Juni | | Juli | | Agustus | | September | | Oktober | | November | | Desember | |
|-----|---------|----|----------|----|-------|----|-------|----|-----|----|------|----|------|----|---------|----|-----------|----|---------|----|----------|----|----------|----|
| | Km | Mm | Km | Mm | Km | Mm | Km | Mm | Km | Mm | Km | Mm | Km | Mm | Km | Mm | Km | Mm | Km | Mm | Km | Mm | Km | Mm |
| 1 | | | | | | | | | | | | | | | | | | | | | | | | |
| 2 | | | | | | | | | | | | | | | | | | | | | | | | |
| 3 | | | | | | | | | | | | | | | | | | | | | | | | |
| 4 | | | | | | | | | | | | | | | | | | | | | | | | |
| 5 | | | | | | | | | | | | | | | | | | | | | | | | |
| 6 | | | | | | | | | | | | | | | | | | | | | | | | |
| 7 | | | | | | | | | | | | | | | | | | | | | | | | |
| 8 | | | | | | | | | | | | | | | | | | | | | | | | |
| 9 | | | | | | | | | | | | | | | | | | | | | | | | |
| 10 | | | | | | | | | | | | | | | | | | | | | | | | |
| 11 | | | | | | | | | | | | | | | | | | | | | | | | |
| 12 | | | | | | | | | | | | | | | | | | | | | | | | |
| 13 | | | | | | | | | | | | | | | | | | | | | | | | |
| 14 | | | | | | | | | | | | | | | | | | | | | | | | |
| 15 | | | | | | | | | | | | | | | | | | | | | | | | |
| 16 | | | | | | | | | | | | | | | | | | | | | | | | |
| 17 | | | | | | | | | | | | | | | | | | | | | | | | |
| 18 | | | | | | | | | | | | | | | | | | | | | | | | |
| 19 | | | | | | | | | | | | | | | | | | | | | | | | |
| 20 | | | | | | | | | | | | | | | | | | | | | | | | |
| 21 | | | | | | | | | | | | | | | | | | | | | | | | |
| 22 | | | | | | | | | | | | | | | | | | | | | | | | |
| 23 | | | | | | | | | | | | | | | | | | | | | | | | |
| 24 | | | | | | | | | | | | | | | | | | | | | | | | |
| 25 | | | | | | | | | | | | | | | | | | | | | | | | |
| 26 | | | | | | | | | | | | | | | | | | | | | | | | |
| 27 | | | | | | | | | | | | | | | | | | | | | | | | |
| 28 | | | | | | | | | | | | | | | | | | | | | | | | |
| 29 | | | | | | | | | | | | | | | | | | | | | | | | |
| 30 | | | | | | | | | | | | | | | | | | | | | | | | |
| 31 | | | | | | | | | | | | | | | | | | | | | | | | |



Keterangan : Kecepatan angin dalam knots

Elevasi = 5 m

TAHUN 2019

| Tgl | Januari | | Februari | | Maret | | April | | Mאי | | Juni | | Juli | | Agustus | | September | | Oktober | | November | | Desember | |
|-----|---------|----|----------|----|-------|----|-------|----|-----|----|------|----|------|----|---------|----|-----------|----|---------|----|----------|----|----------|----|
| | Km | Mm | Km | Mm | Km | Mm | Km | Mm | Km | Mm | Km | Mm | Km | Mm | Km | Mm | Km | Mm | Km | Mm | Km | Mm | Km | Mm |
| 1 | - | - | - | - | - | - | - | - | - | - | - | - | - | - | - | - | - | - | - | - | - | - | - | - |
| 2 | - | - | - | - | - | - | - | - | - | - | - | - | - | - | - | - | - | - | - | - | - | - | - | - |
| 3 | - | - | - | - | - | - | - | - | - | - | - | - | - | - | - | - | - | - | - | - | - | - | - | - |
| 4 | - | - | - | - | - | - | - | - | - | - | - | - | - | - | - | - | - | - | - | - | - | - | - | - |
| 5 | - | - | - | - | - | - | - | - | - | - | - | - | - | - | - | - | - | - | - | - | - | - | - | - |
| 6 | - | - | - | - | - | - | - | - | - | - | - | - | - | - | - | - | - | - | - | - | - | - | - | - |
| 7 | - | - | - | - | - | - | - | - | - | - | - | - | - | - | - | - | - | - | - | - | - | - | - | - |
| 8 | - | - | - | - | - | - | - | - | - | - | - | - | - | - | - | - | - | - | - | - | - | - | - | - |
| 9 | - | - | - | - | - | - | - | - | - | - | - | - | - | - | - | - | - | - | - | - | - | - | - | - |
| 10 | - | - | - | - | - | - | - | - | - | - | - | - | - | - | - | - | - | - | - | - | - | - | - | - |
| 11 | - | - | - | - | - | - | - | - | - | - | - | - | - | - | - | - | - | - | - | - | - | - | - | - |
| 12 | - | - | - | - | - | - | - | - | - | - | - | - | - | - | - | - | - | - | - | - | - | - | - | - |
| 13 | - | - | - | - | - | - | - | - | - | - | - | - | - | - | - | - | - | - | - | - | - | - | - | - |
| 14 | - | - | - | - | - | - | - | - | - | - | - | - | - | - | - | - | - | - | - | - | - | - | - | - |
| 15 | - | - | - | - | - | - | - | - | - | - | - | - | - | - | - | - | - | - | - | - | - | - | - | - |
| 16 | - | - | - | - | - | - | - | - | - | - | - | - | - | - | - | - | - | - | - | - | - | - | - | - |
| 17 | - | - | - | - | - | - | - | - | - | - | - | - | - | - | - | - | - | - | - | - | - | - | - | - |
| 18 | - | - | - | - | - | - | - | - | - | - | - | - | - | - | - | - | - | - | - | - | - | - | - | - |
| 19 | - | - | - | - | - | - | - | - | - | - | - | - | - | - | - | - | - | - | - | - | - | - | - | - |
| 20 | - | - | - | - | - | - | - | - | - | - | - | - | - | - | - | - | - | - | - | - | - | - | - | - |
| 21 | - | - | - | - | - | - | - | - | - | - | - | - | - | - | - | - | - | - | - | - | - | - | - | - |
| 22 | - | - | - | - | - | - | - | - | - | - | - | - | - | - | - | - | - | - | - | - | - | - | - | - |
| 23 | - | - | - | - | - | - | - | - | - | - | - | - | - | - | - | - | - | - | - | - | - | - | - | - |
| 24 | - | - | - | - | - | - | - | - | - | - | - | - | - | - | - | - | - | - | - | - | - | - | - | - |
| 25 | - | - | - | - | - | - | - | - | - | - | - | - | - | - | - | - | - | - | - | - | - | - | - | - |
| 26 | - | - | - | - | - | - | - | - | - | - | - | - | - | - | - | - | - | - | - | - | - | - | - | - |
| 27 | - | - | - | - | - | - | - | - | - | - | - | - | - | - | - | - | - | - | - | - | - | - | - | - |
| 28 | - | - | - | - | - | - | - | - | - | - | - | - | - | - | - | - | - | - | - | - | - | - | - | - |
| 29 | - | - | - | - | - | - | - | - | - | - | - | - | - | - | - | - | - | - | - | - | - | - | - | - |
| 30 | - | - | - | - | - | - | - | - | - | - | - | - | - | - | - | - | - | - | - | - | - | - | - | - |
| 31 | - | - | - | - | - | - | - | - | - | - | - | - | - | - | - | - | - | - | - | - | - | - | - | - |

Keterangan : Kecepatan angin dalam knots

Elevasi = 5 m



TAHUN 2020

| Tgl | Januari | | | Februari | | | Maret | | | April | | | Mאי | | | Juni | | | Agustus | | | September | | | Oktober | | | November | | | Desember | | |
|-----|----------|----------|----------|----------|----------|----------|----------|----------|----------|----------|----------|----------|----------|----------|----------|----------|----------|----------|----------|----------|----------|-----------|----------|----------|----------|----------|----------|----------|----------|----------|----------|--|--|
| | Km Mm | Km Mm | Km Mm | Km Mm | Km Mm | Km Mm | Km Mm | Km Mm | Km Mm | Km Mm | | |
| 1 | | | | | | | | | | | | | | | | | | | | | | | | | | | | | | | | | |
| 2 | | | | | | | | | | | | | | | | | | | | | | | | | | | | | | | | | |
| 3 | | | | | | | | | | | | | | | | | | | | | | | | | | | | | | | | | |
| 4 | | | | | | | | | | | | | | | | | | | | | | | | | | | | | | | | | |
| 5 | | | | | | | | | | | | | | | | | | | | | | | | | | | | | | | | | |
| 6 | | | | | | | | | | | | | | | | | | | | | | | | | | | | | | | | | |
| 7 | | | | | | | | | | | | | | | | | | | | | | | | | | | | | | | | | |
| 8 | | | | | | | | | | | | | | | | | | | | | | | | | | | | | | | | | |
| 9 | | | | | | | | | | | | | | | | | | | | | | | | | | | | | | | | | |
| 10 | | | | | | | | | | | | | | | | | | | | | | | | | | | | | | | | | |
| 11 | | | | | | | | | | | | | | | | | | | | | | | | | | | | | | | | | |
| 12 | | | | | | | | | | | | | | | | | | | | | | | | | | | | | | | | | |
| 13 | | | | | | | | | | | | | | | | | | | | | | | | | | | | | | | | | |
| 14 | | | | | | | | | | | | | | | | | | | | | | | | | | | | | | | | | |
| 15 | | | | | | | | | | | | | | | | | | | | | | | | | | | | | | | | | |
| 16 | | | | | | | | | | | | | | | | | | | | | | | | | | | | | | | | | |
| 17 | | | | | | | | | | | | | | | | | | | | | | | | | | | | | | | | | |
| 18 | | | | | | | | | | | | | | | | | | | | | | | | | | | | | | | | | |
| 19 | | | | | | | | | | | | | | | | | | | | | | | | | | | | | | | | | |
| 20 | | | | | | | | | | | | | | | | | | | | | | | | | | | | | | | | | |
| 21 | | | | | | | | | | | | | | | | | | | | | | | | | | | | | | | | | |
| 22 | | | | | | | | | | | | | | | | | | | | | | | | | | | | | | | | | |
| 23 | | | | | | | | | | | | | | | | | | | | | | | | | | | | | | | | | |
| 24 | | | | | | | | | | | | | | | | | | | | | | | | | | | | | | | | | |
| 25 | | | | | | | | | | | | | | | | | | | | | | | | | | | | | | | | | |
| 26 | | | | | | | | | | | | | | | | | | | | | | | | | | | | | | | | | |
| 27 | | | | | | | | | | | | | | | | | | | | | | | | | | | | | | | | | |
| 28 | | | | | | | | | | | | | | | | | | | | | | | | | | | | | | | | | |
| 29 | | | | | | | | | | | | | | | | | | | | | | | | | | | | | | | | | |
| 30 | | | | | | | | | | | | | | | | | | | | | | | | | | | | | | | | | |
| 31 | | | | | | | | | | | | | | | | | | | | | | | | | | | | | | | | | |

Keterangan : Kecepatan angin dalam knots

Elevasi = 5 m



TAHUN 2021

| Tgl | Januari | | Februari | | Maret | | April | | Mei | | Juni | | Juli | | Agustus | | September | | Oktober | | November | | Desember | |
|-----|---------|-----|-------------|-------------|-------|-----|-------------|-------------|-----|-----|-------------|-------------|------|-----|-------------|-------------|-----------|-----|-------------|-------------|----------|-----|-------------|-------------|
| | Min | Max | Kes. (km/h) | Kes. (km/h) | Min | Max | Kes. (km/h) | Kes. (km/h) | Min | Max | Kes. (km/h) | Kes. (km/h) | Min | Max | Kes. (km/h) | Kes. (km/h) | Min | Max | Kes. (km/h) | Kes. (km/h) | Min | Max | Kes. (km/h) | Kes. (km/h) |
| 1 | 4 | 2 | 270 | 3 | 8 | 2 | 217 | 43 | 1 | 85 | 4 | 2 | 186 | 4 | 3 | 258 | 1 | 2 | 124 | 4 | 2 | 93 | 4 | 1 |
| 2 | 1 | 1 | 188 | 3 | 3 | 1 | 177 | 1 | 1 | 177 | 1 | 1 | 157 | 1 | 2 | 133 | 4 | 2 | 125 | 1 | 2 | 69 | 1 | 1 |
| 3 | 1 | 1 | 188 | 1 | 1 | 1 | 177 | 1 | 1 | 177 | 1 | 1 | 157 | 1 | 2 | 133 | 4 | 2 | 125 | 1 | 2 | 191 | 1 | 2 |
| 4 | 1 | 1 | 188 | 1 | 1 | 1 | 177 | 1 | 1 | 177 | 1 | 1 | 157 | 1 | 2 | 133 | 4 | 2 | 125 | 1 | 2 | 113 | 4 | 2 |
| 5 | 1 | 1 | 188 | 1 | 1 | 1 | 177 | 1 | 1 | 177 | 1 | 1 | 157 | 1 | 2 | 133 | 4 | 2 | 125 | 1 | 2 | 113 | 4 | 2 |
| 6 | 1 | 1 | 188 | 1 | 1 | 1 | 177 | 1 | 1 | 177 | 1 | 1 | 157 | 1 | 2 | 133 | 4 | 2 | 125 | 1 | 2 | 113 | 4 | 2 |
| 7 | 1 | 1 | 188 | 1 | 1 | 1 | 177 | 1 | 1 | 177 | 1 | 1 | 157 | 1 | 2 | 133 | 4 | 2 | 125 | 1 | 2 | 113 | 4 | 2 |
| 8 | 1 | 1 | 188 | 1 | 1 | 1 | 177 | 1 | 1 | 177 | 1 | 1 | 157 | 1 | 2 | 133 | 4 | 2 | 125 | 1 | 2 | 113 | 4 | 2 |
| 9 | 1 | 1 | 188 | 1 | 1 | 1 | 177 | 1 | 1 | 177 | 1 | 1 | 157 | 1 | 2 | 133 | 4 | 2 | 125 | 1 | 2 | 113 | 4 | 2 |
| 10 | 1 | 1 | 188 | 1 | 1 | 1 | 177 | 1 | 1 | 177 | 1 | 1 | 157 | 1 | 2 | 133 | 4 | 2 | 125 | 1 | 2 | 113 | 4 | 2 |
| 11 | 1 | 1 | 188 | 1 | 1 | 1 | 177 | 1 | 1 | 177 | 1 | 1 | 157 | 1 | 2 | 133 | 4 | 2 | 125 | 1 | 2 | 113 | 4 | 2 |
| 12 | 1 | 1 | 188 | 1 | 1 | 1 | 177 | 1 | 1 | 177 | 1 | 1 | 157 | 1 | 2 | 133 | 4 | 2 | 125 | 1 | 2 | 113 | 4 | 2 |
| 13 | 1 | 1 | 188 | 1 | 1 | 1 | 177 | 1 | 1 | 177 | 1 | 1 | 157 | 1 | 2 | 133 | 4 | 2 | 125 | 1 | 2 | 113 | 4 | 2 |
| 14 | 1 | 1 | 188 | 1 | 1 | 1 | 177 | 1 | 1 | 177 | 1 | 1 | 157 | 1 | 2 | 133 | 4 | 2 | 125 | 1 | 2 | 113 | 4 | 2 |
| 15 | 1 | 1 | 188 | 1 | 1 | 1 | 177 | 1 | 1 | 177 | 1 | 1 | 157 | 1 | 2 | 133 | 4 | 2 | 125 | 1 | 2 | 113 | 4 | 2 |
| 16 | 1 | 1 | 188 | 1 | 1 | 1 | 177 | 1 | 1 | 177 | 1 | 1 | 157 | 1 | 2 | 133 | 4 | 2 | 125 | 1 | 2 | 113 | 4 | 2 |
| 17 | 1 | 1 | 188 | 1 | 1 | 1 | 177 | 1 | 1 | 177 | 1 | 1 | 157 | 1 | 2 | 133 | 4 | 2 | 125 | 1 | 2 | 113 | 4 | 2 |
| 18 | 1 | 1 | 188 | 1 | 1 | 1 | 177 | 1 | 1 | 177 | 1 | 1 | 157 | 1 | 2 | 133 | 4 | 2 | 125 | 1 | 2 | 113 | 4 | 2 |
| 19 | 1 | 1 | 188 | 1 | 1 | 1 | 177 | 1 | 1 | 177 | 1 | 1 | 157 | 1 | 2 | 133 | 4 | 2 | 125 | 1 | 2 | 113 | 4 | 2 |
| 20 | 1 | 1 | 188 | 1 | 1 | 1 | 177 | 1 | 1 | 177 | 1 | 1 | 157 | 1 | 2 | 133 | 4 | 2 | 125 | 1 | 2 | 113 | 4 | 2 |
| 21 | 1 | 1 | 188 | 1 | 1 | 1 | 177 | 1 | 1 | 177 | 1 | 1 | 157 | 1 | 2 | 133 | 4 | 2 | 125 | 1 | 2 | 113 | 4 | 2 |
| 22 | 1 | 1 | 188 | 1 | 1 | 1 | 177 | 1 | 1 | 177 | 1 | 1 | 157 | 1 | 2 | 133 | 4 | 2 | 125 | 1 | 2 | 113 | 4 | 2 |
| 23 | 1 | 1 | 188 | 1 | 1 | 1 | 177 | 1 | 1 | 177 | 1 | 1 | 157 | 1 | 2 | 133 | 4 | 2 | 125 | 1 | 2 | 113 | 4 | 2 |
| 24 | 1 | 1 | 188 | 1 | 1 | 1 | 177 | 1 | 1 | 177 | 1 | 1 | 157 | 1 | 2 | 133 | 4 | 2 | 125 | 1 | 2 | 113 | 4 | 2 |
| 25 | 1 | 1 | 188 | 1 | 1 | 1 | 177 | 1 | 1 | 177 | 1 | 1 | 157 | 1 | 2 | 133 | 4 | 2 | 125 | 1 | 2 | 113 | 4 | 2 |
| 26 | 1 | 1 | 188 | 1 | 1 | 1 | 177 | 1 | 1 | 177 | 1 | 1 | 157 | 1 | 2 | 133 | 4 | 2 | 125 | 1 | 2 | 113 | 4 | 2 |
| 27 | 1 | 1 | 188 | 1 | 1 | 1 | 177 | 1 | 1 | 177 | 1 | 1 | 157 | 1 | 2 | 133 | 4 | 2 | 125 | 1 | 2 | 113 | 4 | 2 |
| 28 | 1 | 1 | 188 | 1 | 1 | 1 | 177 | 1 | 1 | 177 | 1 | 1 | 157 | 1 | 2 | 133 | 4 | 2 | 125 | 1 | 2 | 113 | 4 | 2 |
| 29 | 1 | 1 | 188 | 1 | 1 | 1 | 177 | 1 | 1 | 177 | 1 | 1 | 157 | 1 | 2 | 133 | 4 | 2 | 125 | 1 | 2 | 113 | 4 | 2 |
| 30 | 1 | 1 | 188 | 1 | 1 | 1 | 177 | 1 | 1 | 177 | 1 | 1 | 157 | 1 | 2 | 133 | 4 | 2 | 125 | 1 | 2 | 113 | 4 | 2 |
| 31 | 1 | 1 | 188 | 1 | 1 | 1 | 177 | 1 | 1 | 177 | 1 | 1 | 157 | 1 | 2 | 133 | 4 | 2 | 125 | 1 | 2 | 113 | 4 | 2 |

Keterangan : Kecepatan angin dalam knots

Elevasi = 5 m



JUDUL GAMBAR

FETCH EFEKTIF
DI LOKASI STUDI



KETERANGAN

UTARA

BARAT LAUT

BARAT

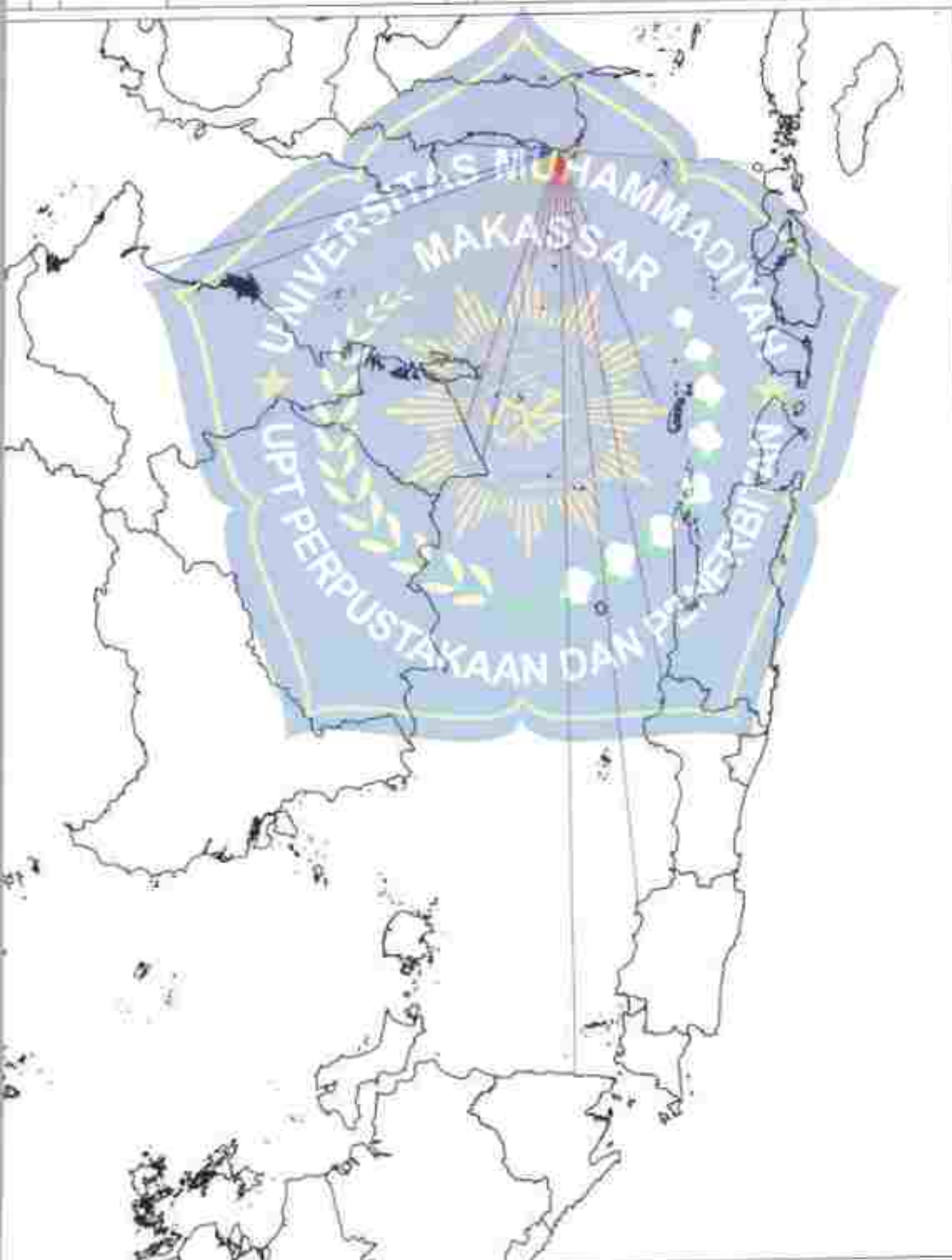
BARAT DAYA

SELATAN

TENGGARA

TIMUR

TIMUR LAUT



⇒ Koreksi Tegangan Angin Tahun 2012

| Bulan | Angin | Desentral | U | | Z | U ₁₀ | | W ₁ | W ₂ | U (m/s) | | t | U ₁₀ (m/s) | | U ₁₀ | U ₁₀ | Form of |
|-----------|-------|-----------|-------|-------|---|-----------------|-------|----------------|----------------|---------|-------|-------|-----------------------|-------|-----------------|-----------------|---------|
| | | | (m/s) | (m/s) | | (m/s) | (m/s) | | | (m/s) | (m/s) | | | | | | |
| 1 | 2 | 3 | 4 | 5 | 6 | 7 | 8 | 9 | 10 | 11 | 12 | 13 | 14 | 15 | 16 | 17 | |
| Januari | B | 270 | 19 | 5,77 | 5 | 0,78 | 1,10 | 1,11 | 13,75 | 22,77 | 1,27 | 9,90 | 13,40 | 13,40 | 13,40 | 13,40 | |
| Februari | B | 270 | 27 | 11,31 | 5 | 11,40 | 1,10 | 1,07 | 14,68 | 19,29 | 1,30 | 10,61 | 12,50 | 12,50 | 12,50 | 12,50 | |
| Maret | B | 270 | 32 | 11,71 | 5 | 12,29 | 1,10 | 1,07 | 14,68 | 19,29 | 1,30 | 10,61 | 12,50 | 12,50 | 12,50 | 12,50 | |
| April | B | 180 | 11 | 3,65 | 5 | 3,24 | 1,10 | 1,11 | 4,74 | 11,71 | 1,28 | 6,81 | 7,32 | 7,32 | 7,32 | 7,32 | |
| Mai | B | 180 | 18 | 5,12 | 5 | 5,08 | 1,10 | 1,11 | 11,80 | 19,76 | 1,28 | 8,57 | 9,07 | 9,07 | 9,07 | 9,07 | |
| Juni | B | 180 | 14 | 7,20 | 5 | 7,10 | 1,10 | 1,11 | 10,04 | 18,77 | 1,28 | 8,07 | 8,57 | 8,57 | 8,57 | 8,57 | |
| Juli | B | 180 | 11 | 6,24 | 5 | 7,54 | 1,10 | 1,11 | 10,11 | 18,81 | 1,28 | 7,60 | 8,10 | 8,10 | 8,10 | 8,10 | |
| Agustus | B | 180 | 11 | 5,74 | 5 | 5,68 | 1,10 | 1,11 | 10,11 | 18,81 | 1,28 | 7,60 | 8,10 | 8,10 | 8,10 | 8,10 | |
| September | B | 180 | 11 | 5,59 | 5 | 5,53 | 1,10 | 1,11 | 10,11 | 18,81 | 1,28 | 7,60 | 8,10 | 8,10 | 8,10 | 8,10 | |
| Oktober | B | 270 | 14 | 7,20 | 5 | 7,10 | 1,10 | 1,11 | 10,04 | 18,77 | 1,28 | 8,07 | 8,57 | 8,57 | 8,57 | 8,57 | |
| November | B | 270 | 11 | 6,08 | 5 | 7,28 | 1,10 | 1,11 | 10,11 | 18,81 | 1,28 | 7,60 | 8,10 | 8,10 | 8,10 | 8,10 | |
| Desember | B | 15 | 16 | 5,12 | 5 | 6,08 | 1,10 | 1,11 | 11,80 | 19,76 | 1,28 | 8,57 | 9,07 | 9,07 | 9,07 | 9,07 | |

⇒ Koreksi Tegangan Angin Tahun 2013

| Bulan | Angin | Desentral | U | | Z | U ₁₀ | | W ₁ | W ₂ | U (m/s) | | t | U ₁₀ (m/s) | | U ₁₀ | U ₁₀ | Form of |
|-----------|-------|-----------|-------|-------|---|-----------------|-------|----------------|----------------|---------|-------|------|-----------------------|------|-----------------|-----------------|---------|
| | | | (m/s) | (m/s) | | (m/s) | (m/s) | | | (m/s) | (m/s) | | | | | | |
| 1 | 2 | 3 | 4 | 5 | 6 | 7 | 8 | 9 | 10 | 11 | 12 | 13 | 14 | 15 | 16 | 17 | |
| Januari | B | 180 | 11 | 3,65 | 5 | 3,24 | 1,10 | 1,11 | 4,74 | 11,71 | 1,28 | 6,81 | 7,32 | 7,32 | 7,32 | 7,32 | |
| Februari | - | - | - | - | - | - | - | - | - | - | - | - | - | - | - | - | - |
| Maret | - | - | - | - | - | - | - | - | - | - | - | - | - | - | - | - | - |
| April | - | - | - | - | - | - | - | - | - | - | - | - | - | - | - | - | - |
| Mai | - | - | - | - | - | - | - | - | - | - | - | - | - | - | - | - | - |
| Juni | - | - | - | - | - | - | - | - | - | - | - | - | - | - | - | - | - |
| Juli | B | 180 | 11 | 3,65 | 5 | 3,24 | 1,10 | 1,11 | 4,74 | 11,71 | 1,28 | 6,81 | 7,32 | 7,32 | 7,32 | 7,32 | |
| Agustus | - | - | - | - | - | - | - | - | - | - | - | - | - | - | - | - | - |
| September | - | - | - | - | - | - | - | - | - | - | - | - | - | - | - | - | - |
| Oktober | - | - | - | - | - | - | - | - | - | - | - | - | - | - | - | - | - |
| November | - | - | - | - | - | - | - | - | - | - | - | - | - | - | - | - | - |
| Desember | - | - | - | - | - | - | - | - | - | - | - | - | - | - | - | - | - |

⇒ Koreksi Tegangan Angin Tahun 2014

| Bulan | Angin | Desentral | U | | Z | U ₁₀ | | W ₁ | W ₂ | U (m/s) | | t | U ₁₀ (m/s) | | U ₁₀ | U ₁₀ | Form of |
|-----------|-------|-----------|-------|-------|---|-----------------|-------|----------------|----------------|---------|-------|------|-----------------------|------|-----------------|-----------------|---------|
| | | | (m/s) | (m/s) | | (m/s) | (m/s) | | | (m/s) | (m/s) | | | | | | |
| 1 | 2 | 3 | 4 | 5 | 6 | 7 | 8 | 9 | 10 | 11 | 12 | 13 | 14 | 15 | 16 | 17 | |
| Januari | B | 180 | 11 | 3,65 | 5 | 3,24 | 1,10 | 1,11 | 4,74 | 11,71 | 1,28 | 6,81 | 7,32 | 7,32 | 7,32 | 7,32 | |
| Februari | B | 180 | 11 | 3,65 | 5 | 3,24 | 1,10 | 1,11 | 4,74 | 11,71 | 1,28 | 6,81 | 7,32 | 7,32 | 7,32 | 7,32 | |
| Maret | B | 180 | 11 | 3,65 | 5 | 3,24 | 1,10 | 1,11 | 4,74 | 11,71 | 1,28 | 6,81 | 7,32 | 7,32 | 7,32 | 7,32 | |
| April | B | 180 | 11 | 3,65 | 5 | 3,24 | 1,10 | 1,11 | 4,74 | 11,71 | 1,28 | 6,81 | 7,32 | 7,32 | 7,32 | 7,32 | |
| Mai | B | 180 | 11 | 3,65 | 5 | 3,24 | 1,10 | 1,11 | 4,74 | 11,71 | 1,28 | 6,81 | 7,32 | 7,32 | 7,32 | 7,32 | |
| Juni | B | 180 | 11 | 3,65 | 5 | 3,24 | 1,10 | 1,11 | 4,74 | 11,71 | 1,28 | 6,81 | 7,32 | 7,32 | 7,32 | 7,32 | |
| Juli | B | 180 | 11 | 3,65 | 5 | 3,24 | 1,10 | 1,11 | 4,74 | 11,71 | 1,28 | 6,81 | 7,32 | 7,32 | 7,32 | 7,32 | |
| Agustus | B | 180 | 11 | 3,65 | 5 | 3,24 | 1,10 | 1,11 | 4,74 | 11,71 | 1,28 | 6,81 | 7,32 | 7,32 | 7,32 | 7,32 | |
| September | B | 180 | 11 | 3,65 | 5 | 3,24 | 1,10 | 1,11 | 4,74 | 11,71 | 1,28 | 6,81 | 7,32 | 7,32 | 7,32 | 7,32 | |
| Oktober | B | 180 | 11 | 3,65 | 5 | 3,24 | 1,10 | 1,11 | 4,74 | 11,71 | 1,28 | 6,81 | 7,32 | 7,32 | 7,32 | 7,32 | |
| November | B | 180 | 11 | 3,65 | 5 | 3,24 | 1,10 | 1,11 | 4,74 | 11,71 | 1,28 | 6,81 | 7,32 | 7,32 | 7,32 | 7,32 | |
| Desember | B | 180 | 11 | 3,65 | 5 | 3,24 | 1,10 | 1,11 | 4,74 | 11,71 | 1,28 | 6,81 | 7,32 | 7,32 | 7,32 | 7,32 | |

⇒ Koreksi Tegangan Angin Tahun 2015

| Bulan | Angin | Desentral | U | | Z | U ₁₀ | | W ₁ | W ₂ | U (m/s) | | t | U ₁₀ (m/s) | | U ₁₀ | U ₁₀ | Form of |
|-----------|-------|-----------|-------|-------|---|-----------------|-------|----------------|----------------|---------|-------|------|-----------------------|------|-----------------|-----------------|---------|
| | | | (m/s) | (m/s) | | (m/s) | (m/s) | | | (m/s) | (m/s) | | | | | | |
| 1 | 2 | 3 | 4 | 5 | 6 | 7 | 8 | 9 | 10 | 11 | 12 | 13 | 14 | 15 | 16 | 17 | |
| Januari | B | 180 | 11 | 3,65 | 5 | 3,24 | 1,10 | 1,11 | 4,74 | 11,71 | 1,28 | 6,81 | 7,32 | 7,32 | 7,32 | 7,32 | |
| Februari | B | 180 | 11 | 3,65 | 5 | 3,24 | 1,10 | 1,11 | 4,74 | 11,71 | 1,28 | 6,81 | 7,32 | 7,32 | 7,32 | 7,32 | |
| Maret | B | 180 | 11 | 3,65 | 5 | 3,24 | 1,10 | 1,11 | 4,74 | 11,71 | 1,28 | 6,81 | 7,32 | 7,32 | 7,32 | 7,32 | |
| April | B | 180 | 11 | 3,65 | 5 | 3,24 | 1,10 | 1,11 | 4,74 | 11,71 | 1,28 | 6,81 | 7,32 | 7,32 | 7,32 | 7,32 | |
| Mai | B | 180 | 11 | 3,65 | 5 | 3,24 | 1,10 | 1,11 | 4,74 | 11,71 | 1,28 | 6,81 | 7,32 | 7,32 | 7,32 | 7,32 | |
| Juni | B | 180 | 11 | 3,65 | 5 | 3,24 | 1,10 | 1,11 | 4,74 | 11,71 | 1,28 | 6,81 | 7,32 | 7,32 | 7,32 | 7,32 | |
| Juli | B | 180 | 11 | 3,65 | 5 | 3,24 | 1,10 | 1,11 | 4,74 | 11,71 | 1,28 | 6,81 | 7,32 | 7,32 | 7,32 | 7,32 | |
| Agustus | B | 180 | 11 | 3,65 | 5 | 3,24 | 1,10 | 1,11 | 4,74 | 11,71 | 1,28 | 6,81 | 7,32 | 7,32 | 7,32 | 7,32 | |
| September | B | 180 | 11 | 3,65 | 5 | 3,24 | 1,10 | 1,11 | 4,74 | 11,71 | 1,28 | 6,81 | 7,32 | 7,32 | 7,32 | 7,32 | |
| Oktober | B | 180 | 11 | 3,65 | 5 | 3,24 | 1,10 | 1,11 | 4,74 | 11,71 | 1,28 | 6,81 | 7,32 | 7,32 | 7,32 | 7,32 | |
| November | B | 180 | 11 | 3,65 | 5 | 3,24 | 1,10 | 1,11 | 4,74 | 11,71 | 1,28 | 6,81 | 7,32 | 7,32 | 7,32 | 7,32 | |
| Desember | B | 180 | 11 | 3,65 | 5 | 3,24 | 1,10 | 1,11 | 4,74 | 11,71 | 1,28 | 6,81 | 7,32 | 7,32 | 7,32 | 7,32 | |

⇒ Koreksi Tegangan Angin Tahun 2016

| Bulan | Angk | Desians | 1 | 2 | 3 | 4 | 5 | 6 | 7 | 8 | 9 | 10 | 11 | 12 | 13 | 14 | 15 |
|-----------|------|---------|----|------|---|------|------|------|-------|--------|------|------|-------|--------|----|----|----|
| 1 | 2 | 3 | 4 | 5 | 6 | 7 | 8 | 9 | 10 | 11 | 12 | 13 | 14 | 15 | 16 | 17 | 18 |
| Januari | B | 180 | 13 | 628 | 3 | 8,22 | 1,01 | 1,12 | 12,94 | 121,80 | 1,31 | 3,24 | 10,94 | | | | |
| Februari | B | 203 | 23 | 771 | 3 | 8,31 | 1,01 | 1,18 | 11,01 | 120,09 | 1,26 | 3,22 | 9,71 | 124,81 | | | |
| Maret | HL | 130 | 9 | 411 | 3 | 4,34 | 1,01 | 1,42 | 7,11 | 226,29 | 1,39 | 3,23 | 1,29 | | | | |
| April | HL | 230 | 4 | 248 | 3 | 3,41 | 1,18 | 1,22 | 6,08 | 269,47 | 1,31 | 4,19 | 6,62 | 179,69 | | | |
| Mai | B | 240 | 1 | 1,60 | 3 | 3,22 | 1,01 | 1,27 | 6,81 | 224,80 | 1,31 | 3,16 | 3,34 | 124,81 | | | |
| Juni | HL | 220 | 1 | 1,60 | 3 | 3,22 | 1,12 | 1,27 | 6,81 | 214,90 | 1,31 | 3,16 | 3,34 | 179,69 | | | |
| Juli | HL | 90 | 3 | 4,11 | 3 | 4,34 | 1,12 | 1,42 | 7,11 | 226,29 | 1,39 | 3,23 | 1,29 | | | | |
| Agustus | 1 | 1 | 1 | 1,01 | 3 | 3,11 | 1,12 | 1,20 | 1,10 | 201,36 | 1,31 | 3,16 | 3,34 | 207,01 | | | |
| September | HL | 210 | 10 | 1,14 | 3 | 1,68 | 1,12 | 1,20 | 1,10 | 191,21 | 1,31 | 3,16 | 3,34 | 179,69 | | | |
| Oktober | B | 230 | 10 | 1,14 | 3 | 1,68 | 1,12 | 1,20 | 1,10 | 189,71 | 1,31 | 3,16 | 3,34 | 141,81 | | | |
| November | B | 240 | 9 | 4,02 | 3 | 3,11 | 1,12 | 1,20 | 1,10 | 201,36 | 1,31 | 3,16 | 3,34 | 179,69 | | | |
| Desember | HL | 230 | 12 | 4,17 | 3 | 4,31 | 1,12 | 1,40 | 1,10 | 184,11 | 1,31 | 3,16 | 3,34 | 179,69 | | | |

⇒ Koreksi Tegangan Angin Tahun 2017

| Bulan | Angk | Desians | 1 | 2 | 3 | 4 | 5 | 6 | 7 | 8 | 9 | 10 | 11 | 12 | 13 | 14 | 15 |
|-----------|------|---------|---|------|---|------|------|------|------|--------|------|------|------|--------|----|----|----|
| 1 | 2 | 3 | 4 | 5 | 6 | 7 | 8 | 9 | 10 | 11 | 12 | 13 | 14 | 15 | 16 | 17 | 18 |
| Januari | HL | 244 | 1 | 1,01 | 3 | 3,11 | 1,12 | 1,20 | 1,10 | 201,36 | 1,31 | 3,16 | 3,34 | 179,69 | | | |
| Februari | B | 220 | 1 | 1,01 | 3 | 3,11 | 1,12 | 1,20 | 1,10 | 191,21 | 1,31 | 3,16 | 3,34 | 141,81 | | | |
| Maret | HL | 235 | 1 | 1,01 | 3 | 3,11 | 1,12 | 1,20 | 1,10 | 201,36 | 1,31 | 3,16 | 3,34 | 179,69 | | | |
| April | HL | 240 | 1 | 1,01 | 3 | 3,11 | 1,12 | 1,20 | 1,10 | 201,36 | 1,31 | 3,16 | 3,34 | 179,69 | | | |
| Mai | 1 | 1 | 1 | 1,01 | 3 | 3,11 | 1,12 | 1,20 | 1,10 | 201,36 | 1,31 | 3,16 | 3,34 | 179,69 | | | |
| Juni | HL | 240 | 1 | 1,01 | 3 | 3,11 | 1,12 | 1,20 | 1,10 | 201,36 | 1,31 | 3,16 | 3,34 | 179,69 | | | |
| Juli | HL | 240 | 1 | 1,01 | 3 | 3,11 | 1,12 | 1,20 | 1,10 | 201,36 | 1,31 | 3,16 | 3,34 | 179,69 | | | |
| Agustus | HL | 240 | 1 | 1,01 | 3 | 3,11 | 1,12 | 1,20 | 1,10 | 201,36 | 1,31 | 3,16 | 3,34 | 179,69 | | | |
| September | HL | 240 | 1 | 1,01 | 3 | 3,11 | 1,12 | 1,20 | 1,10 | 201,36 | 1,31 | 3,16 | 3,34 | 179,69 | | | |
| Oktober | 1 | 1 | 1 | 1,01 | 3 | 3,11 | 1,12 | 1,20 | 1,10 | 201,36 | 1,31 | 3,16 | 3,34 | 179,69 | | | |
| November | B | 240 | 1 | 1,01 | 3 | 3,11 | 1,12 | 1,20 | 1,10 | 201,36 | 1,31 | 3,16 | 3,34 | 179,69 | | | |
| Desember | HL | 240 | 1 | 1,01 | 3 | 3,11 | 1,12 | 1,20 | 1,10 | 201,36 | 1,31 | 3,16 | 3,34 | 179,69 | | | |

⇒ Koreksi Tegangan Angin Tahun 2018

| Bulan | Angk | Desians | 1 | 2 | 3 | 4 | 5 | 6 | 7 | 8 | 9 | 10 | 11 | 12 | 13 | 14 | 15 |
|-----------|------|---------|---|------|---|------|------|------|------|--------|------|------|------|--------|----|----|----|
| 1 | 2 | 3 | 4 | 5 | 6 | 7 | 8 | 9 | 10 | 11 | 12 | 13 | 14 | 15 | 16 | 17 | 18 |
| Januari | B | 240 | 1 | 1,01 | 3 | 3,11 | 1,12 | 1,20 | 1,10 | 201,36 | 1,31 | 3,16 | 3,34 | 179,69 | | | |
| Februari | HL | 240 | 1 | 1,01 | 3 | 3,11 | 1,12 | 1,20 | 1,10 | 201,36 | 1,31 | 3,16 | 3,34 | 179,69 | | | |
| Maret | B | 240 | 1 | 1,01 | 3 | 3,11 | 1,12 | 1,20 | 1,10 | 201,36 | 1,31 | 3,16 | 3,34 | 179,69 | | | |
| April | HL | 240 | 1 | 1,01 | 3 | 3,11 | 1,12 | 1,20 | 1,10 | 201,36 | 1,31 | 3,16 | 3,34 | 179,69 | | | |
| Mai | 1 | 1 | 1 | 1,01 | 3 | 3,11 | 1,12 | 1,20 | 1,10 | 201,36 | 1,31 | 3,16 | 3,34 | 179,69 | | | |
| Juni | HL | 240 | 1 | 1,01 | 3 | 3,11 | 1,12 | 1,20 | 1,10 | 201,36 | 1,31 | 3,16 | 3,34 | 179,69 | | | |
| Juli | 1 | 1 | 1 | 1,01 | 3 | 3,11 | 1,12 | 1,20 | 1,10 | 201,36 | 1,31 | 3,16 | 3,34 | 179,69 | | | |
| Agustus | 1 | 1 | 1 | 1,01 | 3 | 3,11 | 1,12 | 1,20 | 1,10 | 201,36 | 1,31 | 3,16 | 3,34 | 179,69 | | | |
| September | HL | 240 | 1 | 1,01 | 3 | 3,11 | 1,12 | 1,20 | 1,10 | 201,36 | 1,31 | 3,16 | 3,34 | 179,69 | | | |
| Oktober | HL | 240 | 1 | 1,01 | 3 | 3,11 | 1,12 | 1,20 | 1,10 | 201,36 | 1,31 | 3,16 | 3,34 | 179,69 | | | |
| November | HL | 240 | 1 | 1,01 | 3 | 3,11 | 1,12 | 1,20 | 1,10 | 201,36 | 1,31 | 3,16 | 3,34 | 179,69 | | | |
| Desember | HL | 240 | 1 | 1,01 | 3 | 3,11 | 1,12 | 1,20 | 1,10 | 201,36 | 1,31 | 3,16 | 3,34 | 179,69 | | | |

⇒ Koreksi Tegangan Angin Tahun 2019

| Bulan | Angk | Desians | 1 | 2 | 3 | 4 | 5 | 6 | 7 | 8 | 9 | 10 | 11 | 12 | 13 | 14 | 15 |
|-----------|------|---------|----|------|---|------|------|------|------|--------|------|------|------|--------|----|----|----|
| 1 | 2 | 3 | 4 | 5 | 6 | 7 | 8 | 9 | 10 | 11 | 12 | 13 | 14 | 15 | 16 | 17 | 18 |
| Januari | B | 220 | 12 | 6,17 | 3 | 6,81 | 1,12 | 1,20 | 1,10 | 184,11 | 1,31 | 3,16 | 3,34 | 179,69 | | | |
| Februari | HL | 240 | 3 | 4,02 | 3 | 3,11 | 1,12 | 1,20 | 1,10 | 201,36 | 1,31 | 3,16 | 3,34 | 179,69 | | | |
| Maret | B | 240 | 11 | 6,04 | 3 | 3,11 | 1,12 | 1,20 | 1,10 | 184,11 | 1,31 | 3,16 | 3,34 | 179,69 | | | |
| April | HL | 240 | 1 | 1,01 | 3 | 3,11 | 1,12 | 1,20 | 1,10 | 201,36 | 1,31 | 3,16 | 3,34 | 179,69 | | | |
| Mai | HL | 240 | 1 | 1,01 | 3 | 3,11 | 1,12 | 1,20 | 1,10 | 201,36 | 1,31 | 3,16 | 3,34 | 179,69 | | | |
| Juni | HL | 240 | 1 | 1,01 | 3 | 3,11 | 1,12 | 1,20 | 1,10 | 201,36 | 1,31 | 3,16 | 3,34 | 179,69 | | | |
| Juli | 1 | 1 | 1 | 1,01 | 3 | 3,11 | 1,12 | 1,20 | 1,10 | 201,36 | 1,31 | 3,16 | 3,34 | 179,69 | | | |
| Agustus | 1 | 1 | 1 | 1,01 | 3 | 3,11 | 1,12 | 1,20 | 1,10 | 201,36 | 1,31 | 3,16 | 3,34 | 179,69 | | | |
| September | HL | 240 | 1 | 1,01 | 3 | 3,11 | 1,12 | 1,20 | 1,10 | 201,36 | 1,31 | 3,16 | 3,34 | 179,69 | | | |
| Oktober | HL | 240 | 1 | 1,01 | 3 | 3,11 | 1,12 | 1,20 | 1,10 | 201,36 | 1,31 | 3,16 | 3,34 | 179,69 | | | |
| November | HL | 240 | 1 | 1,01 | 3 | 3,11 | 1,12 | 1,20 | 1,10 | 201,36 | 1,31 | 3,16 | 3,34 | 179,69 | | | |
| Desember | B | 240 | 1 | 1,01 | 3 | 3,11 | 1,12 | 1,20 | 1,10 | 201,36 | 1,31 | 3,16 | 3,34 | 179,69 | | | |

⇒ Koreksi Tegangan Angin Tahun 2020

| Bulan | Arif | Distensi | U | Tv | Z | Uv | Uv | Uv | Uv | Uv | Uv | Uv | Uv | Uv | Uv | Uv | Uv | Uv |
|-----------|------|----------|----|-----|---|------|------|------|-------|-------|------|------|-------|-------|----|----|----|----|
| 1 | 2 | 3 | 4 | 5 | 6 | 7 | 8 | 9 | 10 | 11 | 12 | 13 | 14 | 15 | 16 | 17 | 18 | 19 |
| Januari | B | 20 | 9 | 4,0 | 2 | 2,13 | 1,18 | 1,37 | 2,81 | 20,76 | 1,37 | 5,85 | 6,24 | 17009 | | | | |
| Februari | BL | 10 | 11 | 5,0 | 3 | 0,24 | 1,08 | 1,11 | 9,38 | 17,52 | 1,24 | 8,81 | 2,77 | | | | | |
| Maret | B | 20 | 7 | 3,4 | 2 | 2,64 | 1,18 | 1,36 | 3,38 | 18,55 | 1,34 | 6,24 | 6,89 | 17440 | | | | |
| April | S | 10 | 17 | 8,2 | 3 | 3,82 | 1,18 | 1,44 | 14,12 | 12,90 | 1,36 | 8,89 | 10,92 | | | | | |
| Mei | BL | 10 | 7 | 3,0 | 2 | 2,57 | 1,22 | 1,37 | 6,82 | 23,90 | 1,32 | 7,16 | 5,34 | 17004 | | | | |
| Juni | BL | 8 | 8 | 4,0 | 2 | 4,04 | 1,17 | 1,40 | 1,11 | 28,79 | 1,23 | 3,23 | 3,23 | | | | | |
| Juli | B | 20 | 5 | 2,7 | 3 | 2,88 | 1,15 | 1,48 | 3,20 | 17,59 | 1,27 | 7,18 | 1,48 | 17447 | | | | |
| Agustus | T | 5 | 5 | 2,5 | 3 | 9,54 | 1,12 | 1,42 | 5,71 | 26,24 | 1,18 | 3,23 | 3,23 | | | | | |
| September | BL | 10 | 20 | 1,7 | 2 | 1,68 | 1,13 | 1,36 | 8,50 | 18,63 | 1,14 | 6,18 | 5,91 | | | | | |
| Oktober | BL | 20 | 8 | 4,1 | 2 | 4,54 | 1,18 | 1,40 | 3,13 | 28,79 | 1,23 | 5,23 | 1,48 | 17004 | | | | |
| November | B | 20 | 5 | 3,0 | 2 | 3,01 | 1,13 | 1,42 | 8,50 | 28,47 | 1,22 | 6,22 | 6,67 | 17000 | | | | |
| Desember | B | 20 | 10 | 4,4 | 2 | 3,18 | 1,08 | 1,36 | 8,50 | 28,13 | 1,24 | 6,24 | 6,67 | 17440 | | | | |

⇒ Koreksi Tegangan Angin Tahun 2021

| Bulan | Arif | Distensi | U | Tv | Z | Uv | Uv | Uv | Uv | Uv | Uv | Uv | Uv | Uv | Uv | Uv | Uv | Uv |
|-----------|------|----------|----|-----|---|-----|------|------|-------|-------|------|------|-------|-------|----|----|----|----|
| 1 | 2 | 3 | 4 | 5 | 6 | 7 | 8 | 9 | 10 | 11 | 12 | 13 | 14 | 15 | 16 | 17 | 18 | 19 |
| Januari | BL | 10 | 9 | 4,1 | 2 | 6,5 | 1,17 | 1,42 | 5,11 | 28,79 | 1,23 | 5,23 | 1,48 | 17009 | | | | |
| Februari | BL | 10 | 12 | 5,0 | 3 | 2,2 | 1,08 | 1,28 | 1,55 | 23,52 | 1,18 | 6,18 | 1,18 | 17009 | | | | |
| Maret | BL | 10 | 8 | 4,1 | 2 | 6,4 | 1,18 | 1,40 | 3,20 | 17,59 | 1,27 | 7,18 | 1,48 | 17440 | | | | |
| April | BL | 10 | 17 | 8,2 | 3 | 7,0 | 1,18 | 1,44 | 14,12 | 12,90 | 1,36 | 8,89 | 10,92 | | | | | |
| Mei | B | 10 | 7 | 3,0 | 2 | 2,8 | 1,22 | 1,37 | 6,82 | 23,90 | 1,32 | 7,16 | 5,34 | 17004 | | | | |
| Juni | B | 20 | 5 | 2,7 | 3 | 2,8 | 1,15 | 1,48 | 3,20 | 17,59 | 1,27 | 7,18 | 1,48 | 17447 | | | | |
| Juli | B | 20 | 5 | 2,7 | 3 | 2,8 | 1,15 | 1,48 | 3,20 | 17,59 | 1,27 | 7,18 | 1,48 | 17447 | | | | |
| Agustus | B | 20 | 5 | 2,7 | 3 | 2,8 | 1,15 | 1,48 | 3,20 | 17,59 | 1,27 | 7,18 | 1,48 | 17447 | | | | |
| September | B | 20 | 5 | 2,7 | 3 | 2,8 | 1,15 | 1,48 | 3,20 | 17,59 | 1,27 | 7,18 | 1,48 | 17447 | | | | |
| Oktober | BL | 10 | 8 | 4,1 | 2 | 6,4 | 1,18 | 1,40 | 3,20 | 17,59 | 1,27 | 7,18 | 1,48 | 17447 | | | | |
| November | B | 20 | 5 | 2,7 | 3 | 2,8 | 1,15 | 1,48 | 3,20 | 17,59 | 1,27 | 7,18 | 1,48 | 17447 | | | | |
| Desember | BL | 10 | 11 | 5,0 | 3 | 2,2 | 1,08 | 1,28 | 1,55 | 23,52 | 1,18 | 6,18 | 1,18 | 17009 | | | | |

• Lampiran 2

→ Tinggi dan Periode Gelombang Signifikan Tahun 2012

| Bulan | Arif | Ts | Per(2) | Tinggi Gelombang Signifikan (Hs) (m) | Periode Gelombang Signifikan (Ts) (s) |
|-----------|------|-------|--------|--------------------------------------|---------------------------------------|
| Januari | B | 11,46 | 174140 | 2,44 | 7,85 |
| Februari | B | 12,90 | 174140 | 2,77 | 8,18 |
| Maret | B | 12,90 | 174140 | 2,77 | 8,18 |
| April | S | 7,52 | | | |
| Mei | S | 9,90 | | | |
| Juni | S | 9,26 | | | |
| Juli | S | 8,68 | | | |
| Agustus | S | 6,89 | | | |
| September | S | 8,68 | | | |
| Oktober | B | 9,26 | 174140 | 1,97 | 7,31 |
| November | B | 8,68 | 174140 | 1,85 | 7,15 |
| Desember | BL | 9,90 | 170959 | 2,15 | 7,56 |

→ Tinggi dan Periode Gelombang Signifikan Tahun 2013

| Bulan | Arah | U _a | Fetch _{or} | Tinggi Gelombang Signifikan (H _s) | Periode Gelombang Signifikan (T _s) |
|-----------|------|----------------|---------------------|---|--|
| | | | | (m) | (di) |
| Januari | BL | 16,16 | 179959 | 2,50 | 8,90 |
| Februari | - | - | - | - | - |
| Maret | - | - | - | - | - |
| April | - | - | - | - | - |
| Mei | - | - | - | - | - |
| Juni | - | - | - | - | - |
| Juli | BL | 7,52 | 179959 | 1,63 | 6,50 |
| Agustus | - | - | - | - | - |
| September | - | - | - | - | - |
| Oktober | - | - | - | - | - |
| November | - | - | - | - | - |
| Desember | - | - | - | - | - |

→ Tinggi dan Periode Gelombang Signifikan Tahun 2014

| Bulan | Arah | U _a | Fetch _{or} | Tinggi Gelombang Signifikan (H _s) | Periode Gelombang Signifikan (T _s) |
|-----------|------|----------------|---------------------|---|--|
| | | | | (m) | (di) |
| Januari | BL | 8,33 | 179959 | 2,02 | 7,11 |
| Februari | BL | 11,97 | 179958,7 | 2,49 | 8,05 |
| Maret | BL | 6,24 | 179958,7 | 1,65 | 6,48 |
| April | BL | 7,32 | 179958,7 | 1,85 | 6,66 |
| Mei | BL | 6,33 | 174140,1 | 1,96 | 7,13 |
| Juni | B | 4,62 | 174140 | 0,99 | 5,10 |
| Juli | B | 5,34 | 174140 | 1,19 | 6,18 |
| Agustus | B | 5,34 | 174140,1 | 1,19 | 6,18 |
| September | B | 7,52 | 174140 | 1,28 | 6,43 |
| Oktober | B | 5,34 | 174140 | 1,14 | 6,09 |
| November | B | 5,34 | 174140 | 1,14 | 6,09 |
| Desember | BL | 9,26 | 179959 | 2,01 | 7,19 |

→ Tinggi dan Periode Gelombang Signifikan Tahun 2015

| Bulan | Arah | U _a | Fetch _{or} | Tinggi Gelombang Signifikan (H _s) | Periode Gelombang Signifikan (T _s) |
|-----------|------|----------------|---------------------|---|--|
| | | | | (m) | (di) |
| Januari | BL | 9,90 | 179959 | 2,15 | 7,56 |
| Februari | BL | 8,68 | 179959 | 1,88 | 7,23 |
| Maret | B | 7,52 | 174140,1 | 1,60 | 6,82 |
| April | BL | 9,26 | 3219,198 | 0,27 | 1,93 |
| Mei | B | 4,62 | 174140,1 | 0,99 | 5,80 |
| Juni | B | 4,62 | 174140,1 | 0,99 | 5,80 |
| Juli | B | 5,34 | 174140,1 | 1,14 | 6,09 |
| Agustus | B | 5,34 | 174140 | 1,14 | 6,09 |
| September | B | 9,23 | 174140,1 | 1,99 | 7,13 |
| Oktober | BD | 5,34 | 3219 | 0,15 | 1,61 |
| November | BD | 5,59 | 3219,198 | 0,16 | 1,63 |
| Desember | BL | 9,90 | 179958,7 | 2,15 | 7,56 |

→ Tinggi dan Periode Gelombang Signifikan Tahun 2016

| Bulan | Arah | Us | Fetch (m) | Tinggi Gelombang Signifikan (Hs) | Periode Gelombang Signifikan (Ts) |
|-----------|------|-------|-----------|----------------------------------|-----------------------------------|
| | | | | (m) | (dt) |
| Januari | S | 10,94 | | | |
| Februari | B | 9,23 | 174140,1 | 1,99 | 7,33 |
| Maret | TG | 5,59 | | | |
| April | BL | 4,62 | 179958,7 | 1,00 | 5,86 |
| Mei | B | 5,34 | 174140,1 | 1,14 | 6,09 |
| Juni | BL | 5,34 | 179958,7 | 1,16 | 6,15 |
| Juli | TL | 5,59 | | | |
| Agustus | L | 6,24 | 179958,7 | 1,03 | 5,39 |
| September | BL | 6,89 | 179958,7 | 1,40 | 6,70 |
| Oktober | B | 6,89 | 174140,1 | 1,12 | 6,67 |
| November | B | 6,24 | 174140,1 | 1,33 | 6,41 |
| Desember | BL | 6,11 | 179958,7 | 1,16 | 5,90 |

→ Tinggi dan Periode Gelombang Signifikan Tahun 2017

| Bulan | Arah | Us | Fetch (m) | Tinggi Gelombang Signifikan (Hs) | Periode Gelombang Signifikan (Ts) |
|-----------|------|------|-----------|----------------------------------|-----------------------------------|
| | | | | (m) | (dt) |
| Januari | BD | 7,52 | 3219 | 0,22 | 1,90 |
| Februari | B | 7,52 | 174140 | 1,48 | 6,62 |
| Maret | BL | 5,59 | 179959 | 1,21 | 6,24 |
| April | TL | 5,34 | 179958,7 | 1,16 | 6,15 |
| Mei | T | 5,74 | 179958,7 | 0,88 | 5,12 |
| Juni | BD | 5,88 | 3219 | 0,11 | 1,45 |
| Juli | BL | 6,28 | 179958,7 | 1,88 | 7,23 |
| Agustus | HD | 4,62 | 2219 | 0,13 | 1,82 |
| September | TL | 7,34 | | | |
| Oktober | T | 6,66 | | | |
| November | S | 6,79 | | | |
| Desember | BL | 6,24 | 179958,7 | 1,35 | 6,48 |

→ Tinggi dan Periode Gelombang Signifikan Tahun 2018

| Bulan | Arah | Us | Fetch (m) | Tinggi Gelombang Signifikan (Hs) | Periode Gelombang Signifikan (Ts) |
|-----------|------|------|-----------|----------------------------------|-----------------------------------|
| | | | | (m) | (dt) |
| Januari | B | 6,89 | 174140 | 1,47 | 6,62 |
| Februari | BL | 8,11 | 179958,7 | 1,76 | 7,07 |
| Maret | B | 6,24 | 174140 | 1,33 | 6,41 |
| April | BL | 4,62 | 179959 | 1,00 | 5,86 |
| Mei | T | 6,24 | | | |
| Juni | BD | 3,11 | 3219,198 | 0,09 | 1,34 |
| Juli | T | 3,88 | | | |
| Agustus | S | 3,88 | | | |
| September | TG | 4,62 | | | |
| Oktober | TG | 4,62 | | | |
| November | TL | 7,52 | | | |
| Desember | BL | 7,52 | 179958,7 | 1,63 | 6,90 |

→ Tinggi dan Periode Gelombang Signifikan Tahun 2019

| Bulan | Arah | Us | Fetch or | Tinggi Gelombang Signifikan (Hs) | Periode Gelombang Signifikan (Ts) |
|-----------|------|------|----------|----------------------------------|-----------------------------------|
| | | | | (m) | (s) |
| Januari | B | 8,11 | 174140 | 1,73 | 7,00 |
| Februari | BL | 6,24 | 179958,7 | 1,35 | 6,48 |
| Maret | B | 8,68 | 174140 | 1,85 | 7,15 |
| April | BL | 5,34 | 179958,7 | 1,18 | 6,15 |
| Mei | TL | 4,62 | | | |
| Juni | BD | 3,88 | 3219,198 | 0,11 | 1,45 |
| Juli | S | 4,62 | | | |
| Agustus | TL | 6,24 | 167758,2 | 1,01 | 5,10 |
| September | BD | 3,88 | 3219,198 | 0,11 | 1,45 |
| Oktober | BL | 5,34 | 3219,198 | 0,21 | 1,85 |
| November | BD | 3,34 | 3219,198 | 0,15 | 1,61 |
| Desember | B | 6,24 | 174140,1 | 1,33 | 6,41 |

→ Tinggi dan Periode Gelombang Signifikan Tahun 2020

| Bulan | Arah | Us | Fetch or | Tinggi Gelombang Signifikan (Hs) | Periode Gelombang Signifikan (Ts) |
|-----------|------|-------|----------|----------------------------------|-----------------------------------|
| | | | | (m) | (s) |
| Januari | BL | 6,24 | 179958,7 | 1,33 | 6,48 |
| Februari | TL | 5,42 | | | |
| Maret | B | 6,60 | 174140 | 1,47 | 6,62 |
| April | S | 10,02 | | | |
| Mei | BL | 3,34 | 179958,7 | 1,16 | 6,15 |
| Juni | TL | 5,80 | | | |
| Juli | B | 3,88 | 174140 | 0,83 | 5,47 |
| Agustus | TL | 5,29 | | | |
| September | TL | 6,24 | | | |
| Oktober | BL | 5,34 | 179958,7 | 1,21 | 6,25 |
| November | B | 4,62 | 174140,1 | 1,09 | 5,80 |
| Desember | B | 6,89 | 174140,1 | 1,47 | 6,62 |

→ Tinggi dan Periode Gelombang Signifikan Tahun 2021

| Bulan | Arah | Us | Fetch or | Tinggi Gelombang Signifikan (Hs) | Periode Gelombang Signifikan (Ts) |
|-----------|------|------|----------|----------------------------------|-----------------------------------|
| | | | | (m) | (s) |
| Januari | BL | 5,59 | 179958,7 | 1,21 | 6,25 |
| Februari | BL | 8,68 | 179958,7 | 1,88 | 7,23 |
| Maret | BL | 5,59 | 179958,7 | 1,21 | 6,25 |
| April | BD | 9,36 | 3219,198 | 0,27 | 1,93 |
| Mei | B | 3,88 | 174140,1 | 0,83 | 5,47 |
| Juni | B | 3,88 | 174140 | 0,83 | 5,47 |
| Juli | B | 4,62 | 174140 | 0,99 | 5,80 |
| Agustus | B | 4,62 | 174140,1 | 0,99 | 5,80 |
| September | B | 4,62 | 174140,1 | 0,99 | 5,80 |
| Oktober | BD | 4,62 | 3219,198 | 0,13 | 1,53 |
| November | B | 6,24 | 174140,1 | 1,33 | 6,41 |
| Desember | BL | 7,52 | 179958,7 | 1,63 | 6,90 |

- Persamaan regresi

| No | Xn | Yn | Xn ² | Xn ³ | Xn ⁴ | Xn.Yn | Xn ² .Yn |
|--------|-------|-------|-----------------|-----------------|-----------------|--------|---------------------|
| 1 | 2,77 | 8,18 | 7,67 | 21,25 | 58,84 | 22,67 | 62,78 |
| 2 | 3,50 | 8,90 | 12,27 | 42,98 | 150,57 | 31,18 | 109,21 |
| 3 | 2,59 | 8,05 | 6,73 | 17,44 | 45,23 | 20,88 | 54,15 |
| 4 | 2,15 | 7,56 | 4,60 | 9,88 | 21,19 | 16,22 | 34,80 |
| 5 | 1,99 | 7,33 | 3,95 | 7,86 | 15,63 | 14,57 | 28,97 |
| 6 | 1,88 | 7,23 | 3,54 | 6,65 | 12,51 | 13,60 | 25,59 |
| 7 | 1,76 | 7,07 | 3,09 | 5,44 | 9,56 | 12,44 | 21,87 |
| 8 | 1,85 | 7,15 | 3,42 | 6,33 | 11,72 | 13,24 | 24,49 |
| 9 | 1,47 | 6,62 | 2,16 | 3,17 | 4,65 | 9,73 | 14,29 |
| 10 | 1,88 | 7,23 | 3,54 | 6,65 | 12,51 | 13,60 | 25,59 |
| Jumlah | 21,84 | 75,34 | 50,97 | 127,66 | 342,43 | 168,13 | 401,73 |

$$n = 10$$

$$\bar{X} = 2,18$$

$$\sum X_n \cdot Y_n = 168,13$$

$$\bar{Y} = 7,53$$

$$\sum X_n^2 \cdot Y_n = 401,73$$

$$\sum X_n^2 = 50,97$$

$$\sum X_n = 21,84$$

$$\sum X_n^3 = 127,66$$

$$\sum Y_n = 75,34$$

$$\sum X_n^4 = 342,43$$

Eliminasi Gauss

$$\begin{bmatrix} n & \sum X & \sum X^2 \\ \sum X & \sum X^2 & \sum X^3 \\ \sum X^2 & \sum X^3 & \sum X^4 \end{bmatrix} \begin{bmatrix} a_0 \\ a_1 \\ a_2 \end{bmatrix} = \begin{bmatrix} \sum X^0 \cdot Y \\ \sum X^1 \cdot Y \\ \sum X^2 \cdot Y \end{bmatrix} = \begin{bmatrix} 10 & 21,84 & 50,97 \\ 21,84 & 50,97 & 127,66 \\ 50,97 & 127,66 & 342,43 \end{bmatrix} \begin{bmatrix} a_0 \\ a_1 \\ a_2 \end{bmatrix} = \begin{bmatrix} 75,34 \\ 168,13 \\ 401,73 \end{bmatrix}$$

- Langkah 1

$$b1 \frac{1}{10} \begin{bmatrix} 1 & 2,184 & 5,097 \\ 21,84 & 50,97 & 127,66 \\ 50,97 & 127,66 & 34,43 \end{bmatrix} = \begin{bmatrix} 7,53 \\ 168,13 \\ 401,73 \end{bmatrix}$$

- Langkah 2

$$\begin{matrix} b2 - (b1 \times 21,84) \\ b3 - (b1 \times 50,97) \end{matrix} \begin{bmatrix} 1 & 2,184 & 5,097 \\ 0 & 3,28 & 16,34 \\ 0 & 16,34 & 182,62 \end{bmatrix} = \begin{bmatrix} 7,53 \\ 3,59 \\ 17,71 \end{bmatrix}$$

- Langkah 3

$$b2 - \left(\frac{1}{3,28}\right) \begin{bmatrix} 1 & 2,184 & 5,097 \\ 0 & 1 & 4,985 \\ 0 & 16,34 & 182,62 \end{bmatrix} = \begin{bmatrix} 7,534 \\ 1,095 \\ 17,71 \end{bmatrix}$$

- Langkah 4

$$b3 - (b2 \cdot 16,34) \begin{bmatrix} 1 & 2,184 & 5,097 \\ 0 & 1 & 4,985 \\ 0 & 0 & 1,177 \end{bmatrix} = \begin{bmatrix} 7,534 \\ 1,095 \\ -0,181 \end{bmatrix}$$

Di substitusi :

$$1,177a2 = -0,181$$

$$a2 = -0,181 / 1,177 = -0,154$$

$$a1 + 4,985 a2 = 1,095$$

$$a1 = 1,095 - 0,767 = 1,862$$

$$a0 + 2,184 a1 + 5,097 a2 = 7,534$$

$$a0 = 7,534 - 3,282 = 4,252$$

Jadi persamaan regresinya adalah :

$$-0,154 x^2 + 1,8622 x + 4,2521$$



PANTAI PA'LALAKKANG

26 MEI - 09 JUNI 2022

| Tanggal | Bacaan Skala Pada Item | | | | | | | | | | | | | | | | | | | | jumlah bacaan | jumlah rata-rata/jari | | | | | | |
|-----------|------------------------|-----|-----|-----|-----|-----|-----|----|----|----|----|----|----|----|----|-----|-----|-----|-----|-----|------------------|--------------------------|-----|-----|-----|------|------|-----|
| | 0 | 1 | 2 | 3 | 4 | 5 | 6 | 7 | 8 | 9 | 10 | 11 | 12 | 13 | 14 | 15 | 16 | 17 | 18 | 19 | | | 20 | 21 | 22 | 23 | | |
| 26-Mei-22 | 110 | 100 | 100 | 90 | 80 | 80 | 80 | 80 | 80 | 80 | 80 | 80 | 80 | 80 | 80 | 100 | 110 | 120 | 130 | 130 | 130 | 130 | 130 | 130 | 130 | 130 | 2310 | 96 |
| 27-Mei-22 | 100 | 100 | 90 | 90 | 80 | 70 | 70 | 70 | 70 | 70 | 70 | 80 | 80 | 80 | 90 | 90 | 90 | 100 | 100 | 110 | 110 | 110 | 110 | 110 | 110 | 110 | 2110 | 169 |
| 28-Mei-22 | 100 | 100 | 90 | 80 | 80 | 70 | 70 | 60 | 60 | 60 | 60 | 70 | 70 | 70 | 80 | 80 | 100 | 110 | 110 | 120 | 120 | 120 | 110 | 110 | 110 | 2110 | 169 | |
| 29-Mei-22 | 100 | 100 | 90 | 80 | 80 | 70 | 70 | 60 | 60 | 50 | 50 | 50 | 50 | 60 | 60 | 60 | 60 | 70 | 70 | 80 | 80 | 80 | 80 | 80 | 80 | 80 | 2130 | 170 |
| 30-Mei-22 | 110 | 100 | 90 | 80 | 80 | 70 | 70 | 60 | 50 | 40 | 40 | 40 | 40 | 50 | 60 | 60 | 110 | 120 | 120 | 140 | 140 | 140 | 130 | 120 | 120 | 2120 | 170 | |
| 31-Mei-22 | 120 | 110 | 100 | 90 | 80 | 80 | 70 | 60 | 50 | 40 | 30 | 30 | 30 | 30 | 30 | 40 | 40 | 50 | 50 | 60 | 60 | 60 | 60 | 60 | 60 | 60 | 2140 | 171 |
| 01-Jun-22 | 130 | 110 | 100 | 90 | 80 | 80 | 70 | 60 | 50 | 40 | 30 | 30 | 30 | 30 | 30 | 40 | 40 | 50 | 50 | 60 | 60 | 60 | 60 | 60 | 60 | 60 | 2170 | 174 |
| 02-Jun-22 | 130 | 120 | 110 | 100 | 90 | 80 | 80 | 70 | 60 | 50 | 40 | 30 | 30 | 30 | 30 | 40 | 40 | 50 | 50 | 60 | 60 | 60 | 60 | 60 | 60 | 60 | 2200 | 176 |
| 03-Jun-22 | 140 | 130 | 110 | 100 | 100 | 90 | 80 | 80 | 70 | 60 | 50 | 40 | 30 | 30 | 30 | 40 | 40 | 50 | 50 | 60 | 60 | 60 | 60 | 60 | 60 | 60 | 2190 | 175 |
| 04-Jun-22 | 140 | 130 | 120 | 110 | 100 | 100 | 100 | 90 | 80 | 70 | 60 | 50 | 30 | 30 | 30 | 40 | 40 | 50 | 50 | 60 | 60 | 60 | 60 | 60 | 60 | 60 | 2190 | 175 |
| 05-Jun-22 | 140 | 130 | 120 | 110 | 100 | 100 | 100 | 90 | 80 | 70 | 60 | 50 | 40 | 30 | 30 | 40 | 40 | 50 | 50 | 60 | 60 | 60 | 60 | 60 | 60 | 60 | 2220 | 178 |
| 06-Jun-22 | 130 | 120 | 110 | 100 | 100 | 100 | 100 | 90 | 80 | 70 | 60 | 50 | 40 | 30 | 30 | 40 | 40 | 50 | 50 | 60 | 60 | 60 | 60 | 60 | 60 | 60 | 2190 | 175 |
| 07-Jun-22 | 120 | 110 | 110 | 100 | 90 | 90 | 90 | 80 | 80 | 70 | 60 | 50 | 40 | 30 | 30 | 40 | 40 | 50 | 50 | 60 | 60 | 60 | 60 | 60 | 60 | 60 | 2170 | 174 |
| 08-Jun-22 | 120 | 110 | 100 | 90 | 90 | 80 | 80 | 70 | 60 | 50 | 40 | 30 | 30 | 30 | 40 | 40 | 50 | 50 | 60 | 60 | 60 | 60 | 60 | 60 | 60 | 60 | 2120 | 174 |
| 09-Jun-22 | 110 | 100 | 90 | 80 | 80 | 80 | 80 | 70 | 60 | 50 | 40 | 30 | 30 | 30 | 40 | 40 | 50 | 50 | 60 | 60 | 60 | 60 | 60 | 60 | 60 | 60 | 2150 | 172 |



KEMENTERIAN PERHUBUNGAN
DIREKTORAT JENDERAL PERHUBUNGAN LAUT GALESONG

26 MEI – 09 JUNI 2020

| Tanggal | Bacaan Shalat Pada Jumu'ah | | | | | | | | | | | | | | | | | | | | jumlah bacaan | bacaan rata-rata | | | |
|-----------|----------------------------|----|----|----|----|-----|-----|----|----|----|-----|-----|-----|-----|-----|-----|-----|-----|-----|-----|------------------|---------------------|-----|-----|-----|
| | 0 | 1 | 2 | 3 | 4 | 5 | 6 | 7 | 8 | 9 | 10 | 11 | 12 | 13 | 14 | 15 | 16 | 17 | 18 | 19 | | | 20 | 21 | 22 |
| 26-Mei-22 | 90 | 80 | 80 | 80 | 80 | 90 | 90 | 90 | 80 | 80 | 70 | 60 | 60 | 60 | 60 | 70 | 90 | 100 | 120 | 130 | 130 | 130 | 120 | 100 | 90 |
| 27-Mei-22 | 80 | 80 | 70 | 70 | 80 | 90 | 90 | 90 | 80 | 70 | 70 | 70 | 70 | 70 | 70 | 80 | 90 | 90 | 120 | 120 | 130 | 120 | 110 | 100 | 173 |
| 28-Mei-22 | 80 | 70 | 60 | 60 | 70 | 80 | 90 | 90 | 90 | 90 | 80 | 80 | 80 | 80 | 80 | 90 | 90 | 110 | 120 | 120 | 120 | 110 | 100 | 172 | |
| 29-Mei-22 | 80 | 70 | 60 | 60 | 60 | 70 | 80 | 90 | 90 | 90 | 90 | 90 | 90 | 90 | 90 | 100 | 100 | 110 | 120 | 120 | 120 | 110 | 100 | 174 | |
| 30-Mei-22 | 80 | 70 | 60 | 50 | 50 | 60 | 70 | 80 | 90 | 90 | 100 | 100 | 100 | 100 | 100 | 110 | 110 | 120 | 120 | 130 | 130 | 120 | 110 | 176 | |
| 31-Mei-22 | 90 | 70 | 60 | 50 | 50 | 50 | 60 | 70 | 80 | 80 | 90 | 100 | 100 | 110 | 110 | 120 | 130 | 140 | 140 | 140 | 130 | 110 | 100 | 175 | |
| 01-Jun-22 | 90 | 70 | 60 | 50 | 50 | 50 | 50 | 60 | 70 | 80 | 90 | 100 | 110 | 120 | 130 | 130 | 130 | 140 | 140 | 140 | 130 | 120 | 100 | 175 | |
| 02-Jun-22 | 90 | 80 | 60 | 50 | 50 | 50 | 50 | 50 | 60 | 60 | 70 | 80 | 90 | 110 | 120 | 130 | 140 | 140 | 140 | 140 | 130 | 120 | 110 | 174 | |
| 03-Jun-22 | 100 | 80 | 70 | 60 | 50 | 50 | 40 | 50 | 50 | 60 | 70 | 90 | 100 | 100 | 120 | 130 | 140 | 140 | 140 | 140 | 130 | 120 | 110 | 171 | |
| 04-Jun-22 | 100 | 90 | 80 | 70 | 60 | 60 | 50 | 40 | 40 | 50 | 50 | 60 | 80 | 90 | 110 | 120 | 130 | 140 | 140 | 140 | 130 | 120 | 110 | 170 | |
| 05-Jun-22 | 100 | 90 | 80 | 80 | 70 | 70 | 60 | 50 | 40 | 40 | 50 | 70 | 80 | 100 | 120 | 130 | 140 | 140 | 140 | 130 | 120 | 110 | 110 | 169 | |
| 06-Jun-22 | 100 | 90 | 90 | 80 | 80 | 70 | 60 | 60 | 50 | 40 | 40 | 50 | 60 | 80 | 90 | 110 | 120 | 130 | 140 | 140 | 130 | 120 | 110 | 171 | |
| 07-Jun-22 | 90 | 90 | 90 | 90 | 80 | 80 | 80 | 70 | 60 | 50 | 50 | 60 | 70 | 90 | 110 | 120 | 130 | 140 | 140 | 130 | 120 | 110 | 100 | 173 | |
| 08-Jun-22 | 80 | 80 | 80 | 80 | 90 | 90 | 90 | 80 | 70 | 60 | 50 | 50 | 70 | 80 | 100 | 120 | 130 | 130 | 130 | 120 | 110 | 100 | 100 | 170 | |
| 09-Jun-22 | 80 | 80 | 80 | 80 | 90 | 100 | 100 | 90 | 80 | 70 | 60 | 60 | 70 | 80 | 100 | 110 | 120 | 130 | 130 | 120 | 110 | 90 | 100 | 174 | |

DIYAH
PERBITAN

→ Skema 2

| Tanggal | X ₁ | | Y ₁ | | X ₂ | | Y ₂ | | X ₃ | | Y ₃ | |
|-----------|----------------|------|----------------|------|----------------|------|----------------|------|----------------|-----|----------------|------|
| | + | - | + | - | + | - | + | - | + | - | + | - |
| 26-Mei-22 | 1168 | 1010 | 950 | 1220 | 920 | 1250 | 1080 | 1090 | 720 | 730 | 1060 | 1080 |
| 27-Mei-22 | 1098 | 1070 | 960 | 1200 | 930 | 1230 | 1030 | 1110 | 720 | 720 | 1080 | 1080 |
| 28-Mei-22 | 1030 | 1120 | 950 | 1200 | 930 | 1200 | 1020 | 1120 | 710 | 730 | 1070 | 1080 |
| 29-Mei-22 | 990 | 1180 | 930 | 1240 | 980 | 1180 | 1030 | 1100 | 720 | 720 | 1090 | 1080 |
| 30-Mei-22 | 960 | 1240 | 900 | 1300 | 1020 | 1180 | 1040 | 1160 | 740 | 730 | 1100 | 1100 |
| 31-Mei-22 | 940 | 1290 | 840 | 1350 | 1050 | 1140 | 1030 | 1140 | 730 | 730 | 1090 | 1100 |
| 01-Jun-22 | 930 | 1240 | 780 | 1400 | 950 | 1140 | 1060 | 1120 | 720 | 730 | 1100 | 1090 |
| 02-Jun-22 | 980 | 1190 | 720 | 1350 | 1040 | 1130 | 1090 | 1080 | 720 | 720 | 1080 | 1090 |
| 03-Jun-22 | 1000 | 1140 | 690 | 1300 | 1040 | 1100 | 1080 | 1050 | 710 | 710 | 1070 | 1070 |
| 04-Jun-22 | 1080 | 1090 | 690 | 1300 | 1020 | 1100 | 1110 | 1010 | 710 | 740 | 1050 | 1070 |
| 05-Jun-22 | 1100 | 1010 | 710 | 1300 | 1000 | 1110 | 1120 | 990 | 730 | 710 | 1050 | 1060 |
| 06-Jun-22 | 1130 | 990 | 740 | 1300 | 960 | 1100 | 1130 | 990 | 720 | 710 | 1050 | 1070 |
| 07-Jun-22 | 1160 | 1000 | 750 | 1310 | 950 | 1100 | 1120 | 960 | 710 | 710 | 1090 | 1070 |
| 08-Jun-22 | 1180 | 990 | 780 | 1290 | 910 | 1220 | 1120 | 980 | 710 | 720 | 1070 | 1080 |
| 09-Jun-22 | 1190 | 1020 | 800 | 1280 | 930 | 1230 | 1120 | 1010 | 740 | 720 | 1100 | 1080 |

→ Skema 3

SKEMA III

| TGL | X ₁ | X ₂ | Y ₁ | X ₃ | Y ₂ | X ₄ | Y ₃ |
|-----------|----------------|----------------|----------------|----------------|----------------|----------------|----------------|
| | + | +800 | +800 | +800 | +800 | +800 | +800 |
| 26-Mei-22 | 2170 | 950 | 330 | 470 | 790 | 790 | 810 |
| 27-Mei-22 | 2160 | 820 | 500 | 500 | 740 | 800 | 800 |
| 28-Mei-22 | 2150 | 710 | 550 | 550 | 710 | 780 | 790 |
| 29-Mei-22 | 2170 | 610 | 490 | 610 | 690 | 800 | 810 |
| 30-Mei-22 | 2200 | 520 | 400 | 640 | 680 | 810 | 800 |
| 31-Mei-22 | 2190 | 490 | 290 | 710 | 710 | 800 | 790 |
| 01-Jun-22 | 2190 | 510 | 170 | 710 | 770 | 790 | 810 |
| 02-Jun-22 | 2170 | 590 | 70 | 710 | 810 | 790 | 790 |
| 03-Jun-22 | 2140 | 660 | 40 | 740 | 840 | 800 | 800 |
| 04-Jun-22 | 2120 | 800 | 60 | 720 | 900 | 800 | 780 |
| 05-Jun-22 | 2110 | 890 | 110 | 690 | 930 | 790 | 790 |
| 06-Jun-22 | 2140 | 960 | 180 | 620 | 960 | 810 | 800 |
| 07-Jun-22 | 2160 | 960 | 340 | 600 | 980 | 820 | 820 |
| 08-Jun-22 | 2130 | 950 | 430 | 490 | 970 | 790 | 810 |
| 09-Jun-22 | 2180 | 920 | 540 | 480 | 920 | 820 | 820 |

→ Skema 4

| SKEMA IV | | | | | |
|----------|---------|----------|-------|--------|-------|
| INDEX | TANDA | X | Y | X | Y |
| | | TAMBAHAN | | JUMLAH | |
| 00 | + | 32380 | | 32380 | |
| 10 | + | 11340 | 4760 | | |
| | - | 12000 | 12000 | -660 | -7240 |
| 12 | + | 4460 | 1140 | | |
| | - | 6830 | 3620 | -3270 | -3280 |
| (29) | (-) (+) | 800 | 800 | | |
| 15 | + | 3450 | 2460 | | |
| | - | 5220 | 1160 | -1500 | 1300 |
| 13 | + | 3050 | 630 | | |
| | - | 8290 | 4130 | -6040 | 4300 |
| (29) | (-) (+) | 800 | 800 | | |
| 1c | + | 4960 | 2660 | | |
| | - | 5790 | 2030 | -830 | 630 |
| 20 | + | 4240 | 12400 | | |
| | - | 12000 | 12000 | -2760 | 800 |
| 22 | + | 4920 | 5640 | | |
| | - | 4320 | 6760 | -200 | 1930 |
| (29) | (-) (+) | 800 | 800 | | |
| 2b | + | 3720 | 4300 | | |
| | - | 3860 | 5580 | 140 | -1280 |
| 23 | + | 3590 | 4030 | | |
| | - | 3650 | 8370 | -2800 | -5140 |
| (29) | (-) (+) | 800 | 800 | | |
| 2c | + | 4240 | 5720 | | |
| | - | 4290 | 5870 | -50 | -150 |
| 42 | + | 5580 | 5560 | | |
| | - | 6410 | 6460 | -1630 | -1700 |
| (29) | (-) (+) | 800 | 800 | | |
| 4b | + | 4780 | 4800 | | |
| | - | 4810 | 4800 | -30 | 0 |
| 44 | + | 5580 | 5640 | | |
| | - | 6410 | 6380 | -1630 | -1540 |
| (29) | (-) (+) | 800 | 800 | | |
| 4d | + | 4820 | 4830 | | |
| | - | 4770 | 4770 | 50 | 60 |
| IV | | | | | |

→ Skema 5 dan Skema 6

| | | S0 | M2 | S2 | N2 | K1 | O1 | M4 | MS4 |
|----------|---------------------|-------|-------|-------|-------|-------|-------|-------|-------|
| SKEMA V | $X_{00} =$ | 32380 | 32380 | | | | | | |
| | $X_{10} =$ | -660 | | | | -660 | 46 | | |
| | $X_{12} - Y_{10} =$ | -4520 | -407 | | | 90 | -4520 | | -90 |
| | $X_{20} - Y_{20} =$ | -6670 | | | | | | | |
| | $X_{20} =$ | -2760 | 813 | -2760 | -810 | | | | |
| | $X_{22} - Y_{20} =$ | 1080 | 1080 | -151 | -659 | -12 | -32 | | -32 |
| | $X_{22} - Y_{20} =$ | -2710 | 1762 | | 2710 | | | | |
| | $X_{22} - Y_{20} =$ | -1630 | | | | | | | -1630 |
| | $X_{22} - Y_{20} =$ | -1000 | | | | | | -1701 | 85 |
| | $X_{22} - Y_{20} =$ | -7290 | | | | -7290 | 979 | | |
| SKEMA VI | $Y_{10} - X_{10} =$ | -660 | | | | 851 | -3069 | | -48 |
| | $Y_{12} - X_{12} =$ | 8130 | | | | | | | |
| | $Y_{20} =$ | 600 | -64 | 800 | 120 | | | | |
| | $Y_{22} - X_{22} =$ | -2060 | -2142 | -309 | 1116 | | 796 | | 41 |
| | $Y_{22} - X_{22} =$ | -5190 | 633 | | -5346 | | | | |
| | $Y_{22} - X_{22} =$ | -1730 | -23 | | | | | -1700 | -1730 |
| | $Y_{22} - X_{22} =$ | -1460 | | | | | | -1460 | 89 |
| | $Y_{22} - X_{22} =$ | | | | | | | | |

→ Skema 7

| | | S0 | M2 | S2 | N2 | K1 | O1 | M4 | MS4 |
|---|-------------------------|---------|---------|----------|----------|----------|----------|----------|----------|
| SKEMA VII | V - PR ₀₀ = | 3280,00 | 3280,00 | -1633,70 | -5196,20 | -2314,10 | -370,90 | 1853,20 | -1641,20 |
| | VI - PR ₁₀ = | 0 | 7297,40 | -1148,70 | -4255,50 | -7853,40 | -5421,40 | -3543,80 | -1465,90 |
| | PR | 3280,00 | 3567,07 | 3816,34 | 8721,53 | 8711,00 | 1531,77 | 2432,21 | 2200,55 |
| | Daftar 1a - P | 380,00 | 673,00 | 217,00 | 196,70 | 74,700 | 177,00 | 273,00 | 280,00 |
| | Daftar 5 - P | | 0,00 | 0,00 | 0,98 | 1,08 | 1,12 | 0,95 | 0,98 |
| | VIII - (I - V) | | 1,99 | 0,69 | 1,15 | 1,22 | 1,20 | 1,00 | 0,69 |
| | - V | | 99,61 | 0,00 | 167,23 | 168,50 | 291,02 | 199,22 | 99,61 |
| | Daftar 9 - a | | -1,66 | 0,00 | -1,86 | -6,26 | 7,17 | -3,33 | -1,66 |
| | VIII - (I - W) | | 0,00 | 12,02 | -5,33 | 7,64 | 0,00 | 0,90 | 12,02 |
| | Daftar 3a - p | | 133,00 | 345,00 | 327,00 | 173,00 | 160,00 | 307,00 | 318,00 |
| | Daftar 4 - r | | 21,33 | 17,51 | 38,47 | 78,48 | 68,12 | 39,79 | 41,77 |
| | Jumlah = g | | 452,27 | 374,54 | 525,70 | 478,45 | 526,31 | 542,68 | 469,74 |
| | n x 360° | | 160,00 | 360,00 | 360,00 | 360,00 | 360,00 | 360,00 | 360,00 |
| PR ₀₀ Ps ₀ (1+W) ₀ = A | | 89,69 | 20,87 | 23,89 | 34,85 | 26,18 | 7,67 | 9,26 | 11,70 |
| g ² | | 0,00 | 92,27 | 14,54 | 165,70 | 58,45 | 186,31 | 182,68 | 108,74 |

→ Skema 8

| | | |
|--|---------------------------------------|-------|
| w dan (1+W), S2, MS4 | | |
| VII | : K ₁ : V | 168,6 |
| VII | : K ₁ : u | -6,3 |
| Jumlah | : V + u | 162,3 |
| Daftar 10 | : S ₂ : w/f | 10,0 |
| Daftar 10 | : S ₂ : W/f | 0,3 |
| Daftar | : K ₂ : f | 1,2 |
| | w | 12,0 |
| | W | -4,3 |
| | 1 + W | 0,7 |
| w dan (1+W) utk K ₁ | | |
| VII | : K ₁ : 2V | 337,2 |
| VII | : K ₁ : u | -6,3 |
| Jumlah | : 2V + u | 330,9 |
| Daftar 10 | : K ₁ : w/f | 7,1 |
| Daftar 10 | : K ₁ : W/f | 0,3 |
| Daftar | : S ₂ : K ₁ : f | 1,1 |
| | w | 7,6 |
| | W | 0,3 |
| | 1 + W | 1,3 |
| w dan (1+W) utk N ₂ | | |
| VII | : M ₂ : 2V | 298,8 |
| VII | : N ₂ : 2V | 334,5 |
| Selisih (M ₂ - N ₂) | | 324,4 |
| Daftar 10 | : N ₂ : w | -5,3 |
| Daftar 10 | : N ₂ : 1+W | 1,2 |
| VIII | | |

→ Hasil Akhir

| | S0 | M2 | S2 | N2 | K1 | O1 | M4 | MS4 | K2 | PI |
|----------------|-------|-------|-------|--------|-------|--------|--------|--------|-------|-------|
| A Cm | 89,69 | 20,87 | 25,89 | 34,85 | 26,18 | 7,67 | 9,36 | 11,70 | 6,90 | 8,64 |
| g ^b | 0,00 | 92,27 | 14,54 | 165,70 | 58,45 | 166,31 | 182,68 | 109,74 | 14,54 | 38,45 |

→ Elevasi Muka Air

| Kementerian Perhubungan Direktorat Jenderal Perhubungan Laut Galesong | |
|---|--------|
| MSL | 89,69 |
| ZO | 9,09 |
| CD | 80,61 |
| ATT | 170,30 |
| LAT | 9,09 |
| HAT | 170,30 |
| MHHWS | 115,87 |
| MHHWN | 168,20 |
| MELWN | 71,18 |
| MELWS | 55,44 |
| HAT-MSL | 80,61 |
| MHHWN-MSL | 18,51 |
| MELWN-MSL | -18,51 |
| AG-LWS-MSL | -33,85 |
| MHHWS-MSL | 26,18 |
| LAT-MSL | -80,61 |



→ Konstanta pengali dalam menyusun skema 2

| | Jam Pengamatan | | | | | | | | | | | | | | | | | | | | | | | |
|-------|----------------|----|----|----|----|----|----|----|----|----|----|----|----|----|----|----|----|----|----|----|----|----|----|----|
| | 00 | 01 | 02 | 03 | 04 | 05 | 06 | 07 | 08 | 09 | 10 | 11 | 12 | 13 | 14 | 15 | 16 | 17 | 18 | 19 | 20 | 21 | 22 | 23 |
| X_1 | -1 | -1 | -1 | -1 | -1 | -1 | 1 | 1 | 1 | 1 | 1 | 1 | 1 | 1 | 1 | 1 | 1 | 1 | 1 | 1 | 1 | 1 | 1 | 1 |
| Y_1 | -1 | -1 | -1 | -1 | -1 | -1 | -1 | -1 | -1 | -1 | -1 | -1 | -1 | -1 | -1 | -1 | -1 | -1 | -1 | -1 | -1 | -1 | -1 | -1 |
| X_2 | 1 | 1 | 1 | 1 | 1 | 1 | 1 | 1 | 1 | 1 | 1 | 1 | 1 | 1 | 1 | 1 | 1 | 1 | 1 | 1 | 1 | 1 | 1 | 1 |
| Y_2 | 1 | 1 | 1 | 1 | 1 | 1 | 1 | 1 | 1 | 1 | 1 | 1 | 1 | 1 | 1 | 1 | 1 | 1 | 1 | 1 | 1 | 1 | 1 | 1 |
| X_3 | 1 | 0 | -1 | -1 | 0 | 1 | 1 | 0 | -1 | 1 | 0 | 1 | 1 | 0 | -1 | 0 | 1 | 0 | -1 | 0 | -1 | 1 | 0 | 1 |
| Y_3 | 1 | 1 | 1 | -1 | -1 | -1 | 1 | 1 | -1 | -1 | 1 | -1 | -1 | 1 | -1 | 1 | -1 | 1 | -1 | 1 | -1 | 1 | -1 | 1 |

→ Konstanta pengali untuk menghitung harga X_1 , X_2 dan Y_1 Skema 4

| Indeks kedis | | 0 | 2 | b | 3 | c | 4 | 13 |
|-----------------------------|---------------------------|---------------------------|----|----|----|----|----|----|
| Pengali untuk B (29 piasan) | | -29 | -1 | 0 | -1 | 0 | -1 | 0 |
| Pengali untuk B (15 piasan) | | -15 | 1 | 0 | -1 | 0 | 1 | 0 |
| Waktu menengah | Konstanta untuk 29 piasan | Konstanta untuk 15 piasan | 1 | 1 | 0 | -1 | 1 | 0 |
| | | | 1 | 1 | -1 | 1 | 1 | -1 |
| | | | 1 | 1 | -1 | 1 | 1 | -1 |
| | | | 1 | 1 | -1 | 1 | 1 | -1 |
| | | | 1 | 1 | -1 | 1 | 1 | -1 |
| | | | 1 | 1 | -1 | 1 | 1 | -1 |
| | | | 1 | 1 | -1 | 1 | 1 | -1 |
| | | 1 | 1 | 0 | -1 | 1 | 0 | |
| | | 1 | 1 | -1 | 1 | -1 | -1 | |
| | | 1 | 1 | -1 | 1 | -1 | -1 | |
| | | 1 | 1 | -1 | 1 | -1 | -1 | |
| | | 1 | 1 | -1 | 1 | -1 | -1 | |
| | | 1 | 1 | -1 | 1 | -1 | -1 | |
| | | 1 | 1 | -1 | 1 | -1 | -1 | |
| 1 | 1 | -1 | 1 | -1 | -1 | | | |
| 1 | 1 | 0 | -1 | 1 | 0 | | | |
| 1 | 1 | -1 | 1 | 1 | -1 | | | |
| 1 | 1 | -1 | 1 | 1 | -1 | | | |
| 1 | 1 | -1 | 1 | 1 | -1 | | | |
| 1 | 1 | -1 | 1 | 1 | -1 | | | |
| 1 | 1 | -1 | 1 | 1 | -1 | | | |
| 1 | 1 | -1 | 1 | 1 | -1 | | | |
| 1 | 1 | -1 | 1 | 1 | -1 | | | |
| 1 | 1 | 0 | -1 | 1 | 0 | | | |

→ Harga pengali untuk 15 piantan (15 hari)

| | | X_1 | X_2 | X_3 | X_4 | X_5 | X_6 | X_7 | X_8 |
|------------------------------|----------------|-------|-------|-------|-------|-------|-------|-------|-------|
| Urut Matriks 5 harga (R/Cov) | X_1 | 1 | | | | | | | |
| | X_2 | 0,01 | 1 | | | | | | |
| | $X_{12} - Y_1$ | -0,02 | 0,09 | 1 | | | | | 0,02 |
| | $X_{13} - Y_2$ | 0,04 | -0,07 | 0,01 | 1 | | | | 0,03 |
| | X_4 | -0,01 | -0,15 | 1 | 0,29 | 1 | | | 0,02 |
| | $X_{12} - Y_3$ | 0,01 | 1 | -0,14 | -0,1 | -0,02 | 1 | | 0,03 |
| | $X_{13} - Y_4$ | -0,02 | -0,05 | 0,29 | 1 | 0,01 | | 1 | -0,05 |
| | $X_5 - Y_5$ | | 0,01 | | 0,01 | | | | 1 |
| | $X_{14} - Y_6$ | | -0,01 | 0,01 | 0,02 | | | | 0,01 |
| Urut Matriks 6 harga (R/Sik) | Y_1 | | | -0,01 | 0,01 | 0,01 | 0,1 | 0,01 | 0,01 |
| | $Y_2 - X_2$ | | 0,05 | 0,01 | -0,05 | -0,12 | 1,05 | -0,01 | 0,01 |
| | $Y_3 - X_3$ | | -0,03 | -0,02 | 0,05 | 0,2 | -0,7 | 1,14 | 0,02 |
| | Y_4 | | | 1 | 0,5 | 0,04 | 0,02 | -0,5 | 0 |
| | $Y_{12} - X_4$ | | 0,4 | -0,15 | -0,04 | 0,02 | -0,1 | 0,04 | 0 |
| | $Y_5 - X_5$ | | 0,2 | 0,05 | 0,03 | -0,03 | 0,09 | -0,07 | 0 |
| | $Y_6 - X_6$ | | 0,02 | | 0,04 | | | 1 | 0,1 |
| $Y_7 - X_7$ | | -0,01 | 0,04 | 0,04 | | | 1 | -0,1 | |
| Sikma 7 | Σ | 300 | 175 | 214 | 246 | 217 | 177 | 173 | 230 |
| Sikma 7 | Konstanta | | 10 | 345 | 327 | 17 | 300 | 307 | 118 |

→ Tabel bantu untuk mencari nilai E , yaitu:

| | | Radians |
|---|-----------|---------|
| s | 18568,782 | 324,086 |
| h | 438,586 | 7,655 |
| p | 5316,407 | 92,789 |
| N | -2108,955 | -36,808 |

→ Menghitung nilai f

| Menghitung f | |
|----------------|-------|
| f_{M2} | 0,977 |
| f_{K2} | 1,204 |
| f_{O1} | 1,128 |
| f_{K1} | 1,080 |
| f_{S2} | 1,000 |
| f_{P1} | 1,000 |
| f_{N2} | 0,977 |
| f_{M4} | 0,954 |
| f_{MS4} | 0,977 |

→ Menghitung nilai v

| Menghitung nilai V | | |
|--------------------|------------|---------|
| konstanta | nilai asli | deg |
| M2 | -36260,392 | 99,608 |
| K1 | 528,586 | 168,586 |
| O1 | -36428,978 | 291,022 |
| K2 | 877,172 | 157,172 |
| S2 | 0,000 | 0,000 |
| P1 | -168,586 | 191,414 |
| M4 | -72520,783 | 199,217 |
| MS4 | -36260,392 | 99,608 |
| N2 | -40512,771 | 167,229 |

→ Menghitung nilai u

| Menghitung nilai u | |
|--------------------|---------|
| u M2 | -1,664 |
| u K2 | -13,149 |
| u K1 | -6,257 |
| u O1 | 7,174 |
| u S2 | 0 |
| u P1 | 0 |
| u M4 | -3,338 |
| u MS4 | -1,664 |
| u N2 | -1,664 |

PENGUKURAN

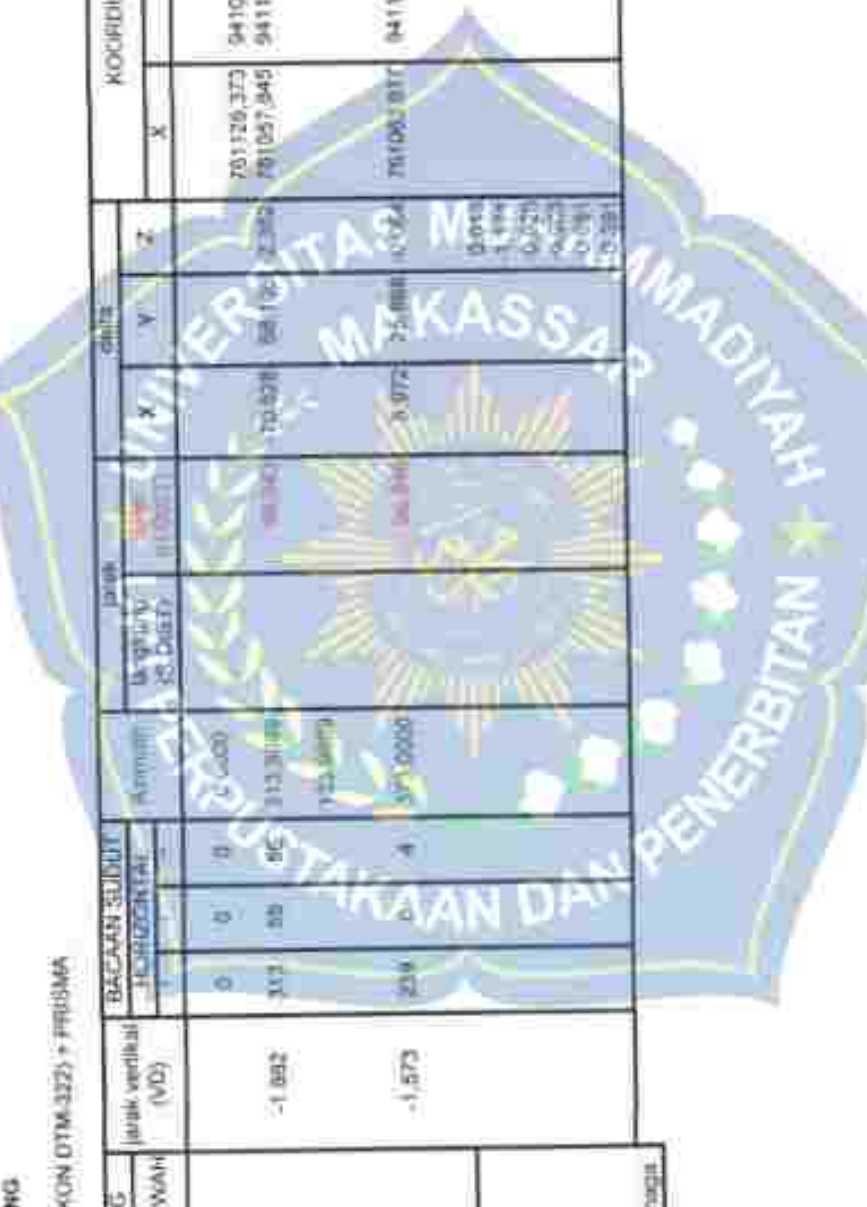
DIUKUR
TANGGAL
NAMA RIJAS
CUACA
ALAT

Aryo Louis
24/07/2022
DERMAGA GALESONG

TOTAL STATION (NIKON DTM-322) + PRISMA

5 (V)
119.572 (N)

| NO STA | TINGGI ALAT | BALOKS BENJING | | jarak vertikal (VD) | BACAAN SURUT | | Ketinggian | jarak | | | KORDINAT | | | KETERANGAN | |
|----------------------------------|---|----------------|----------------|---------------------|--------------|----------|------------|-------|---|---|----------|---|---|------------|-----------------------------|
| | | ATAS | TERGAS (BAWAH) | | Horisontal | vertikal | | X | Y | Z | X | Y | Z | | |
| 24-Jul-22 BM 01 HUBILA 270 | Utara PB | | 1450 | -1.882 | 0 | 0 | 0 | 0 | 0 | 0 | 0 | 0 | 0 | 0 | Utara BM 01 HUBILA PB |
| PATOK BANTU 1509 | MISTAR 1,1M | | 0 | -1.573 | 0 | 4 | 0 | 0 | 0 | 0 | 0 | 0 | 0 | 0 | MISTAR 1,1M |
| | ZO MHHWS MHHWN MSL MLLWN MLLWS | | | | | | | | | | | | | | |



• Lampiran 4

DATA KONTUR PERAIRAN PANTAI PA'LALAKKANG

| No | M | Contour | Shape | Length | No | M | Contour | Shape | Length | No | M | Contour | Shape | Length |
|----|-----|---------|-------|-----------|-----|-----|---------|-------|-----------|-----|-----|---------|-------|-----------|
| 1 | 55 | -2 | | 16775,012 | 53 | 107 | -24 | | 21712,040 | 109 | 159 | -32 | | 31611,296 |
| 2 | 56 | -4 | | 18631,284 | 54 | 108 | -26 | | 1255,543 | 106 | 160 | -34 | | 66,085 |
| 3 | 57 | -6 | | 18262,847 | 55 | 109 | -26 | | 1124,748 | 107 | 161 | -34 | | 572,886 |
| 4 | 58 | -8 | | 1874,235 | 56 | 110 | -26 | | 1545,125 | 108 | 162 | -34 | | 789,277 |
| 5 | 59 | -8 | | 18045,930 | 57 | 111 | -26 | | 1626,485 | 109 | 163 | -34 | | 1014,315 |
| 6 | 60 | -10 | | 72,709 | 58 | 112 | -26 | | 2182,259 | 110 | 164 | -34 | | 1095,117 |
| 7 | 61 | -10 | | 2979,170 | 59 | 113 | -26 | | 3470,244 | 111 | 165 | -34 | | 1505,807 |
| 8 | 62 | -10 | | 17757,891 | 60 | 114 | -26 | | 3641,242 | 112 | 166 | -34 | | 1171,981 |
| 9 | 63 | -12 | | 2106,242 | 61 | 115 | -28 | | 3423,926 | 113 | 167 | -34 | | 1341,091 |
| 10 | 64 | -12 | | 3918,086 | 62 | 116 | -26 | | 5257,837 | 114 | 168 | -34 | | 2388,893 |
| 11 | 65 | -12 | | 17191,630 | 63 | 117 | -26 | | 3477,452 | 115 | 169 | -34 | | 3598,787 |
| 12 | 66 | -14 | | 3276,995 | 64 | 118 | -28 | | 5022,726 | 116 | 170 | -34 | | 3944,805 |
| 13 | 67 | -14 | | 2980,618 | 65 | 119 | -28 | | 7194,507 | 117 | 171 | -34 | | 4066,061 |
| 14 | 68 | -14 | | 4666,756 | 66 | 120 | -28 | | 8008,374 | 118 | 172 | -34 | | 6195,873 |
| 15 | 69 | -14 | | 17036,954 | 67 | 121 | -26 | | 17663,879 | 119 | 173 | -34 | | 49637,048 |
| 16 | 70 | -16 | | 4563,219 | 68 | 122 | -26 | | 27185,290 | 120 | 174 | -34 | | 73595,019 |
| 17 | 71 | -16 | | 5145,462 | 69 | 123 | -24 | | 896,383 | 121 | 175 | -34 | | 43197,483 |
| 18 | 72 | -16 | | 5255,362 | 70 | 124 | -28 | | 1489,764 | 122 | 176 | -36 | | 822,641 |
| 19 | 73 | -16 | | 15722,805 | 71 | 125 | -28 | | 2271,568 | 123 | 177 | -36 | | 4592,301 |
| 20 | 74 | -18 | | 2142,665 | 72 | 126 | -28 | | 4172,237 | 124 | 178 | -36 | | 5247,661 |
| 21 | 75 | -18 | | 5270,978 | 73 | 127 | -28 | | 8455,894 | 125 | 179 | -36 | | 11112,333 |
| 22 | 76 | -18 | | 5549,323 | 74 | 128 | -28 | | 6072,168 | 126 | 180 | -36 | | 13912,375 |
| 23 | 77 | -18 | | 6172,532 | 75 | 129 | -28 | | 7708,276 | 127 | 181 | -36 | | 16361,813 |
| 24 | 78 | -18 | | 16679,528 | 76 | 130 | -28 | | 1030,533 | 128 | 182 | -36 | | 19047,469 |
| 25 | 79 | -20 | | 637,716 | 77 | 131 | -28 | | 9675,255 | 129 | 183 | -36 | | 27666,982 |
| 26 | 80 | -20 | | 2419,304 | 78 | 132 | -28 | | 19425,491 | 130 | 184 | -38 | | 352,598 |
| 27 | 81 | -20 | | 5935,695 | 79 | 133 | -24 | | 29418,928 | 131 | 185 | -38 | | 824,293 |
| 28 | 82 | -20 | | 6131,919 | 80 | 134 | -30 | | 205,484 | 132 | 186 | -38 | | 806,782 |
| 29 | 83 | -20 | | 6455,273 | 81 | 135 | -30 | | 680,365 | 133 | 187 | -38 | | 1388,993 |
| 30 | 84 | -20 | | 24055,591 | 82 | 136 | -30 | | 1002,746 | 134 | 188 | -38 | | 2074,504 |
| 31 | 85 | -22 | | 126,830 | 83 | 137 | -30 | | 1503,469 | 135 | 189 | -38 | | 4827,133 |
| 32 | 86 | -22 | | 691,545 | 84 | 138 | -30 | | 971,283 | 136 | 190 | -38 | | 4969,376 |
| 33 | 87 | -22 | | 2795,485 | 85 | 139 | -30 | | 2140,608 | 137 | 191 | -38 | | 5995,487 |
| 34 | 88 | -22 | | 2813,182 | 86 | 140 | -30 | | 2203,326 | 138 | 192 | -38 | | 9271,449 |
| 35 | 89 | -22 | | 3697,029 | 87 | 141 | -30 | | 4789,508 | 139 | 193 | -38 | | 29042,242 |
| 36 | 90 | -22 | | 6356,820 | 88 | 142 | -30 | | 4558,039 | 140 | 194 | -40 | | 1143,810 |
| 37 | 91 | -22 | | 6929,055 | 89 | 143 | -30 | | 8219,067 | 141 | 195 | -40 | | 1824,410 |
| 38 | 92 | -22 | | 7217,636 | 90 | 144 | -30 | | 17829,661 | 142 | 196 | -40 | | 7154,811 |
| 39 | 93 | -22 | | 28655,891 | 91 | 145 | -30 | | 28974,636 | 143 | 197 | -40 | | 31994,899 |
| 40 | 94 | -24 | | 379,665 | 92 | 146 | -30 | | 32938,365 | 144 | 198 | -42 | | 2278,102 |
| 41 | 95 | -24 | | 493,477 | 93 | 147 | -32 | | 55,709 | 145 | 199 | -42 | | 6157,695 |
| 42 | 96 | -24 | | 745,392 | 94 | 148 | -32 | | 75,789 | 146 | 200 | -42 | | 28034,564 |
| 43 | 97 | -24 | | 966,177 | 95 | 149 | -32 | | 485,674 | 147 | 201 | -44 | | 1794,785 |
| 44 | 98 | -24 | | 1155,121 | 96 | 150 | -32 | | 1080,287 | 148 | 202 | -44 | | 7449,922 |
| 45 | 99 | -24 | | 1649,090 | 97 | 151 | -32 | | 3087,399 | 149 | 203 | -44 | | 9116,789 |
| 46 | 100 | -24 | | 1571,721 | 98 | 152 | -32 | | 2762,478 | 150 | 204 | -46 | | 5114,420 |
| 47 | 101 | -24 | | 3203,314 | 99 | 153 | -32 | | 3464,315 | 151 | 205 | -46 | | 5418,122 |
| 48 | 102 | -24 | | 4515,673 | 100 | 154 | -32 | | 4498,534 | 152 | 206 | -48 | | 857,869 |
| 49 | 103 | -24 | | 5144,072 | 101 | 155 | -32 | | 5148,472 | 153 | 207 | -48 | | 2950,628 |
| 50 | 104 | -24 | | 6745,171 | 102 | 156 | -32 | | 16413,858 | 154 | 208 | -50 | | 2806,365 |
| 51 | 105 | -24 | | 7645,247 | 103 | 157 | -32 | | 23146,812 | 155 | 209 | -52 | | 1657,112 |
| 52 | 106 | -24 | | 8595,543 | 104 | 158 | -32 | | 30232,117 | | | | | |

KABUPATEN TAKALAR



Skala 1 : 25.000



Legend

- palalakkang
- galesong
- Kontur

Sumber :

- Bathimetri Nasional
- Badan Informasi Geospasial

